

[Figures 3]

Objekttyp: **Appendix**

Zeitschrift: **Bericht der Eidgenössischen Kommission zur Überwachung der Radioaktivität**

Band (Jahr): **30 (1987-1988)**

Heft 2: **Figures & tableaux**

PDF erstellt am: **25.06.2024**

Nutzungsbedingungen

Die ETH-Bibliothek ist Anbieterin der digitalisierten Zeitschriften. Sie besitzt keine Urheberrechte an den Inhalten der Zeitschriften. Die Rechte liegen in der Regel bei den Herausgebern.

Die auf der Plattform e-periodica veröffentlichten Dokumente stehen für nicht-kommerzielle Zwecke in Lehre und Forschung sowie für die private Nutzung frei zur Verfügung. Einzelne Dateien oder Ausdrucke aus diesem Angebot können zusammen mit diesen Nutzungsbedingungen und den korrekten Herkunftsbezeichnungen weitergegeben werden.

Das Veröffentlichen von Bildern in Print- und Online-Publikationen ist nur mit vorheriger Genehmigung der Rechteinhaber erlaubt. Die systematische Speicherung von Teilen des elektronischen Angebots auf anderen Servern bedarf ebenfalls des schriftlichen Einverständnisses der Rechteinhaber.

Haftungsausschluss

Alle Angaben erfolgen ohne Gewähr für Vollständigkeit oder Richtigkeit. Es wird keine Haftung übernommen für Schäden durch die Verwendung von Informationen aus diesem Online-Angebot oder durch das Fehlen von Informationen. Dies gilt auch für Inhalte Dritter, die über dieses Angebot zugänglich sind.

Fig.3.1: Activité de l'air à Fribourg (aérosol)

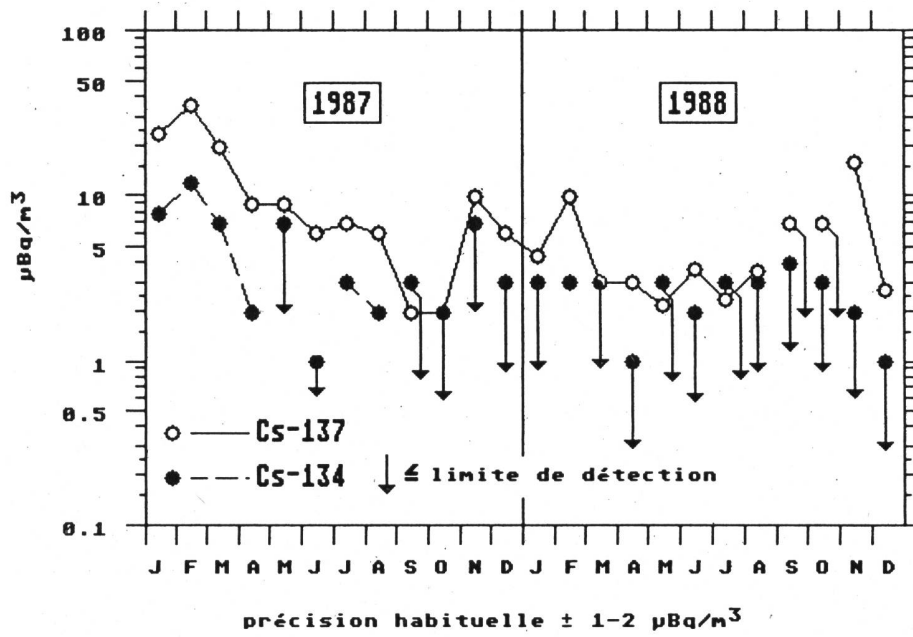


Fig.3.2: Activité de l'air à Gösgen (aérosol)

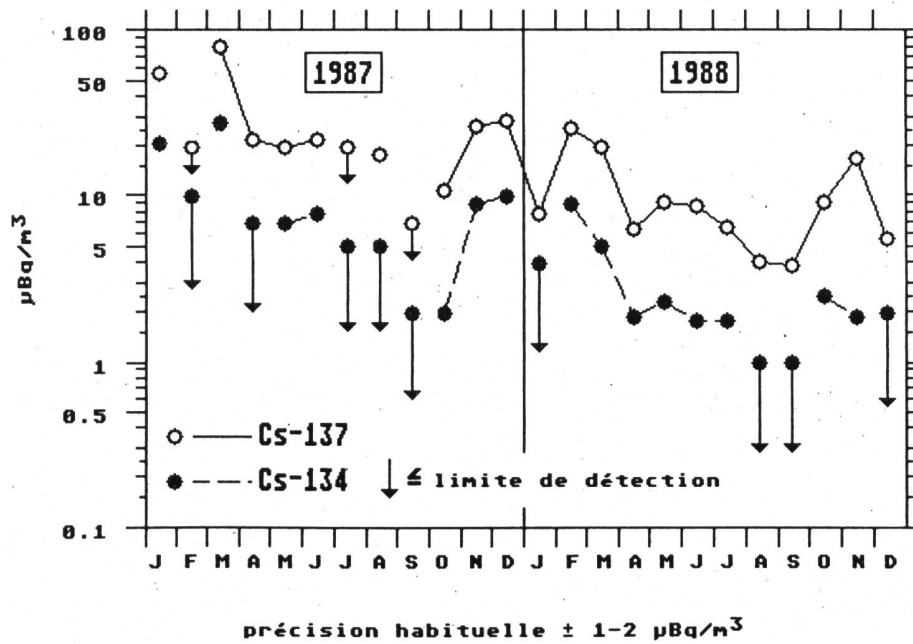
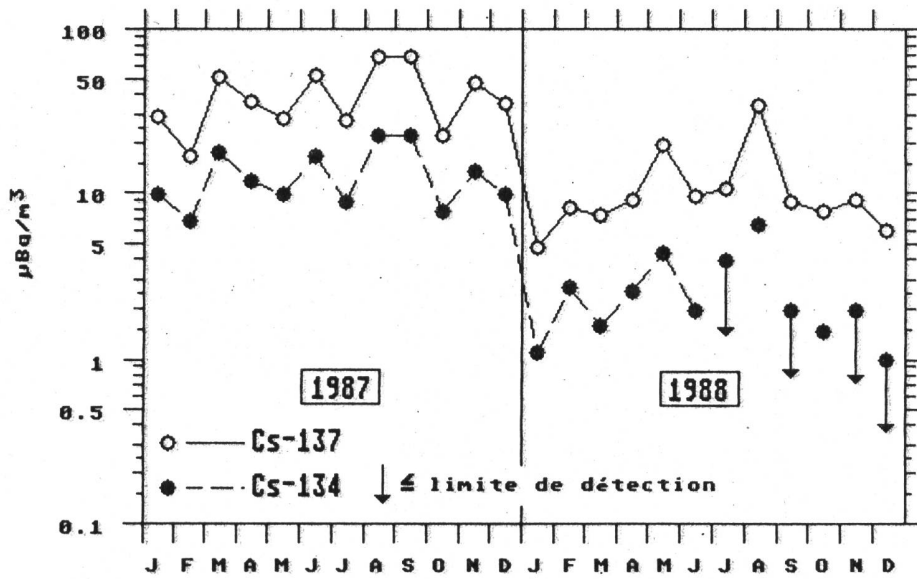
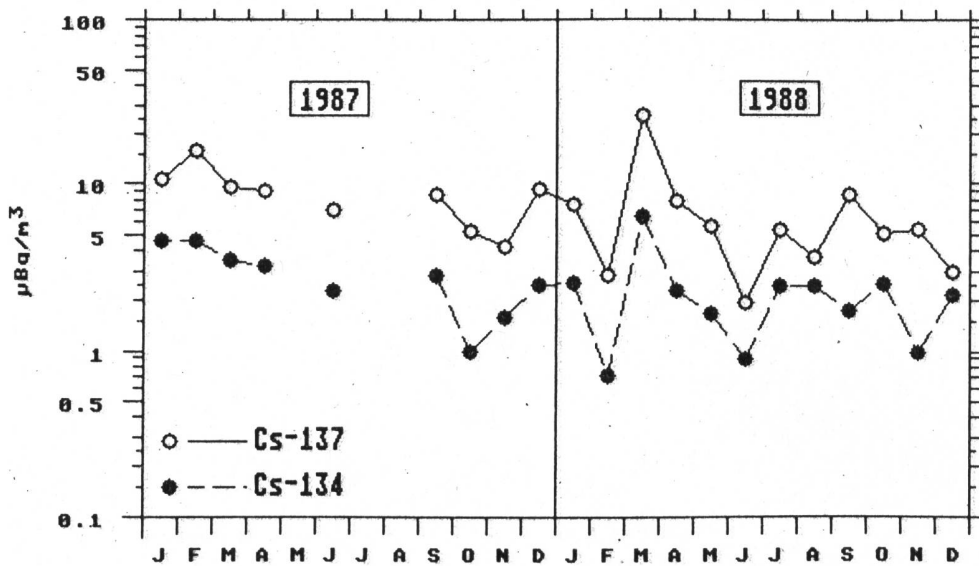


Fig.3.3: Activité de l'air à Leibstadt (aérosol)



précision habituelle ± 1-2 µBq/m³

Fig.3.4: Activité de l'air à Mühleberg (aérosol)



précision habituelle ± 1-2 µBq/m³

Fig. 3.5: Ar-37 dans la troposphère de Berne

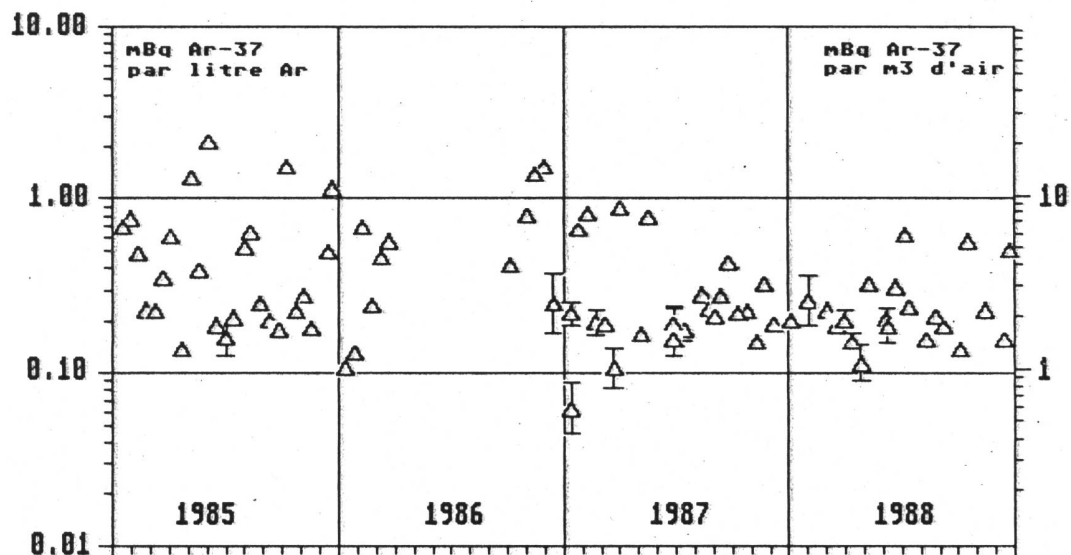
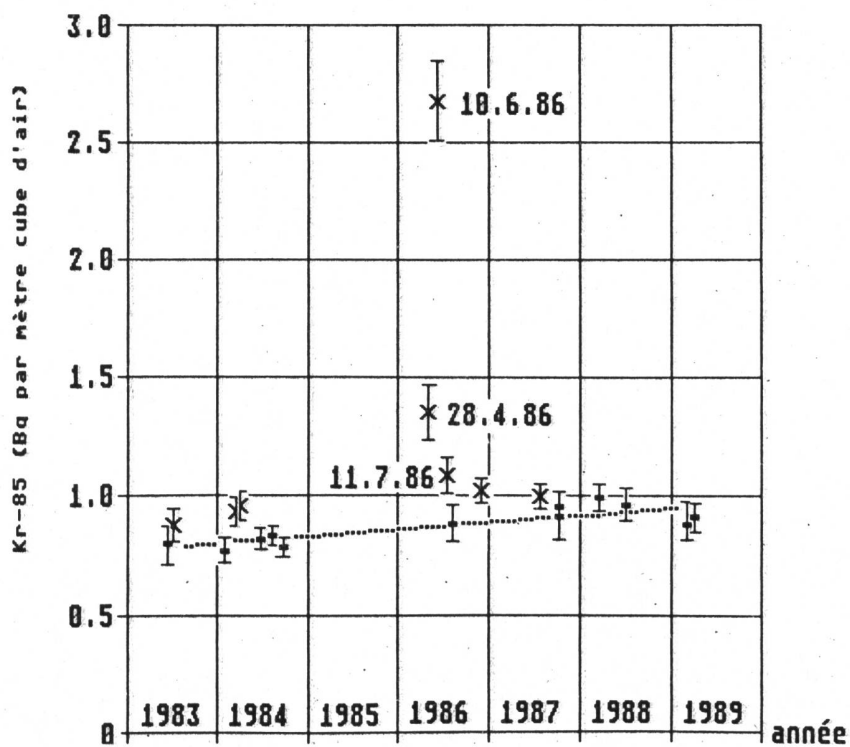


Fig. 3.6: Kr-85 dans les échantillons d'air de Berne



Points utilisés pour la régression linéaire : \times

Fig.3.7: Activité- β -totale dans la pluie en 1987

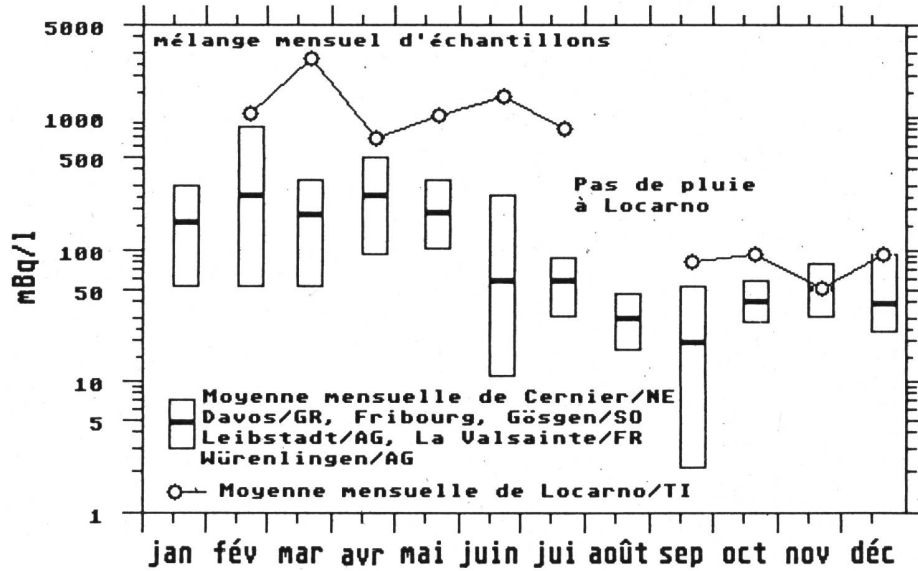


Fig.3.8: Radioactivité dans la pluie en 1988

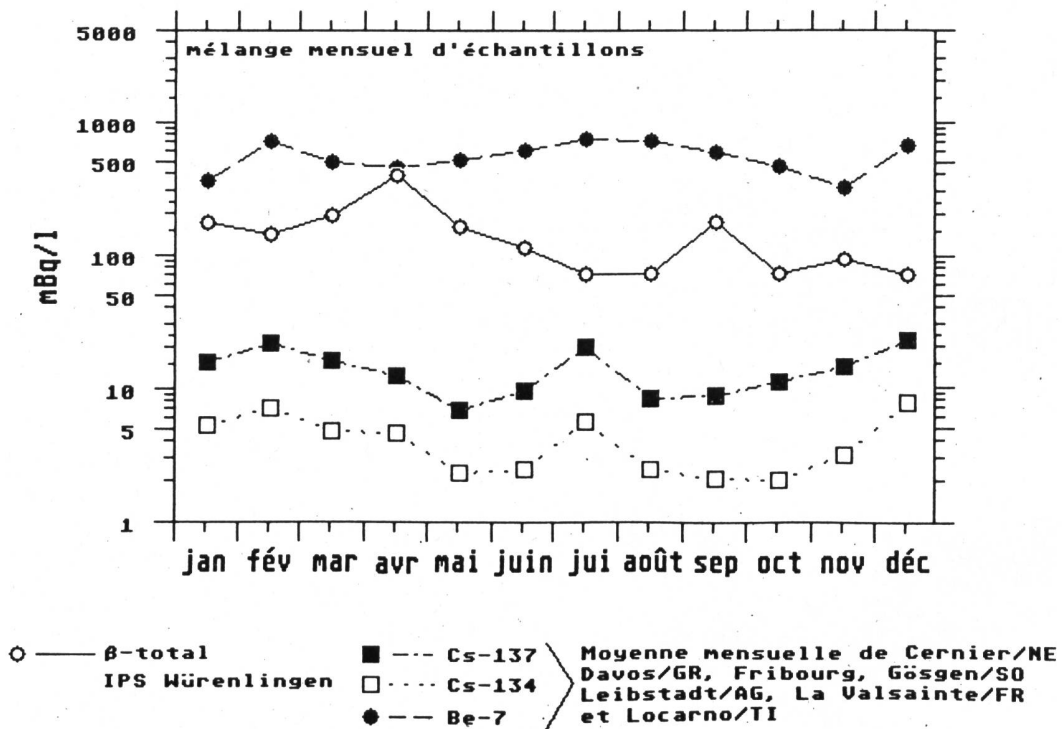


Fig.3.9: Tritium dans les précipitations de Bâle et du Säntis

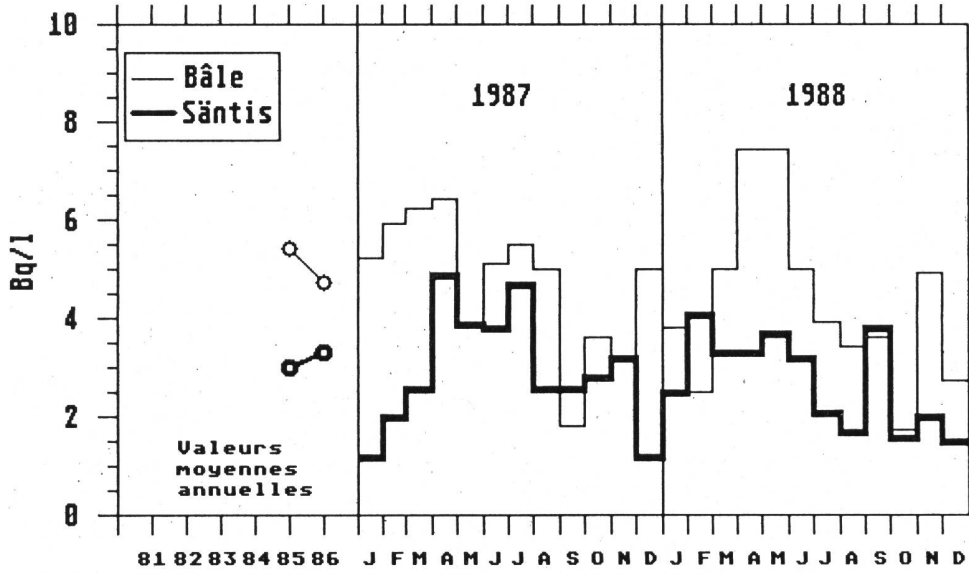


Fig.3.10: Tritium dans les précipitations de Grindelwald / BE et de Guttannen / BE

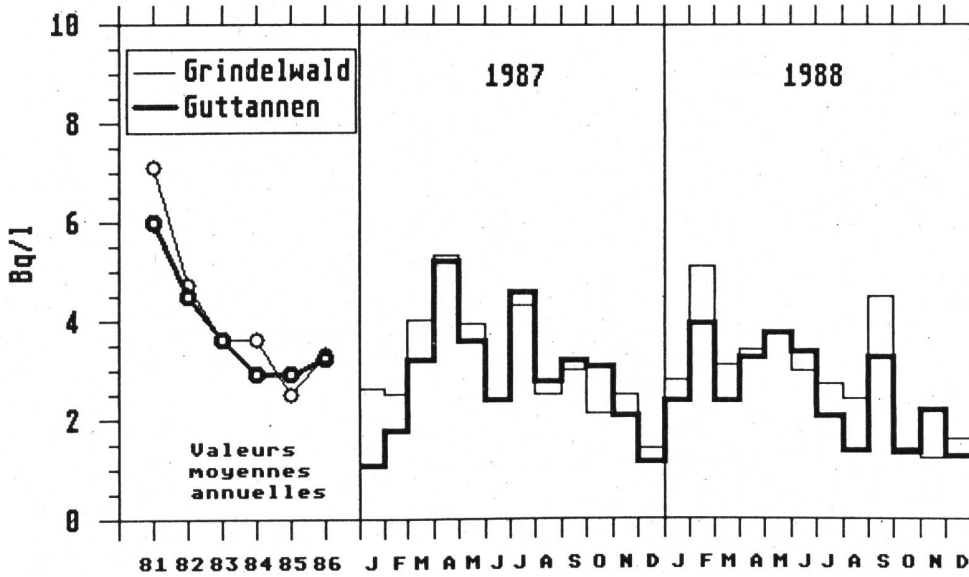


Fig.3.11: Tritium dans les précipitations de Viège / VS et de Locarno / TI

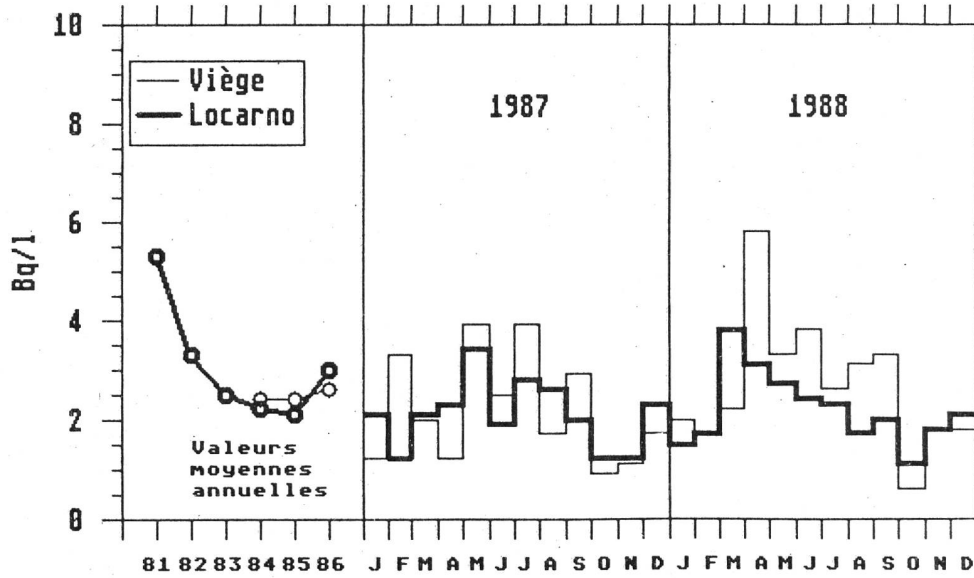


Fig.3.12: Tritium dans les précipitations de Berne

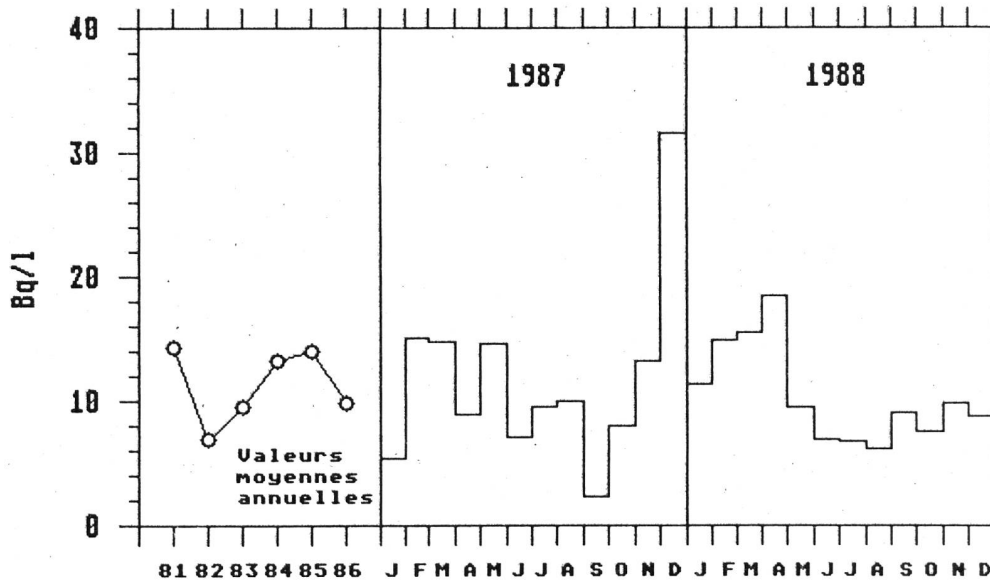


Fig.3.13: Tritium dans les précipitations de Niedergösgen / SO et de Dulliken / SO

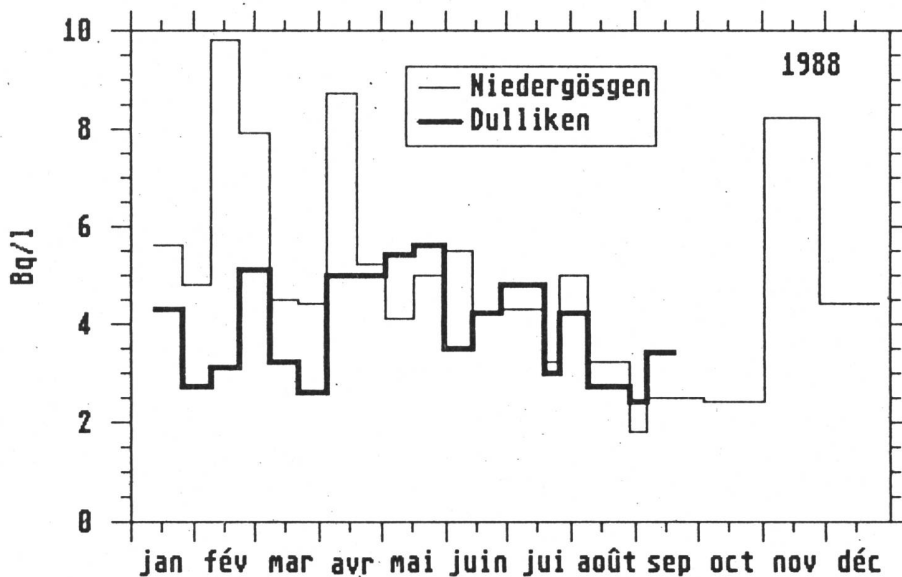
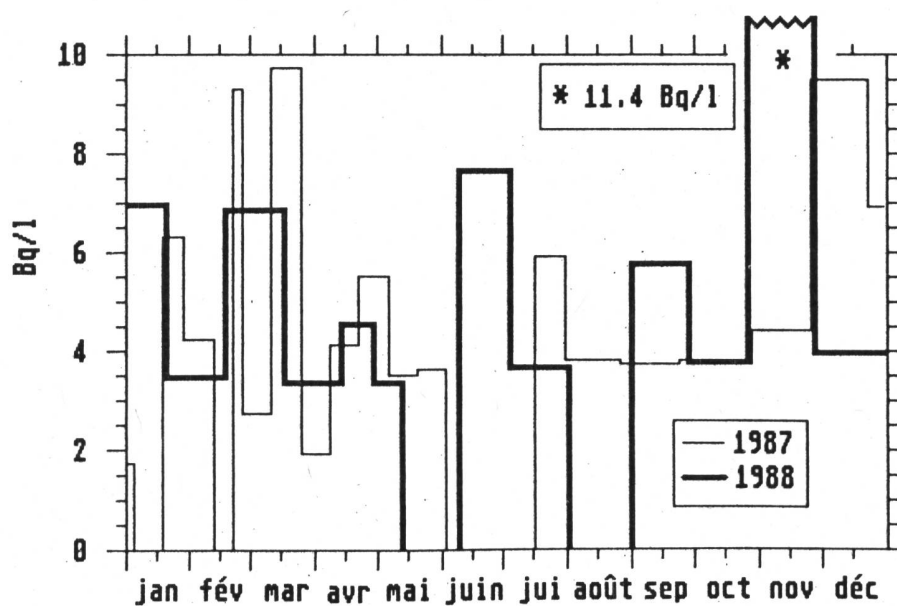


Fig.3.14: Tritium dans les précipitations de la CN Mühleberg (Ufem Horn)



**Fig.3.15: Exposition externe au Tessin
mesurée en mai 1987 (nSv/h)
par la SEPA du canton du Tessin**

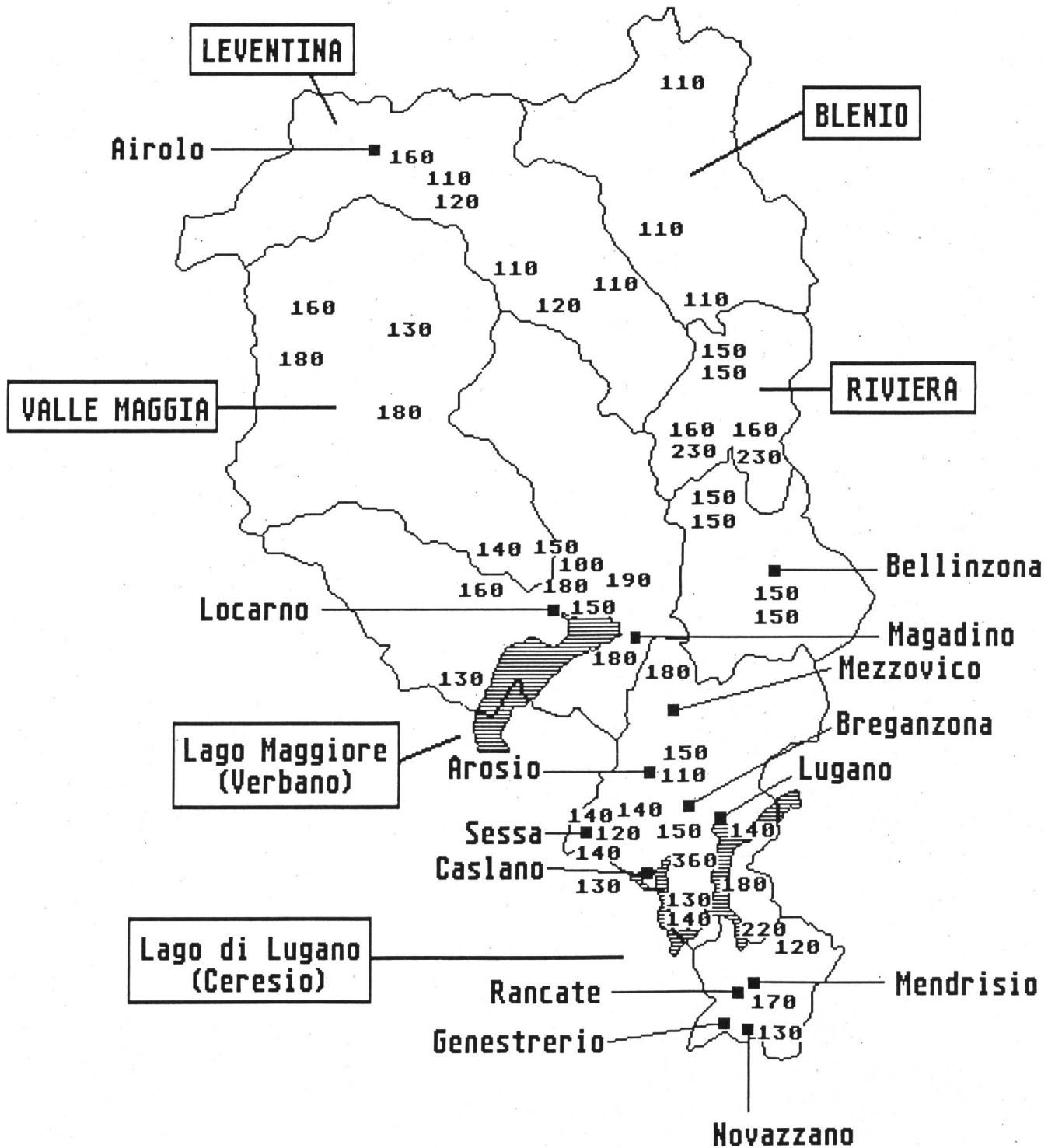


Fig. 3.16.a: Influence des précipitations sur le débit de dose à la station NADAM de NEUCHÂTEL 9.9.1988

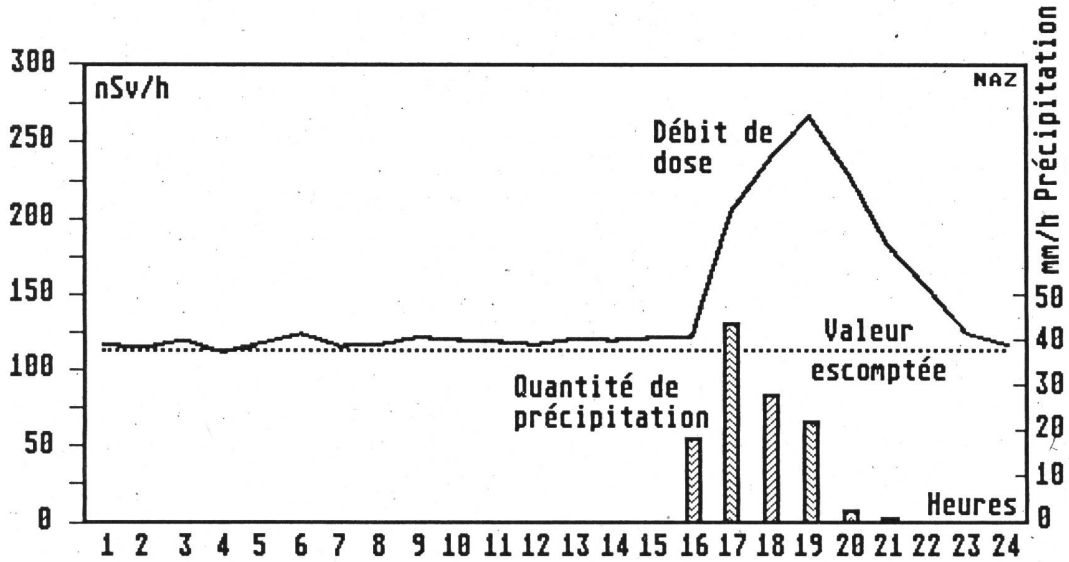


Fig. 3.16.b: Influence des chutes de neige sur le débit de dose à la station NADAM de LA CHAUX-DE-FONDS, 1. trim. 1988

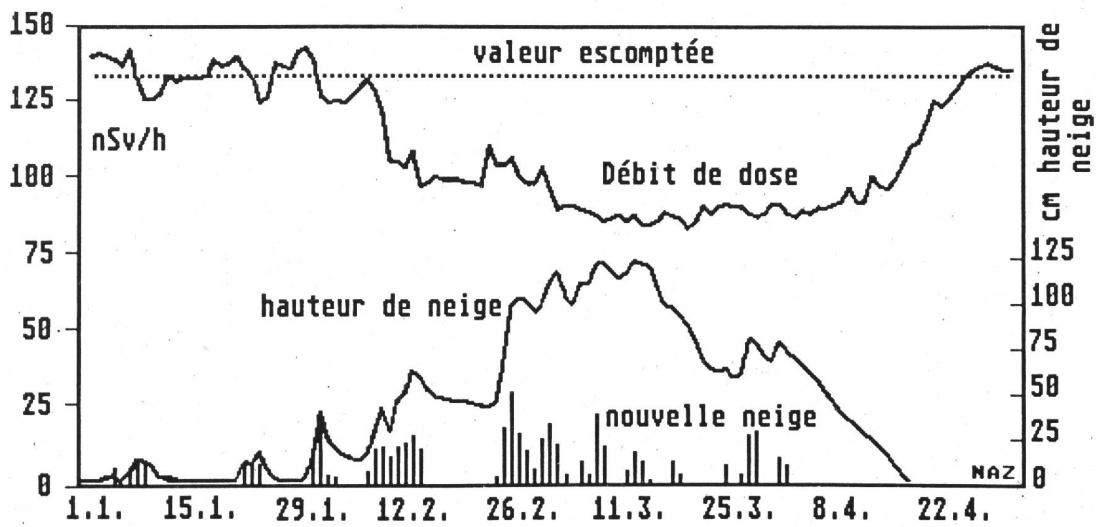


Fig. 3.16.c: Stations NADAM
 moyenne annuelle en 1987 par région

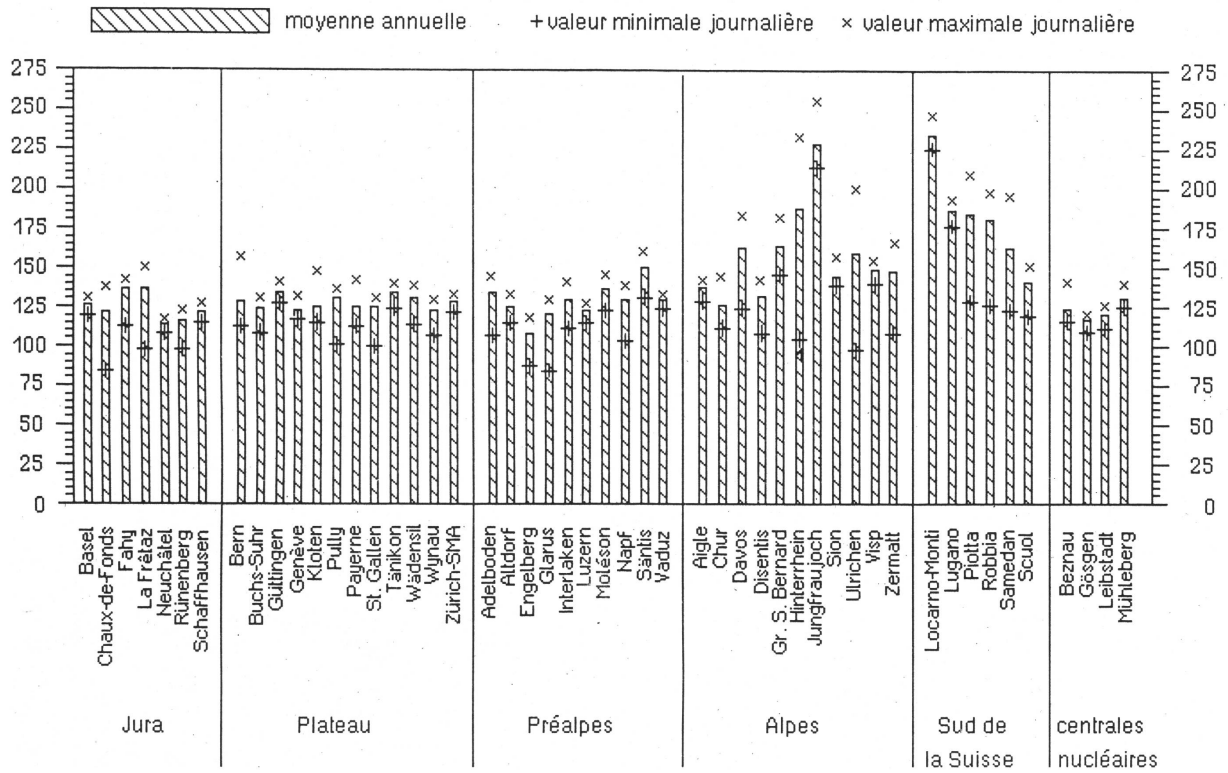


Fig.3.16.d : Moyenne hebdomadaire des stations NADAM en nSv/h 1988

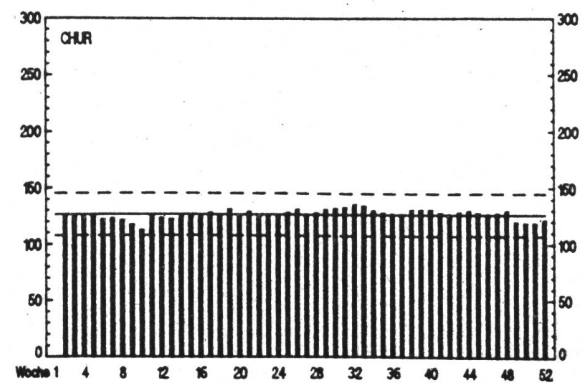
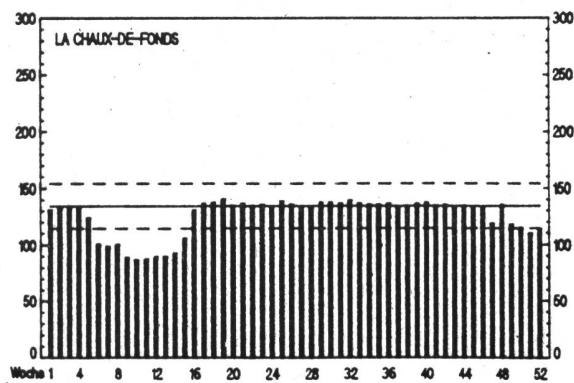
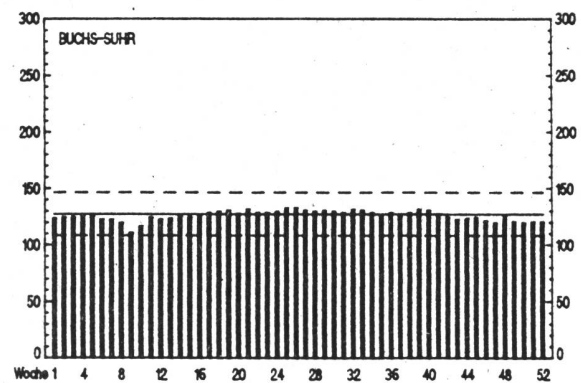
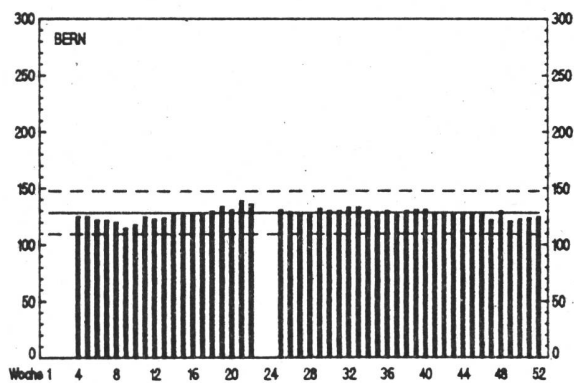
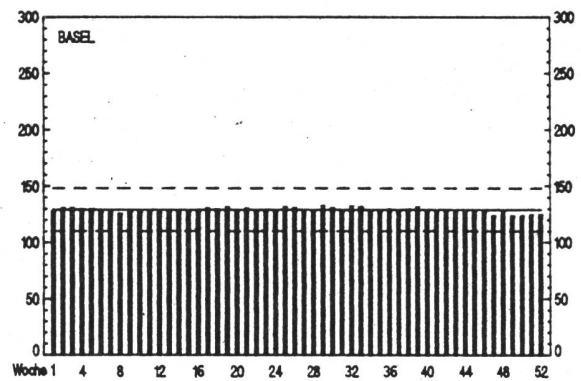
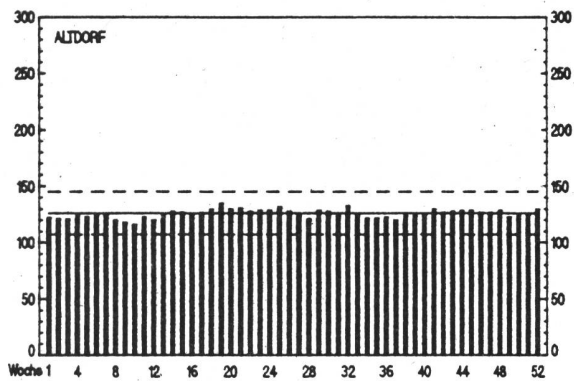
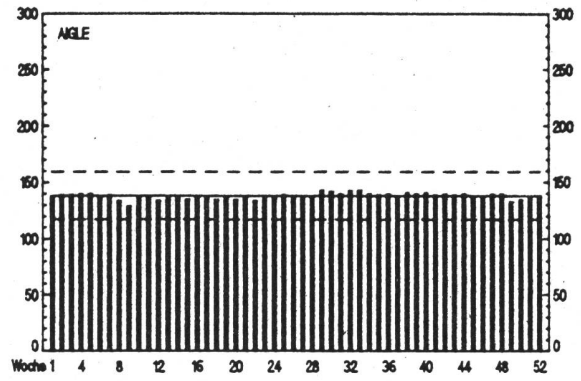
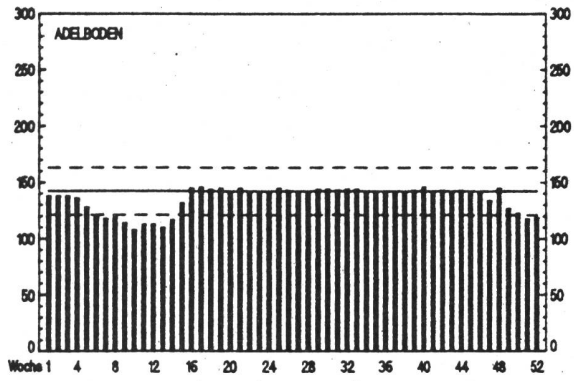


Fig.3.16.e : Moyenne hebdomadaire des stations NADAM en nSv/h 1988

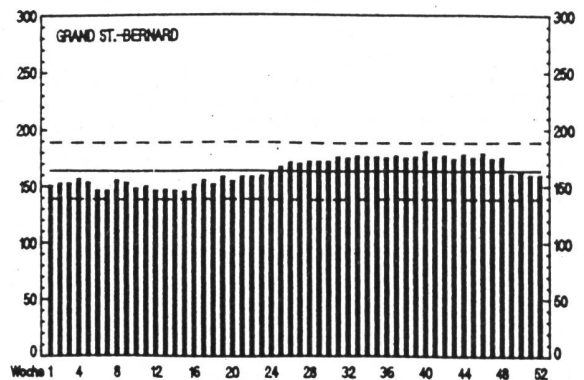
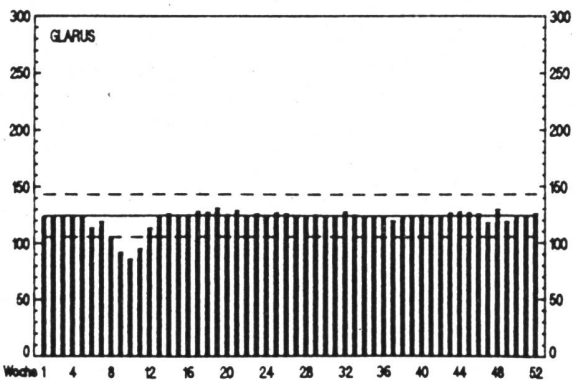
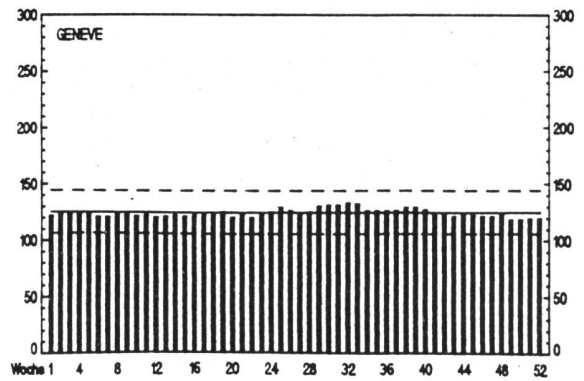
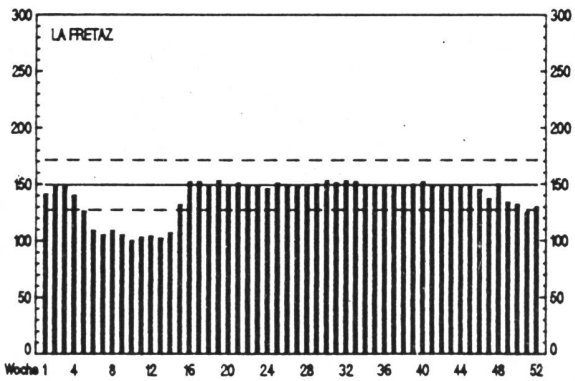
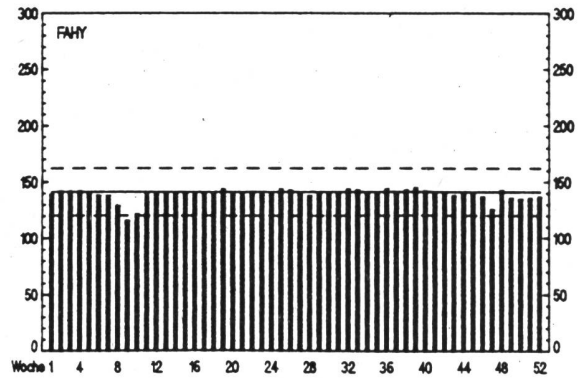
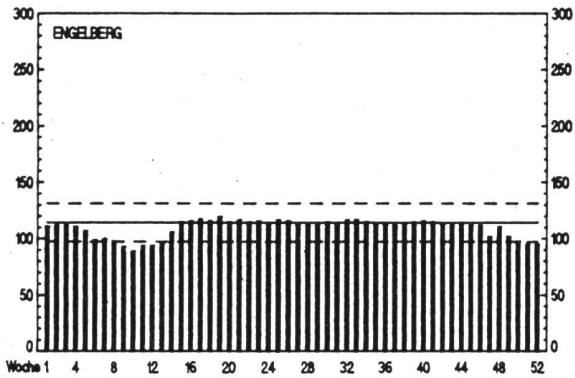
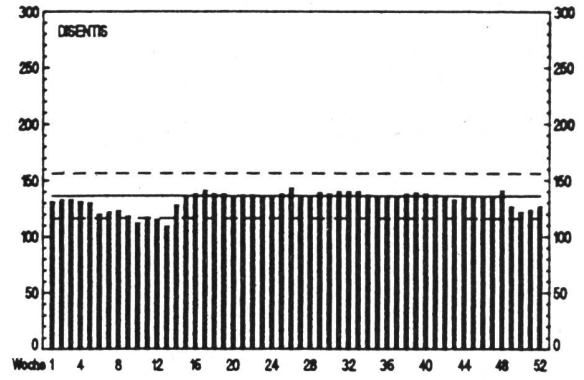
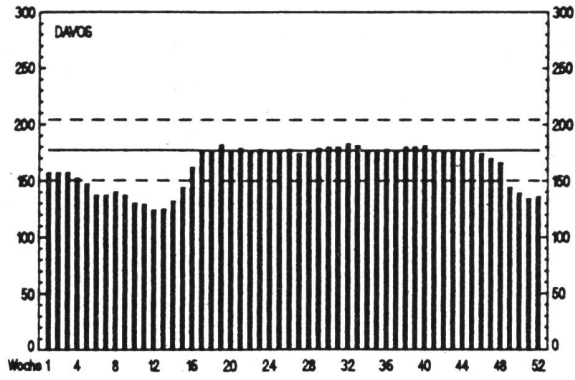


Fig.3.16.f : Moyenne hebdomadaire des stations NADAM en nSv/h 1988

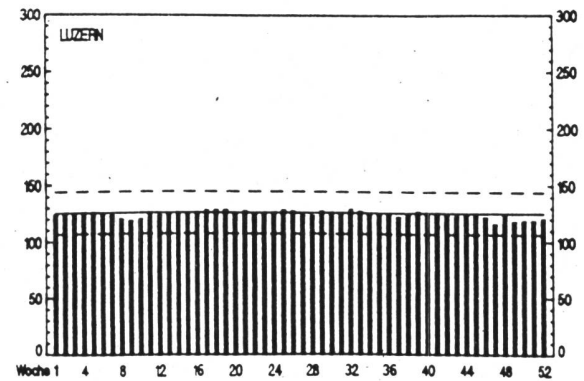
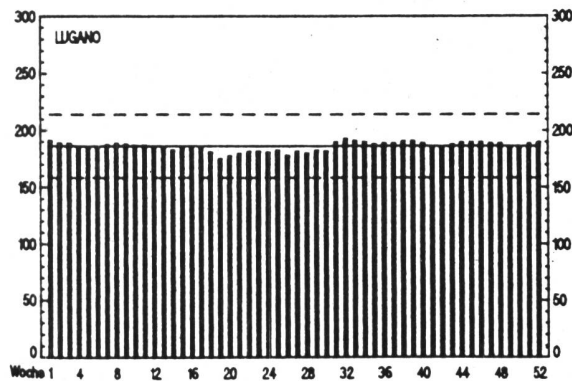
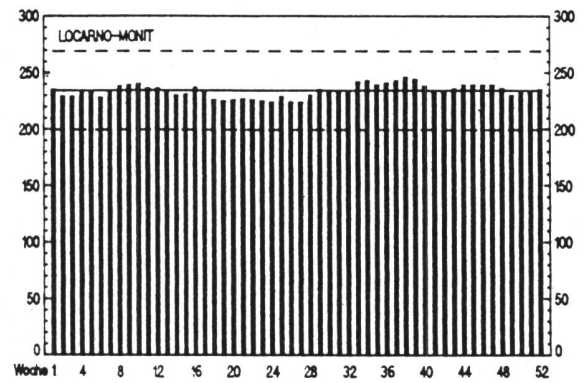
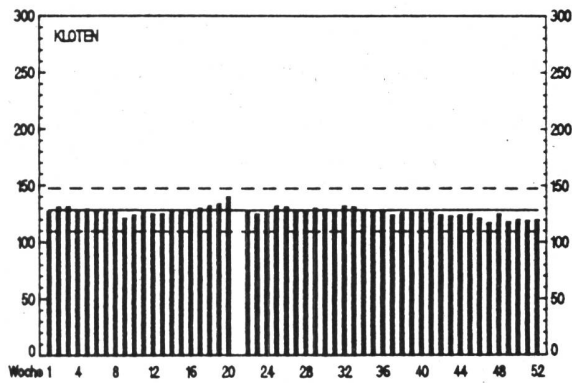
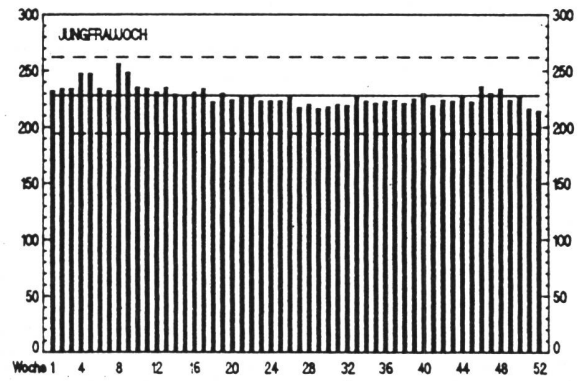
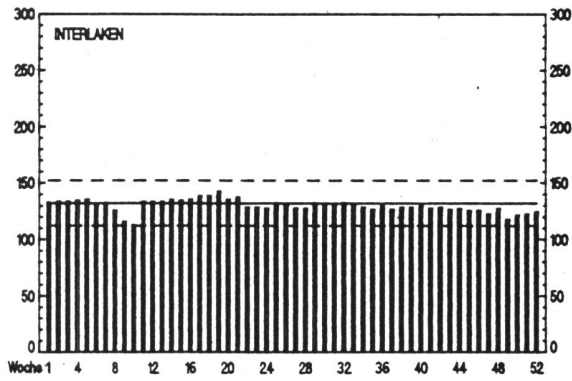
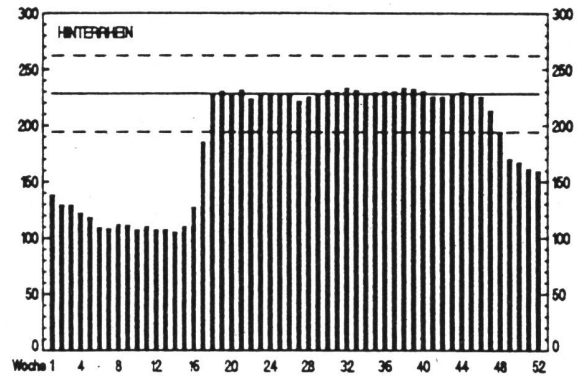
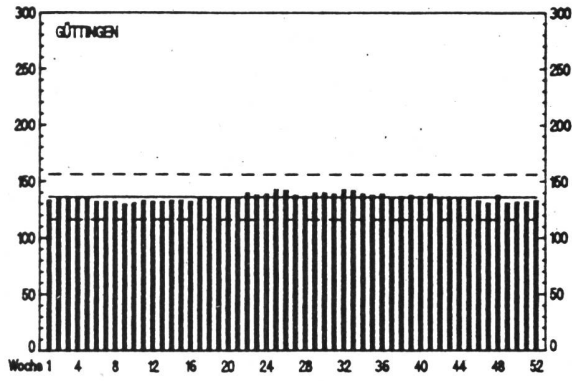


Fig.3.16.g : Moyenne hebdomadaire des stations NADAM en nSv/h 1988

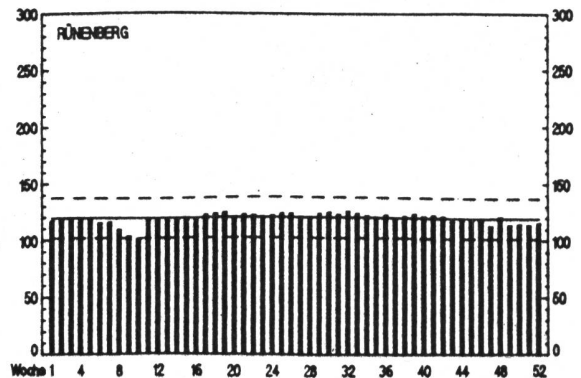
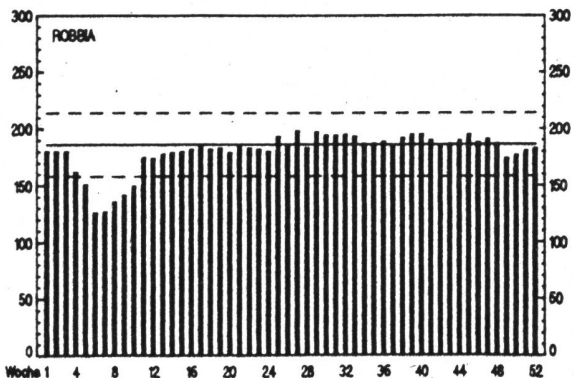
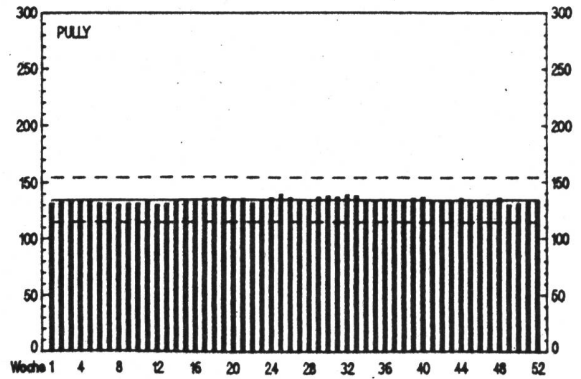
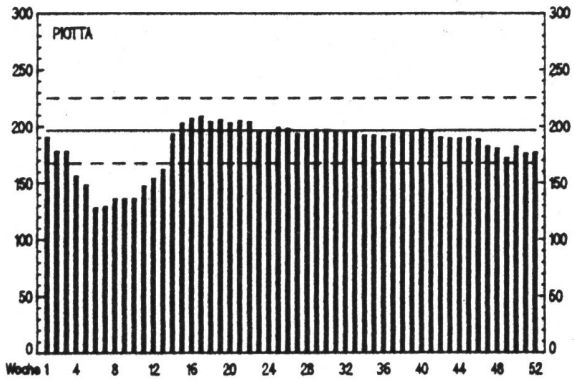
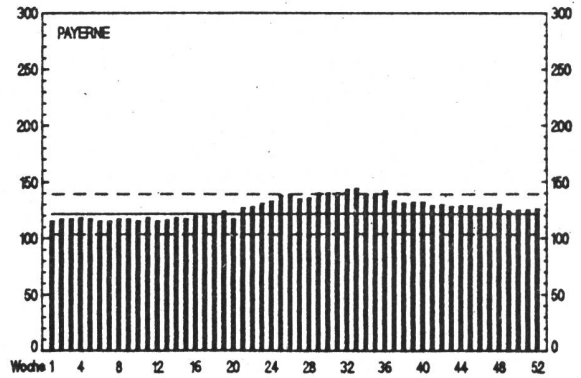
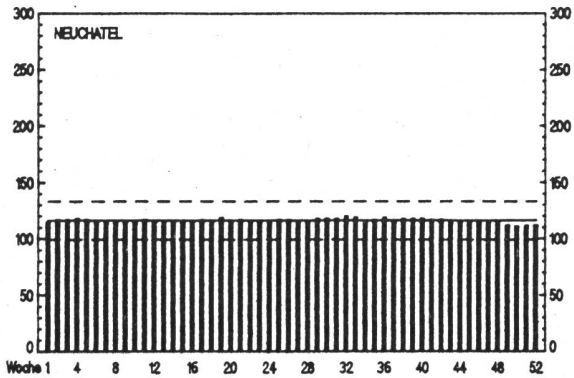
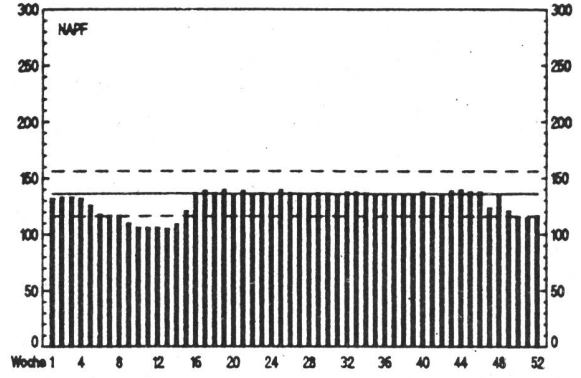
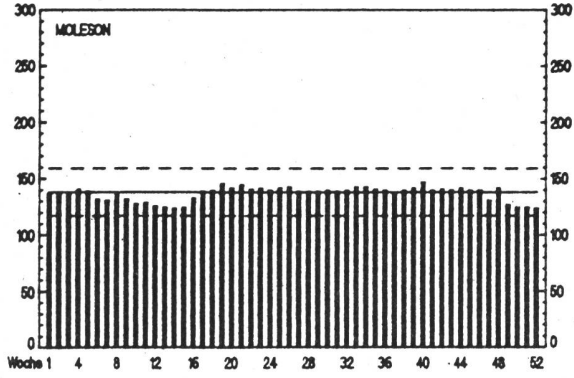


Fig.3.16.h : Moyenne hebdomadaire des stations NADAM en nSv/h 1988

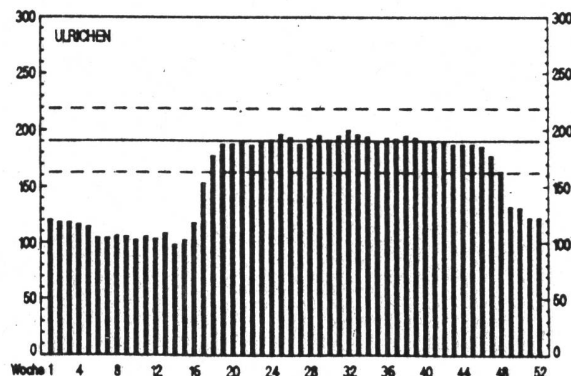
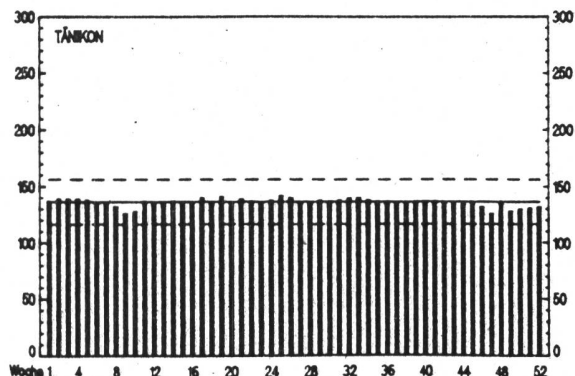
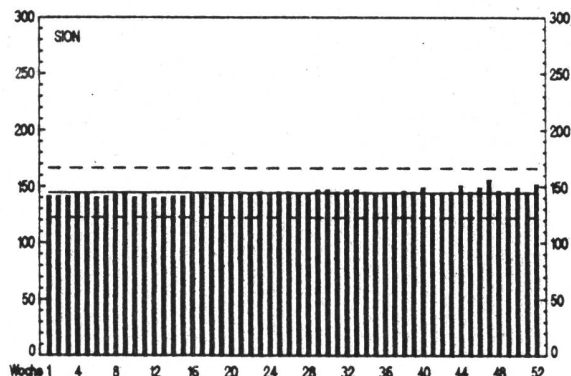
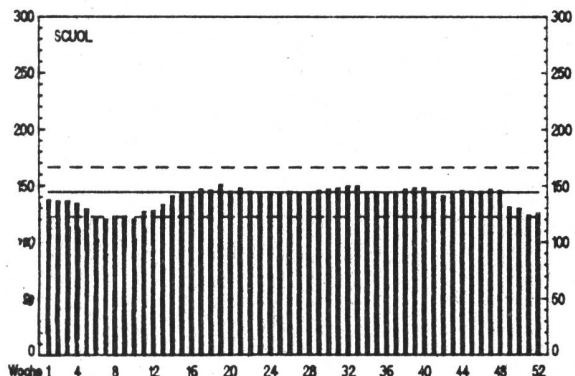
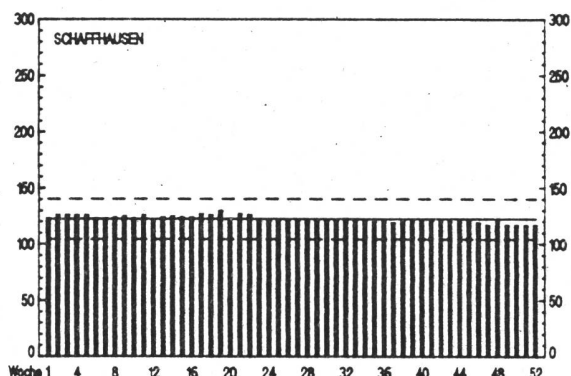
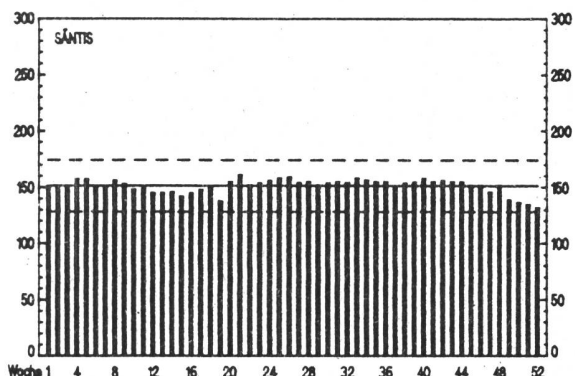
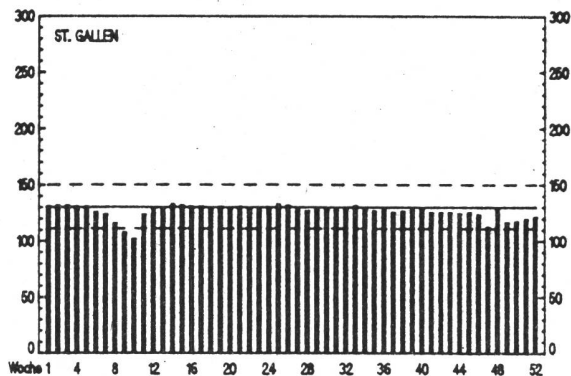
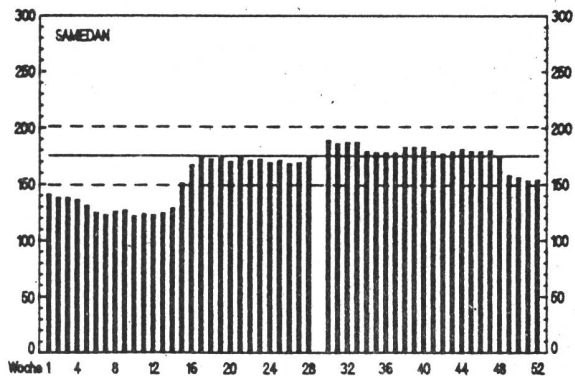


Fig.3.16.i : Moyenne hebdomadaire des stations NADAM en nSv/h 1988

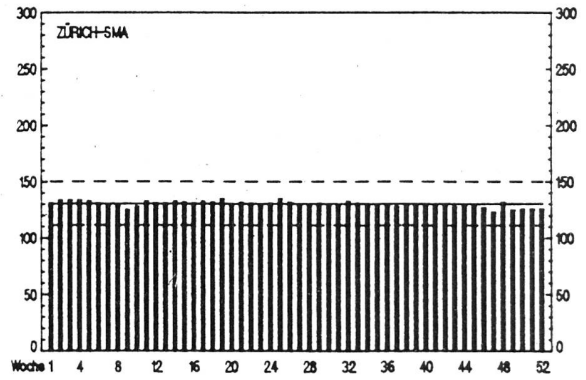
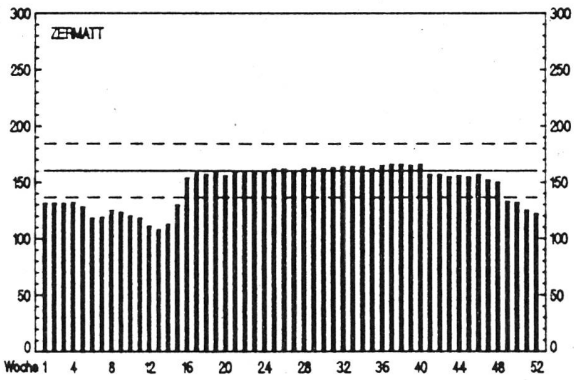
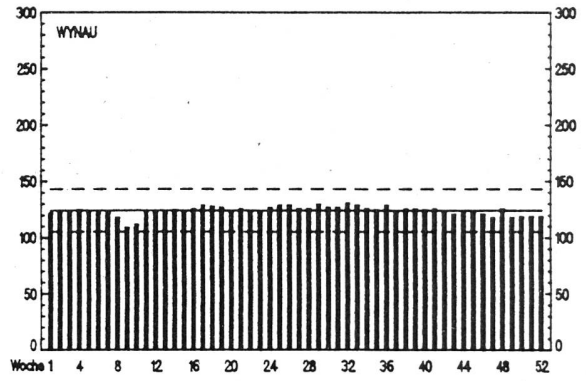
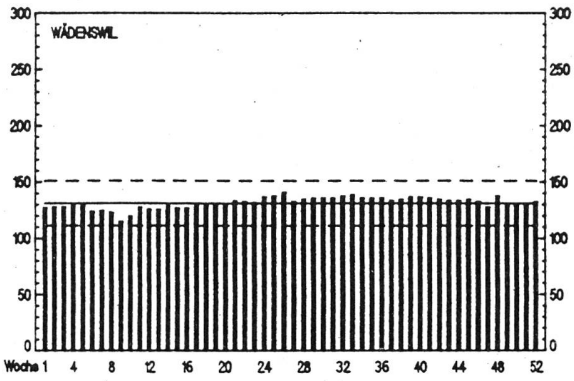
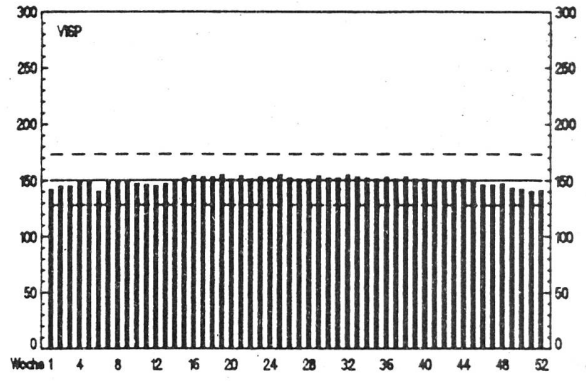
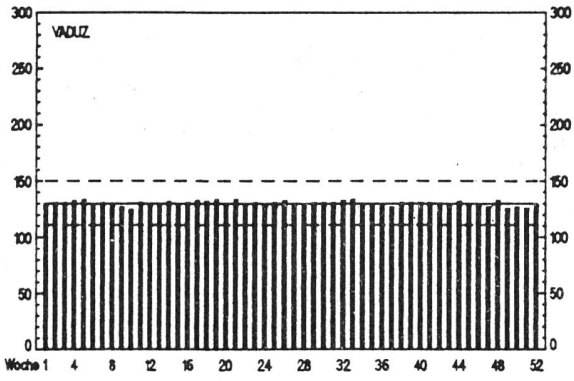


Fig.3.16.k : Moyenne hebdomadaire des stations NADAM en nSv/h 1988

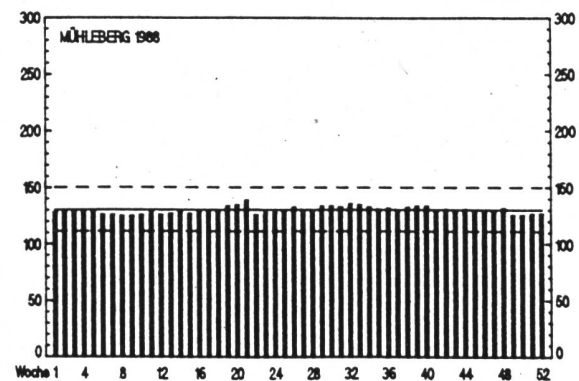
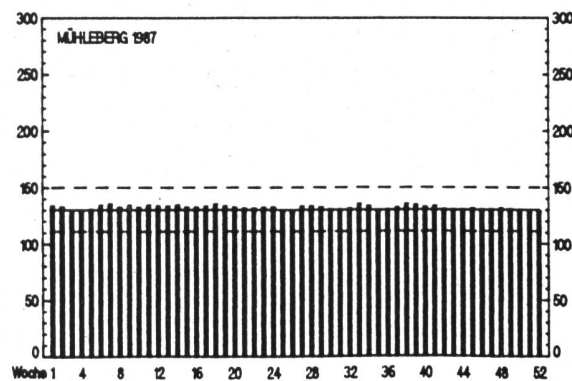
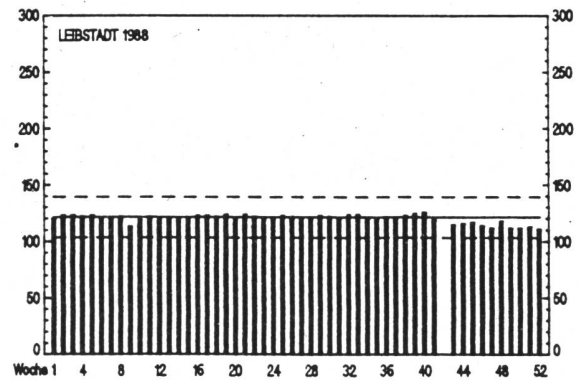
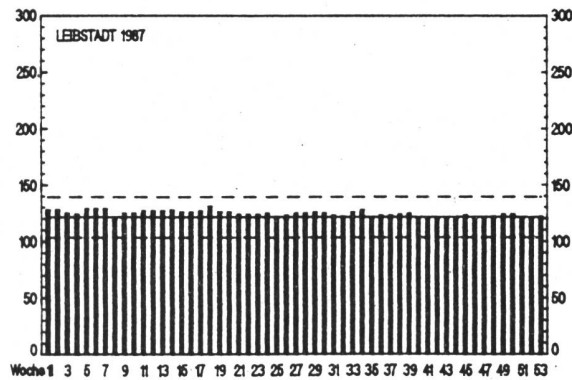
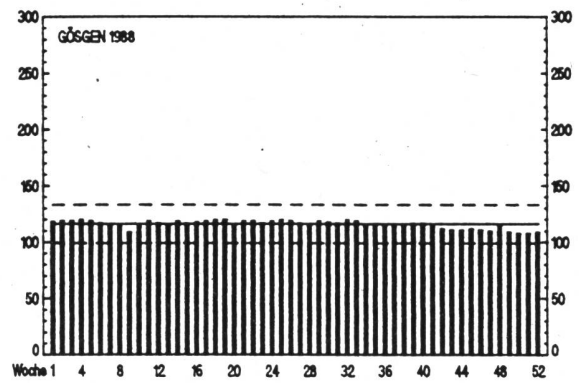
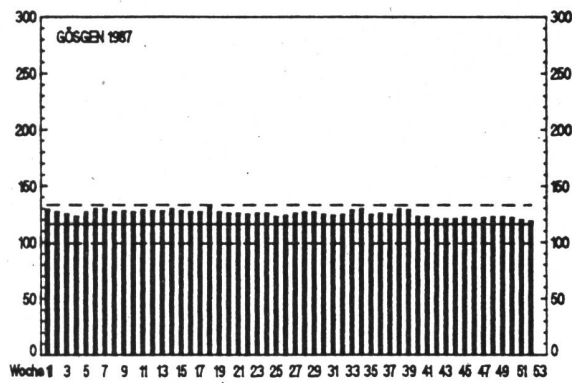
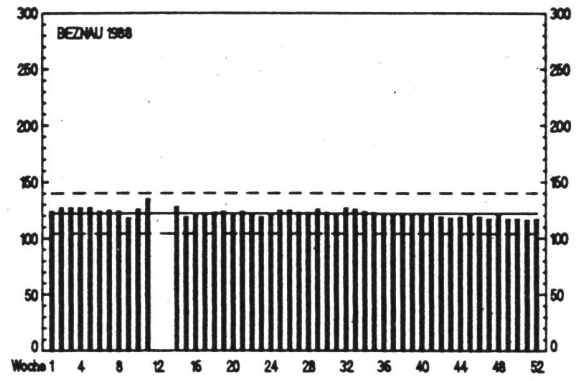
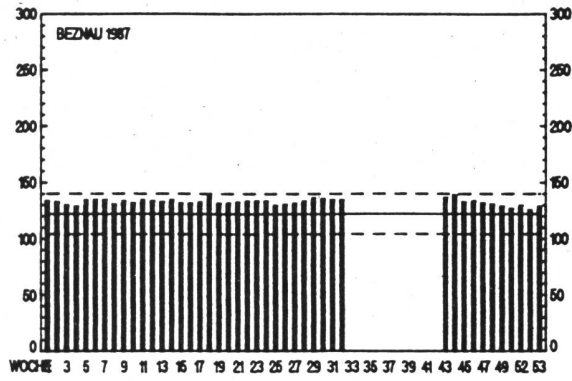


Fig.3.17.a: Activité déposée de Cs-137 (Bq/m²) en Suisse (1987 et 1988)

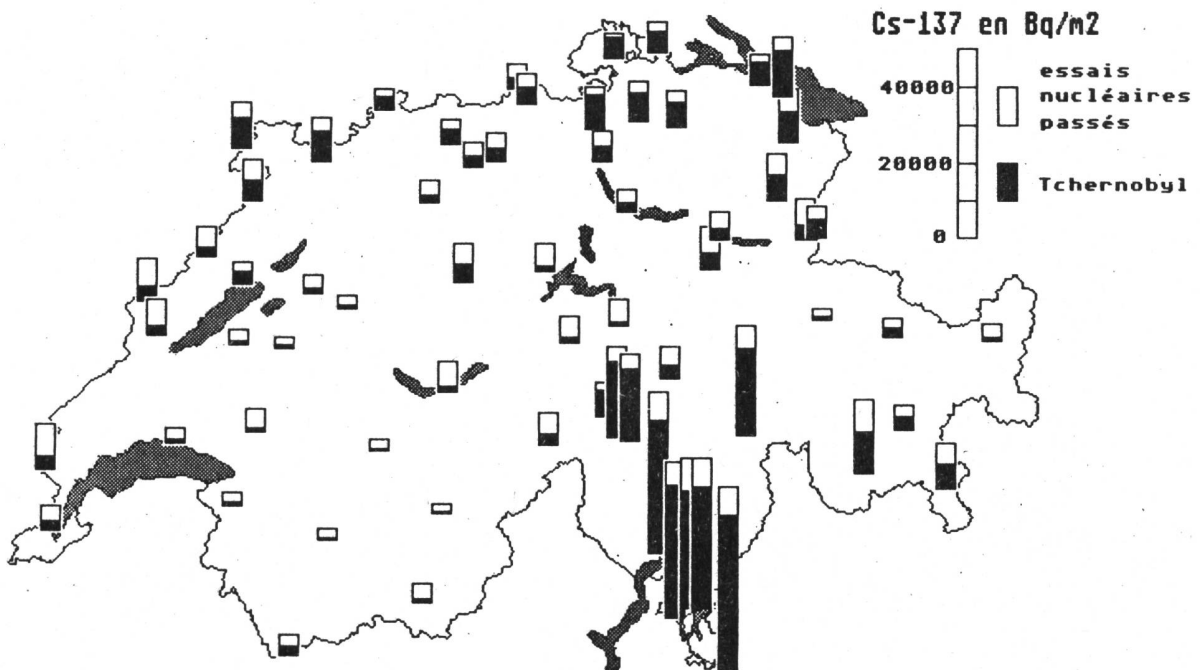


Fig.3.17.b: Contributions au débit de dose en Suisse (1988)

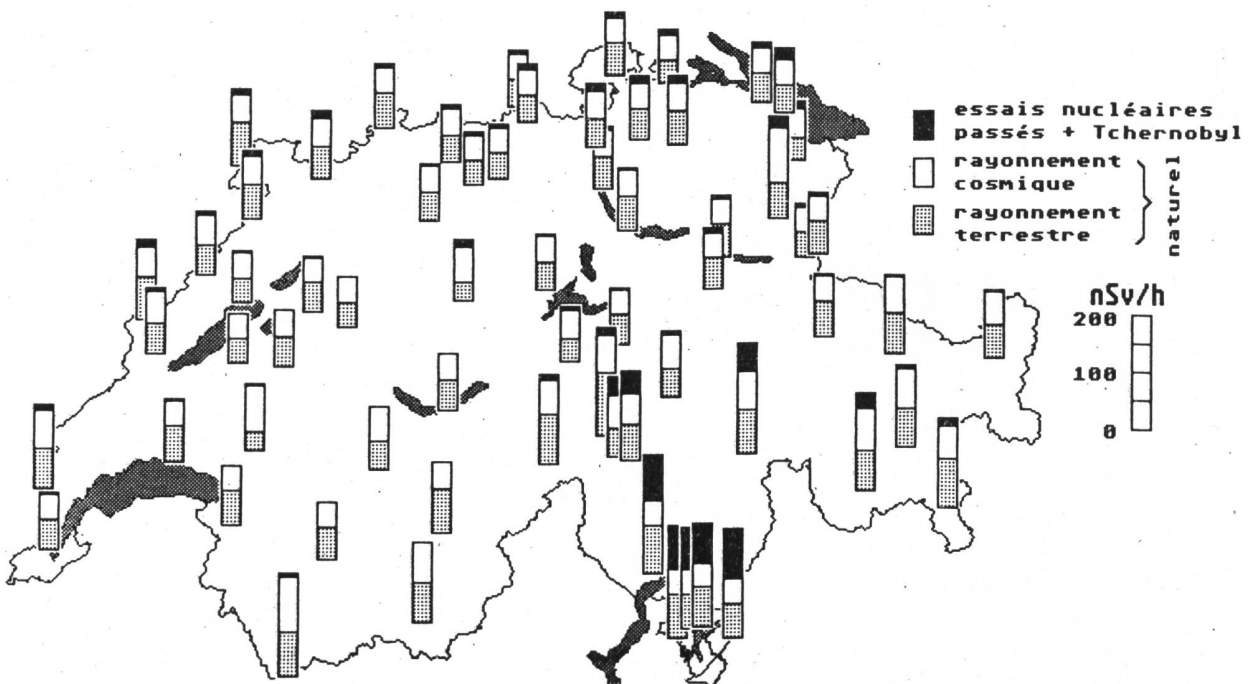


Fig.3.17.c: Potassium-40 dans le sol en Suisse
(mesuré avec un spectromètre in-situ)

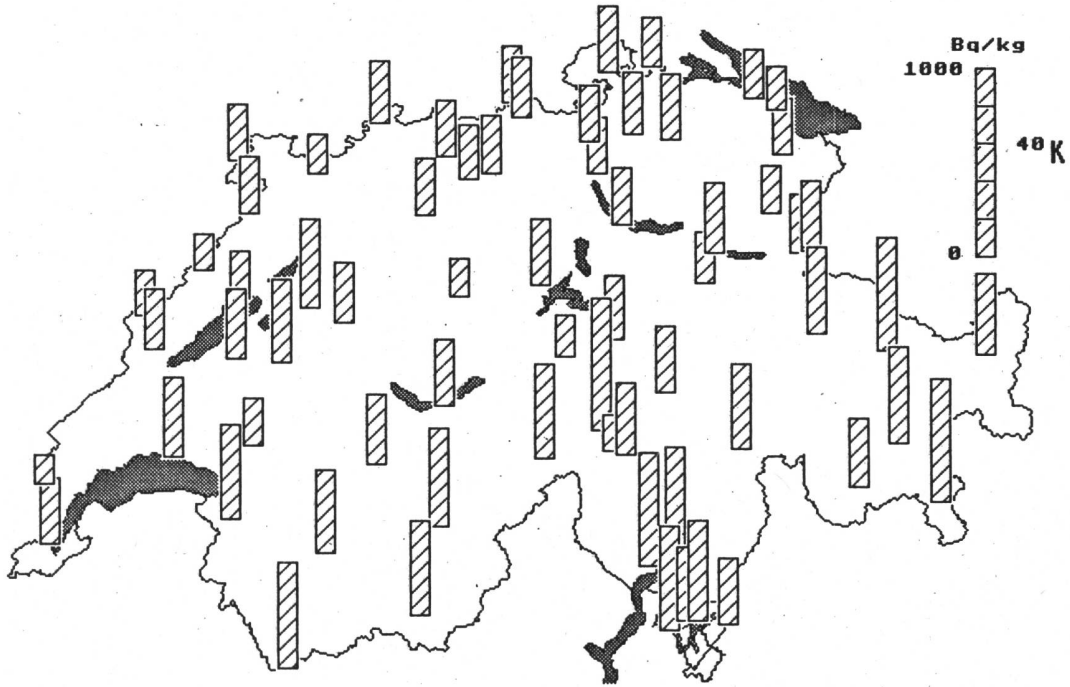


Fig.3.17.d: Radium-226 et actinium-228 dans le sol en Suisse
(mesuré avec un spectromètre in-situ)

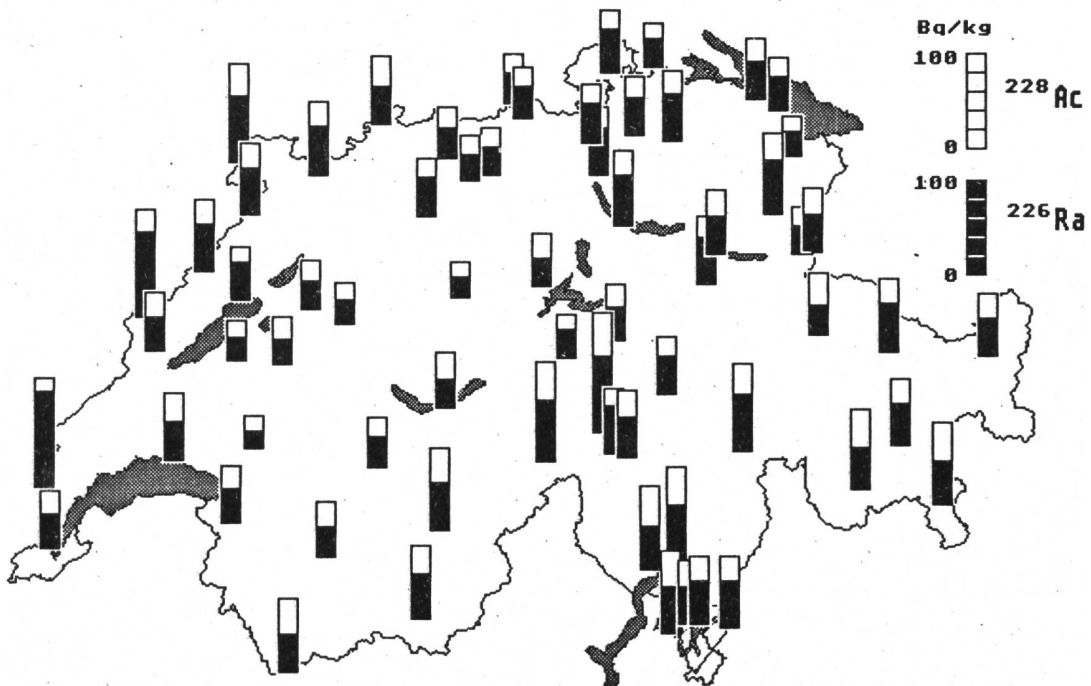


Fig.3.17.e: Mesures in-situ près des sondes NADAM (1986-1988)
Rapport des valeurs mesurées NADAM / chambre d'ionisation

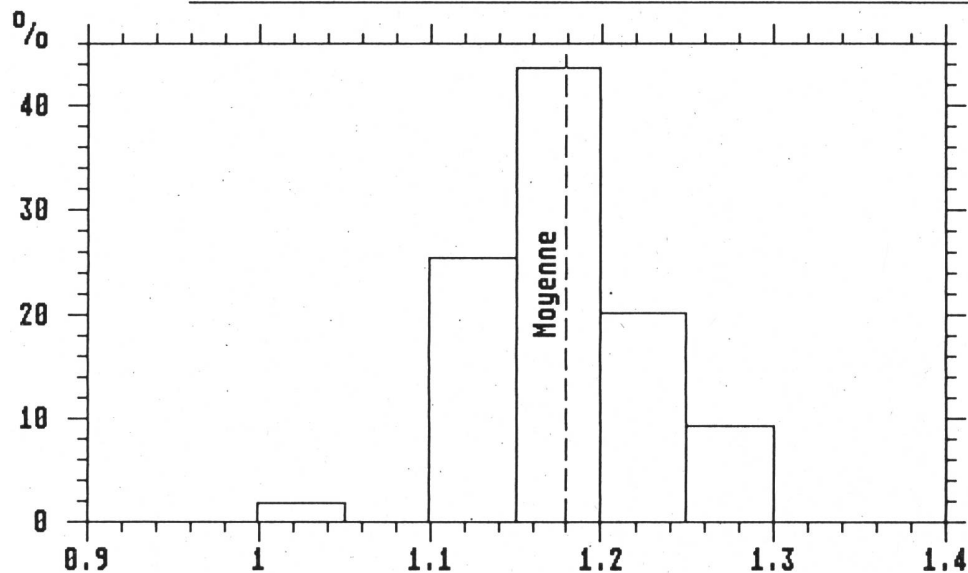


Fig. 3.17.f: Césium à Genestrerio/TI (1986-88)

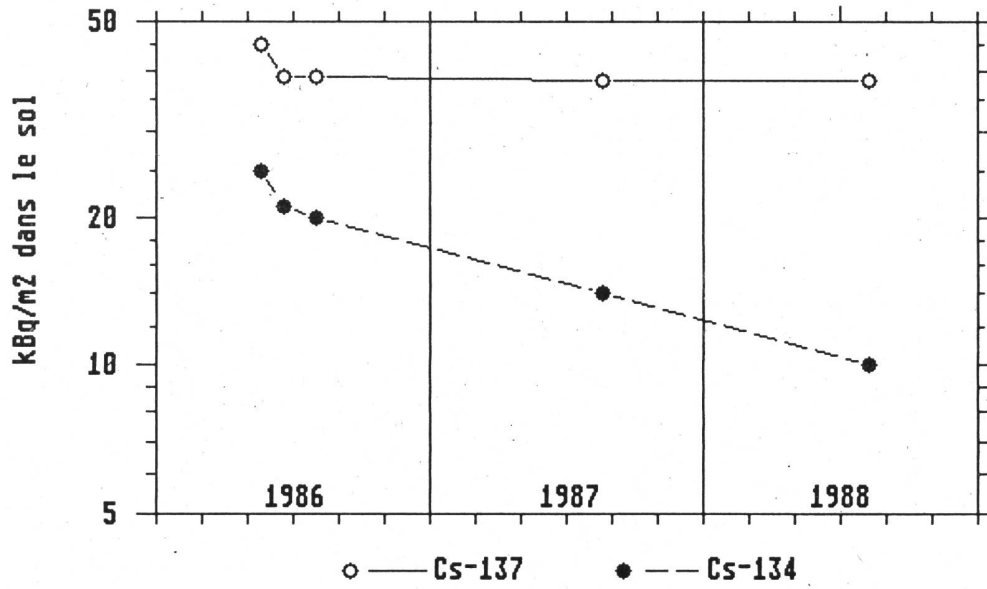


Fig 3.17.g: Césium à Genestrerio/TI (1986-88)

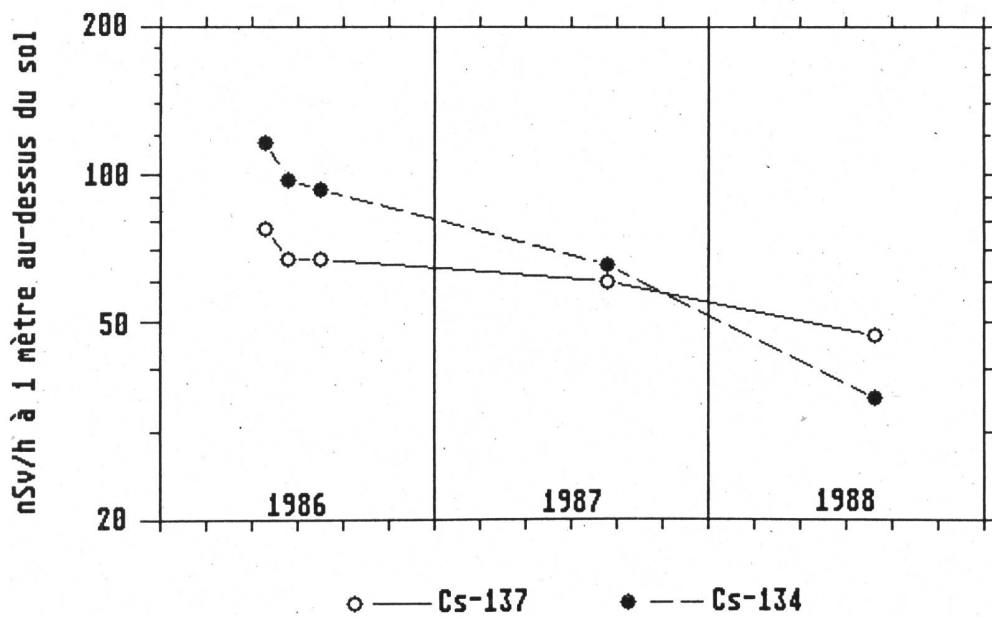


Fig.3.18.a: K-40 dans la terre prélevée en 87 et 88

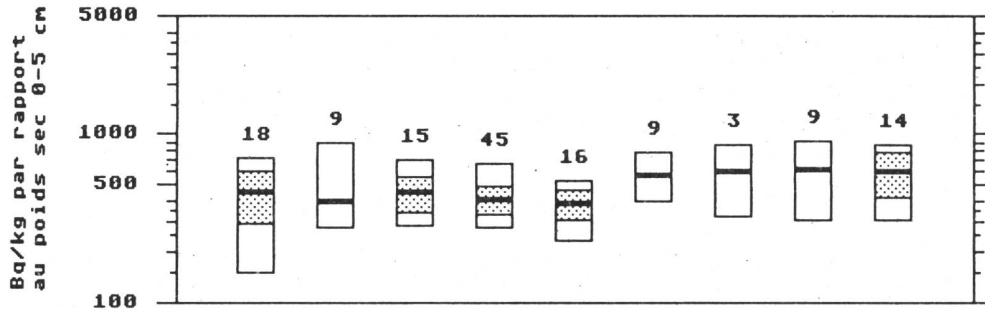


Fig.3.18.b: Cs-137 dans la terre prélevée en 87 et 88

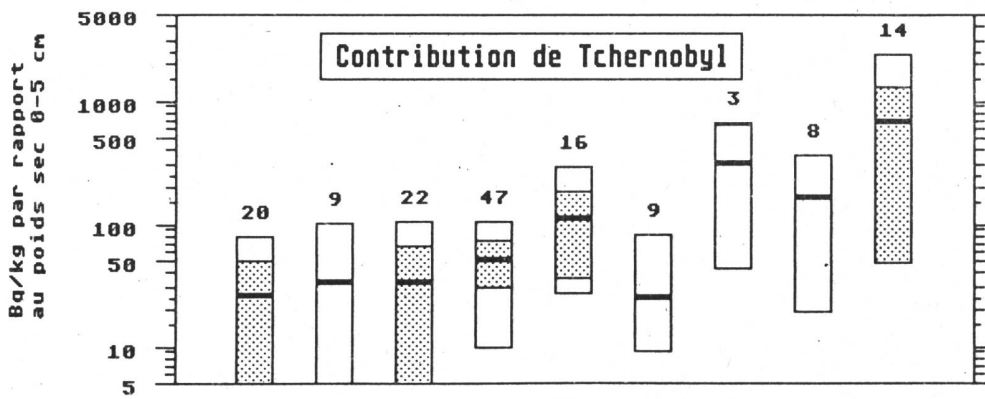


Fig.3.18.c: Cs-137 dans la terre prélevée en 87 et 88

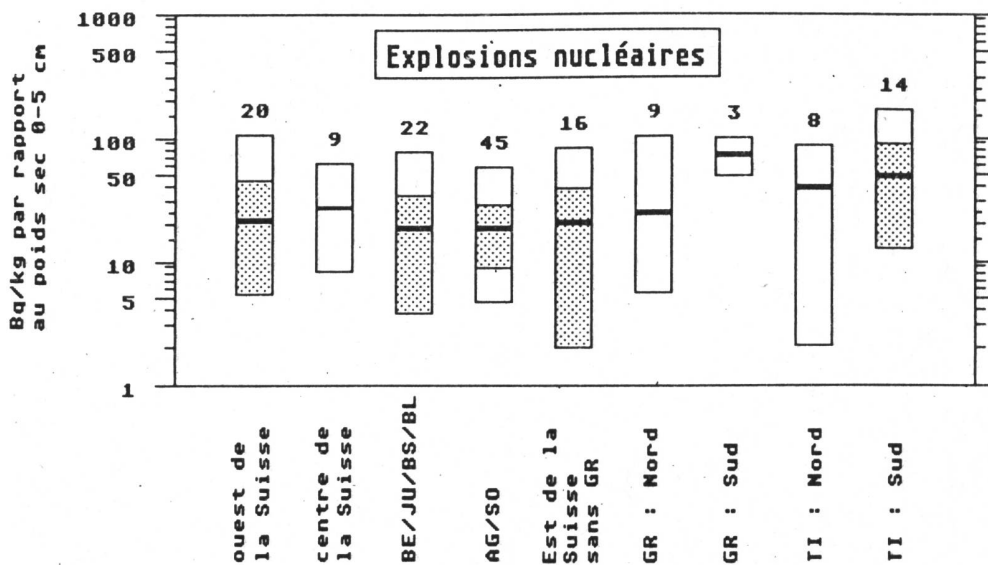


Fig.3.19.a: Cs-137 dans l'herbe fraîche

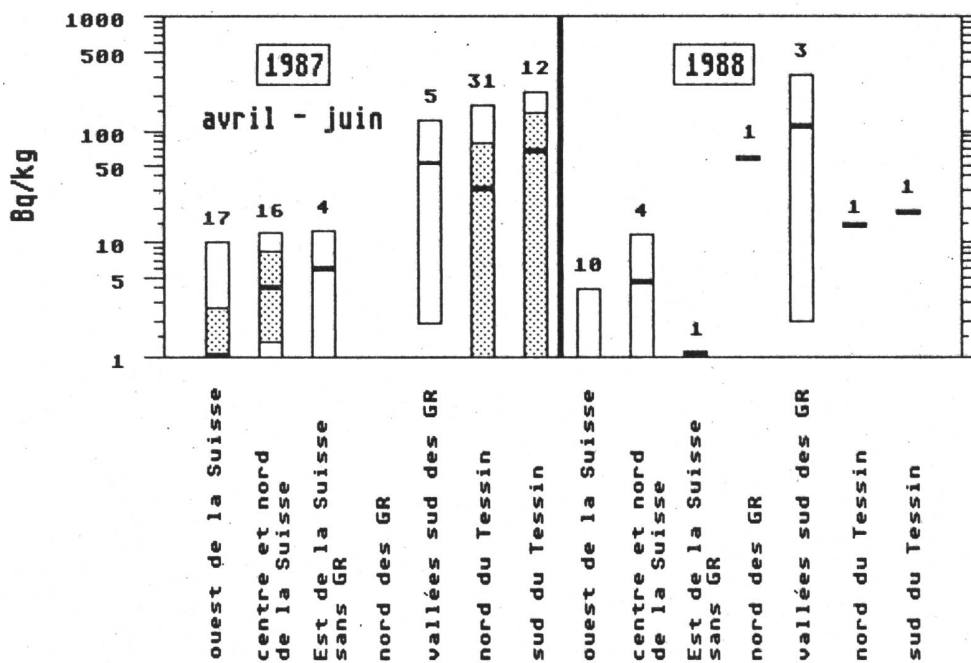


Fig.3.19.b: Cs-137 dans l'herbe (converti au poids sec) et dans le foin

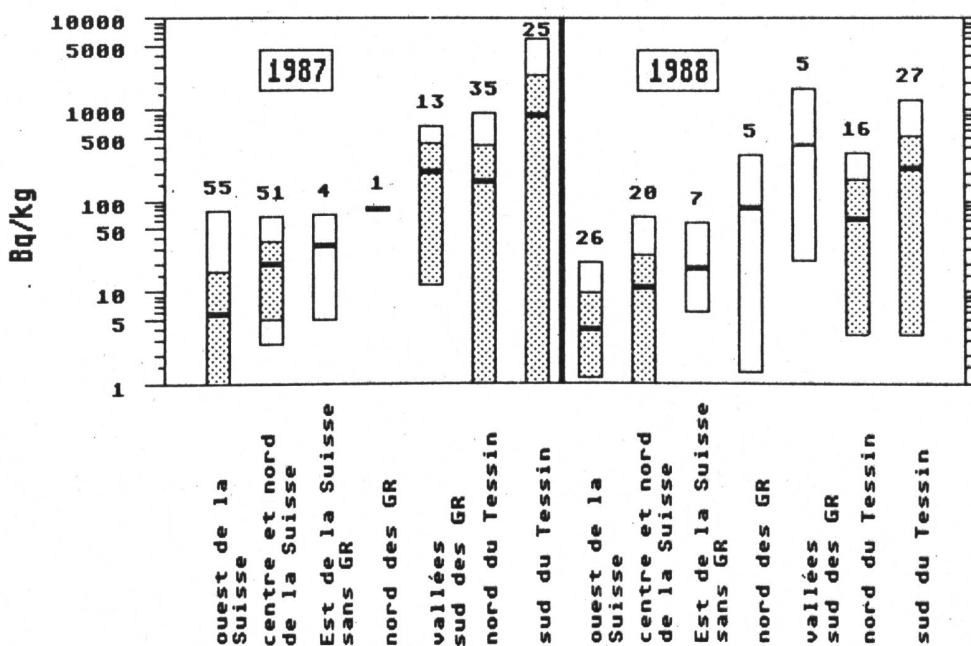


Fig.3.19.c: Cs-137 dans l'herbe (fraîche) de Spiez, de Faulensee et d'Alp Ober-Suldtal/BE 1987

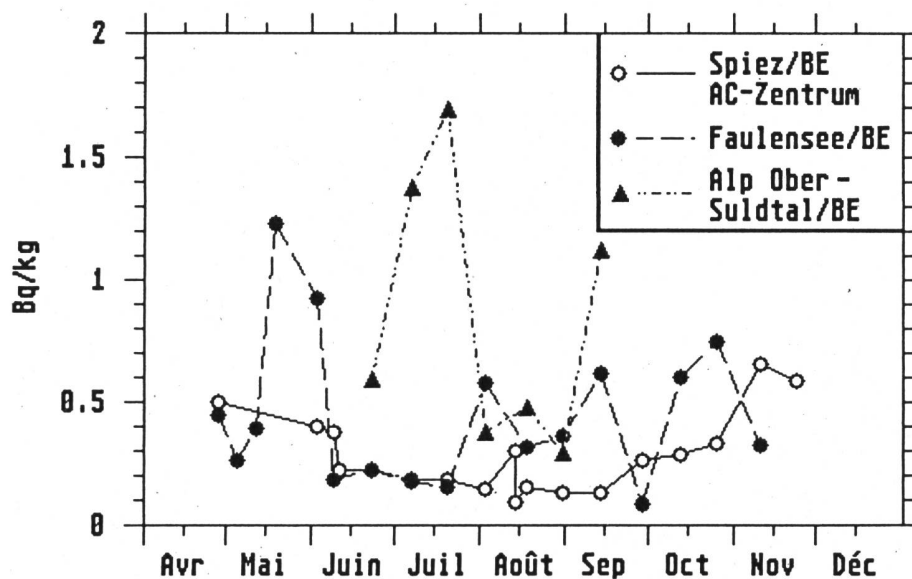


Fig.3.19.d: Cs-137 dans le maïs en silo (87) (=récolte 86)

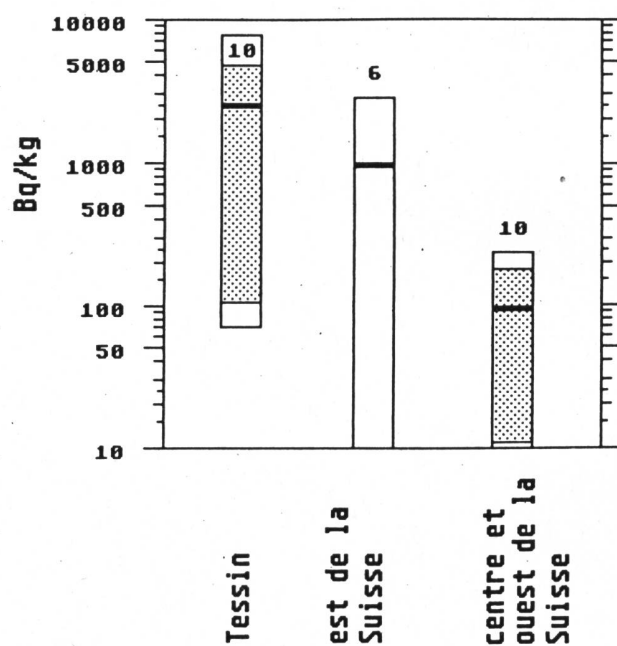


Fig. 3.19.e: Corrélation terre (0-5 cm) - herbe (1987)

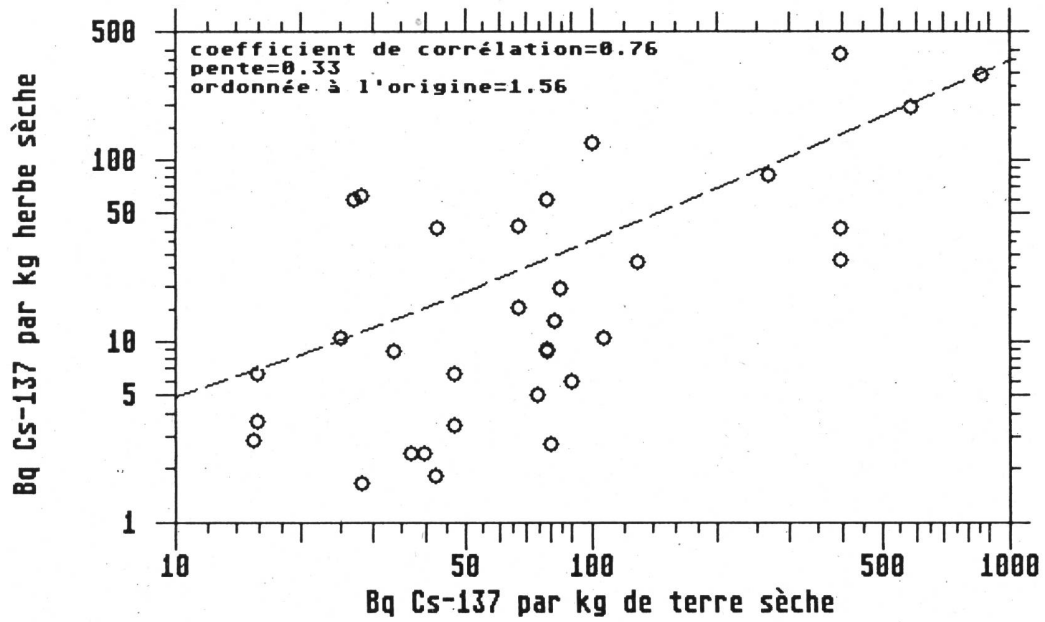


Fig.3.19.f: Corrélation terre (0-5 cm) - herbe (1988)

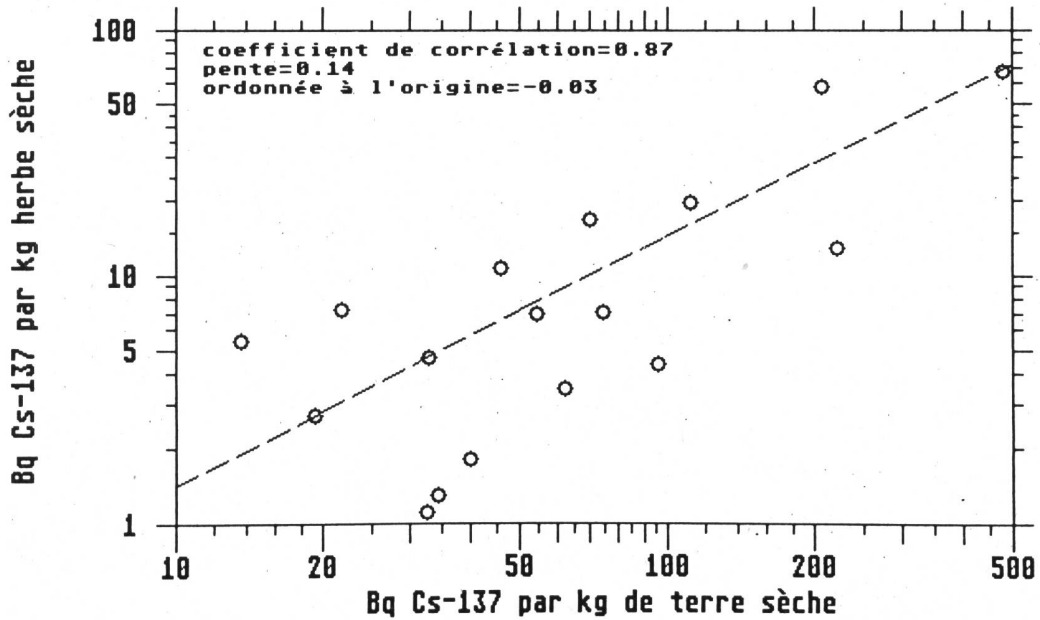


Fig.3.20.a: Cs-137 dans le lait de la vallée de Blenio/TI 1987

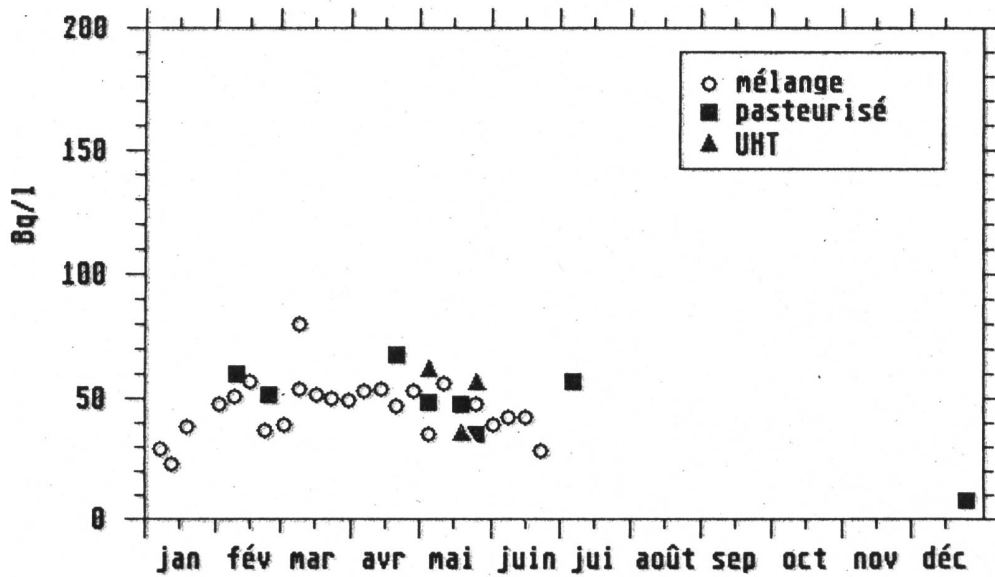


Fig.3.20.b: Cs-137 dans le lait de Piano Magadino/TI 1987

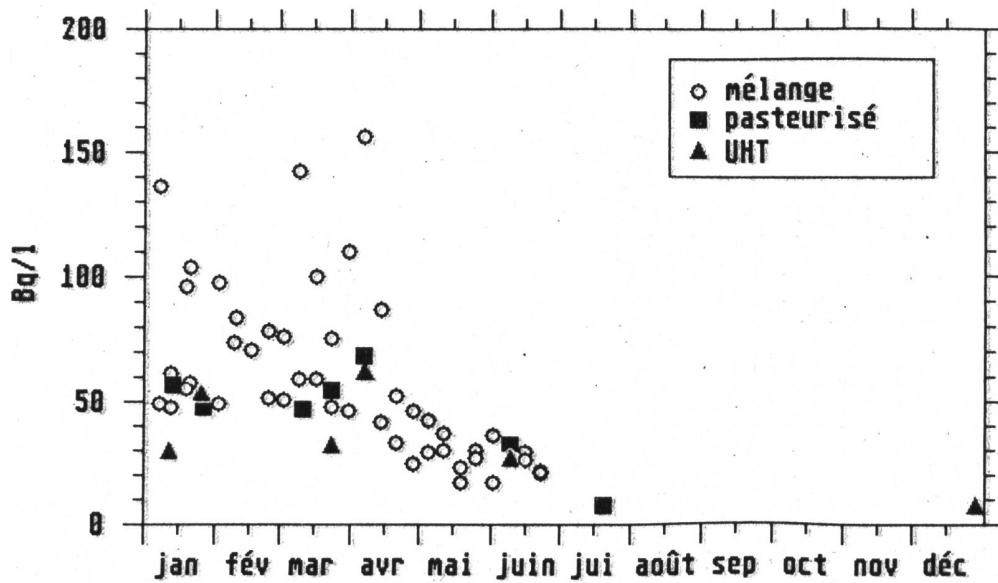


Fig.3.20.c: Cs-137 dans le lait de la région luganaise/TI 1987

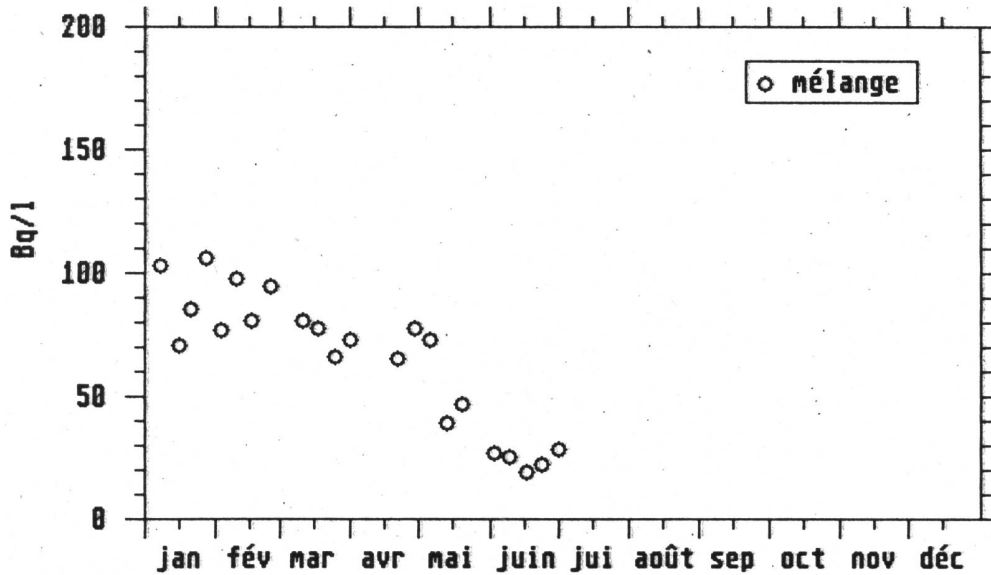


Fig.3.20.d: Cs-137 dans le lait du Mendrisiotto/TI 1987

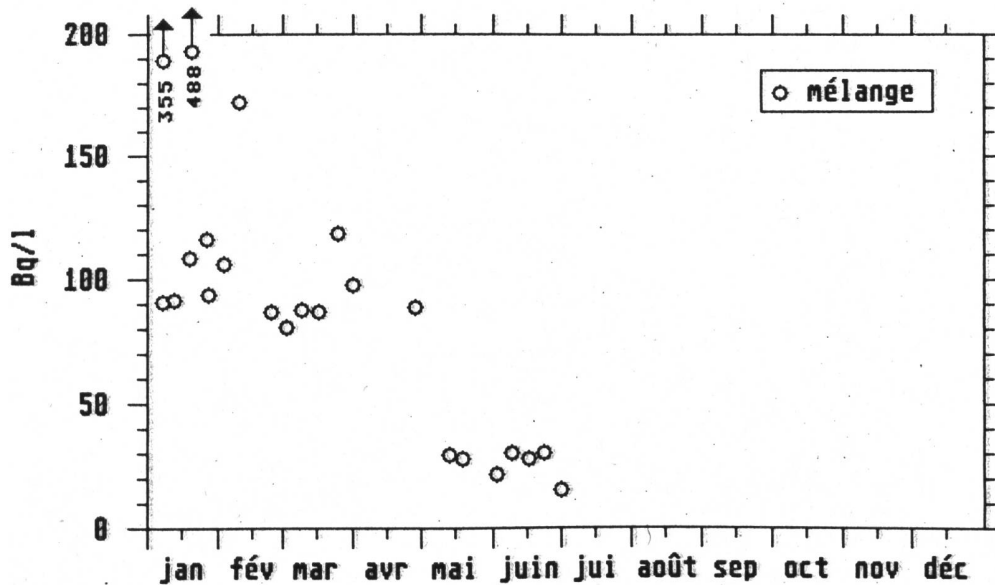


Fig.3.20.e: Cs-137 dans un prélèvement de production individuelle de lait du Tessin en 1987

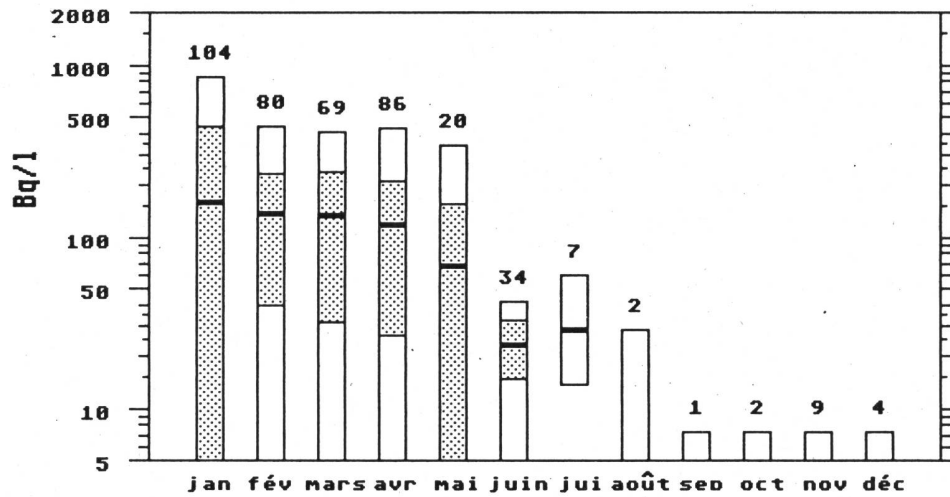


Fig.3.20.f: Cs-137 dans un prélèvement de production individuelle de lait du Tessin en 1988

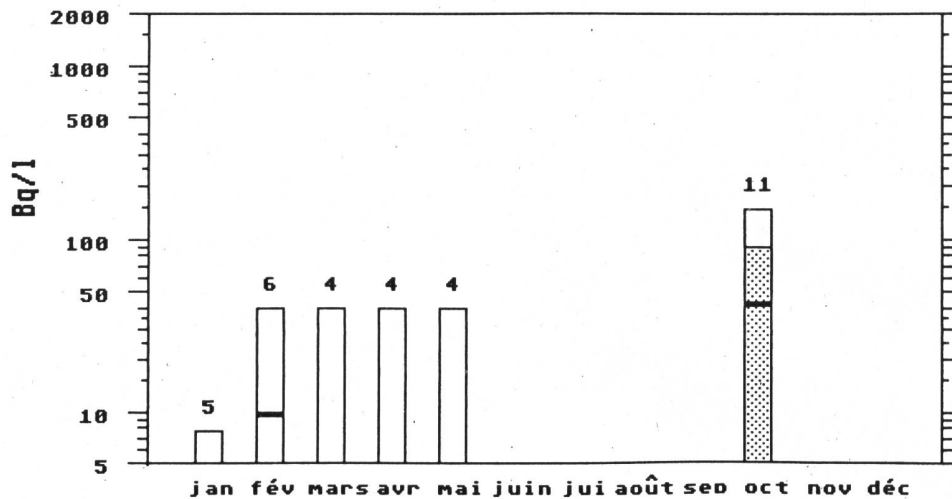


Fig.3.21.a: Cs-137 dans le lait de vache des Grisons 1987/1988

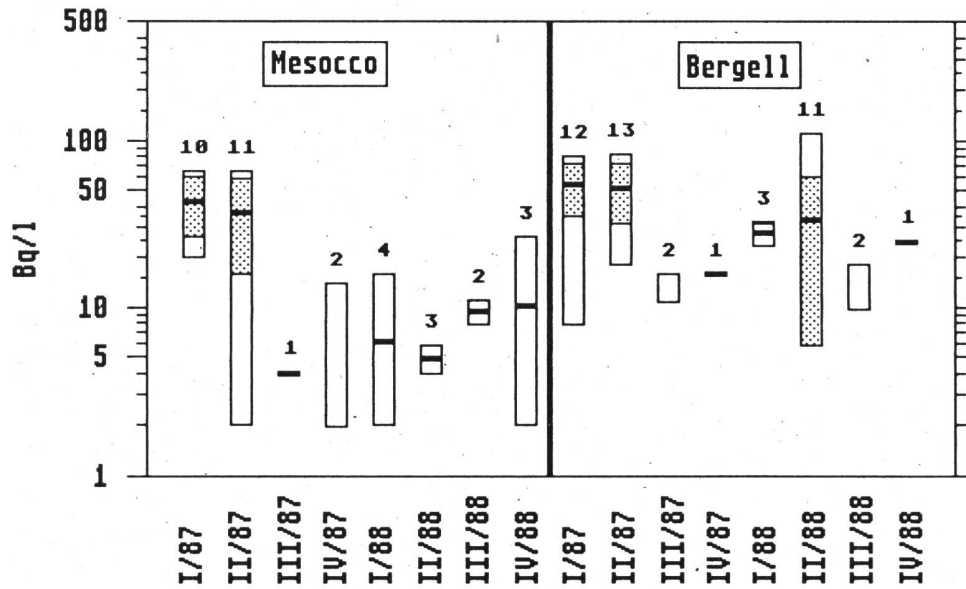


Fig.3.21.b: Cs-137 dans le lait de vache des Grisons 1987/1988

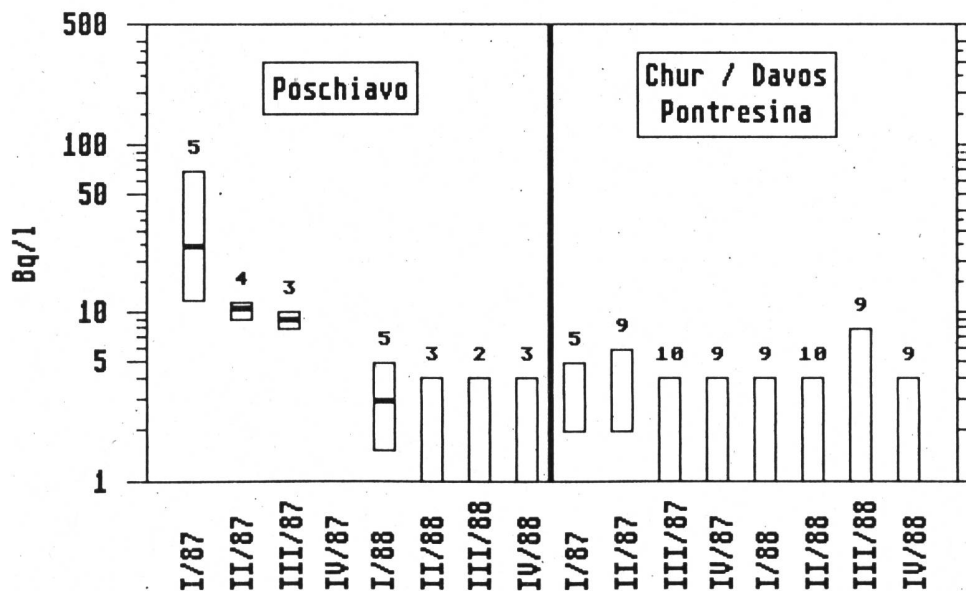


Fig.3.21.c: Cs-137 dans le lait de vache de St. Gall 1987/1988

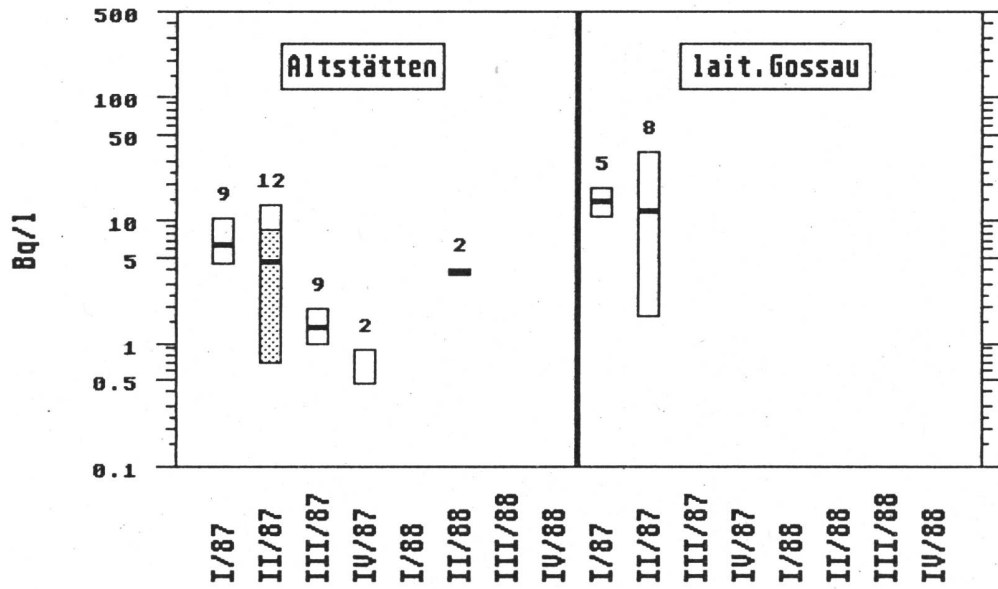


Fig.3.21.d et 3.21.e: Cs-137 dans le lait de vache 1987/1988

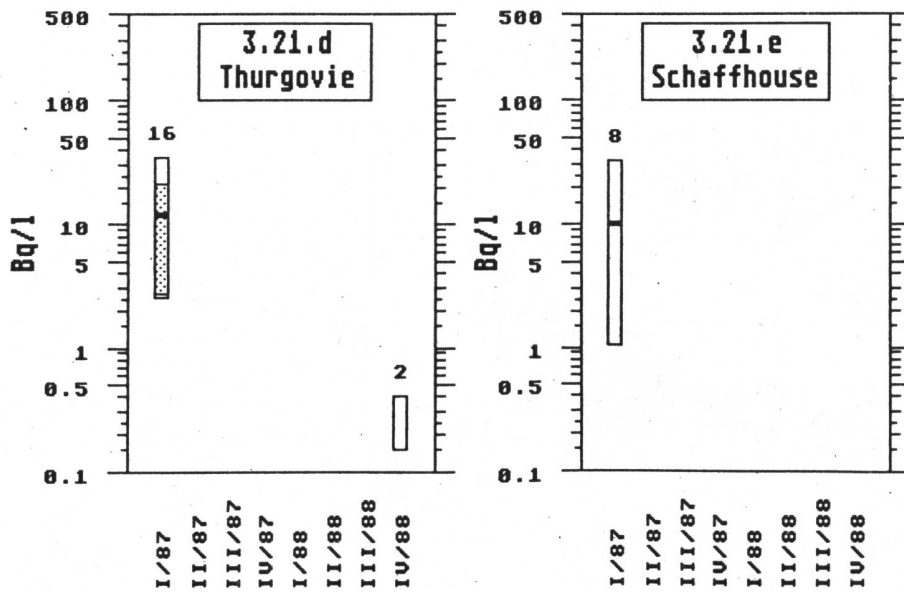


Fig.3.21.f: Cs-137 dans le lait de vache de Zürich 1987/1988

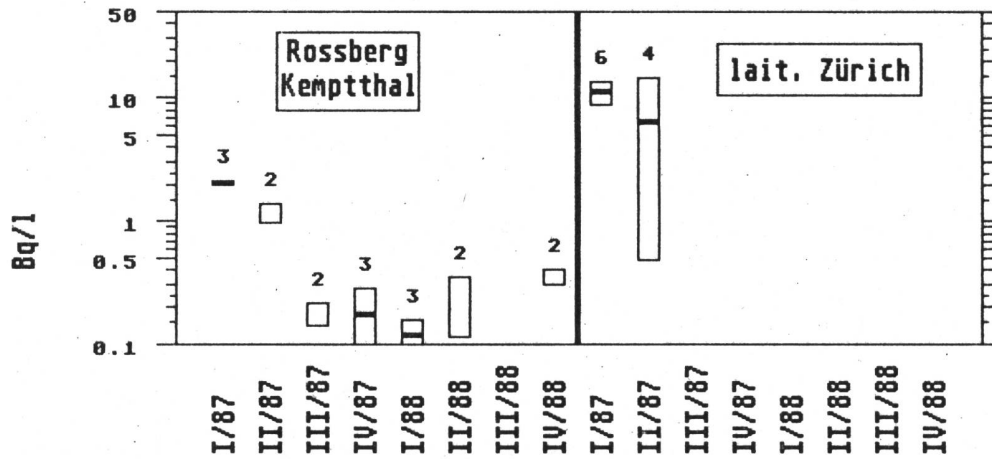


Fig.3.21.g: Cs-137 dans le lait de vache de Bâle (BS et BL) 1987/88

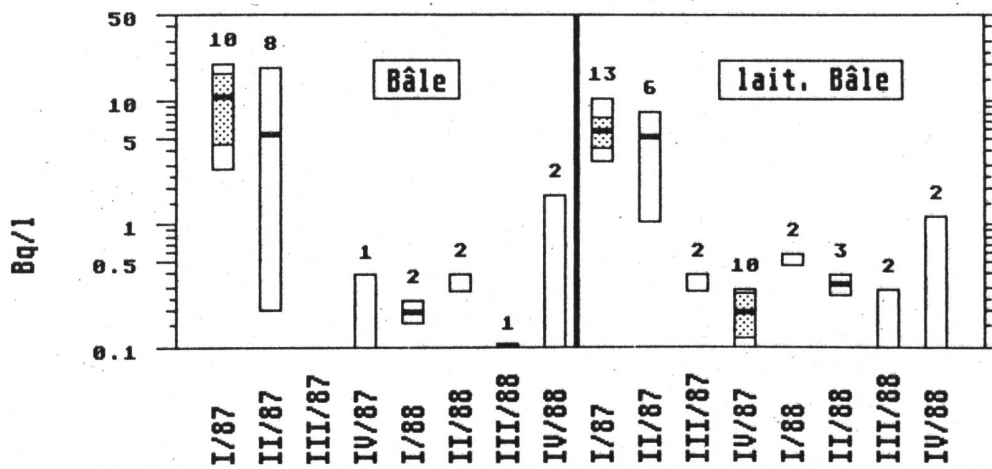


Fig.3.21.h: Cs-137 dans le lait de vache d'Argovie et de Soleure 87/88

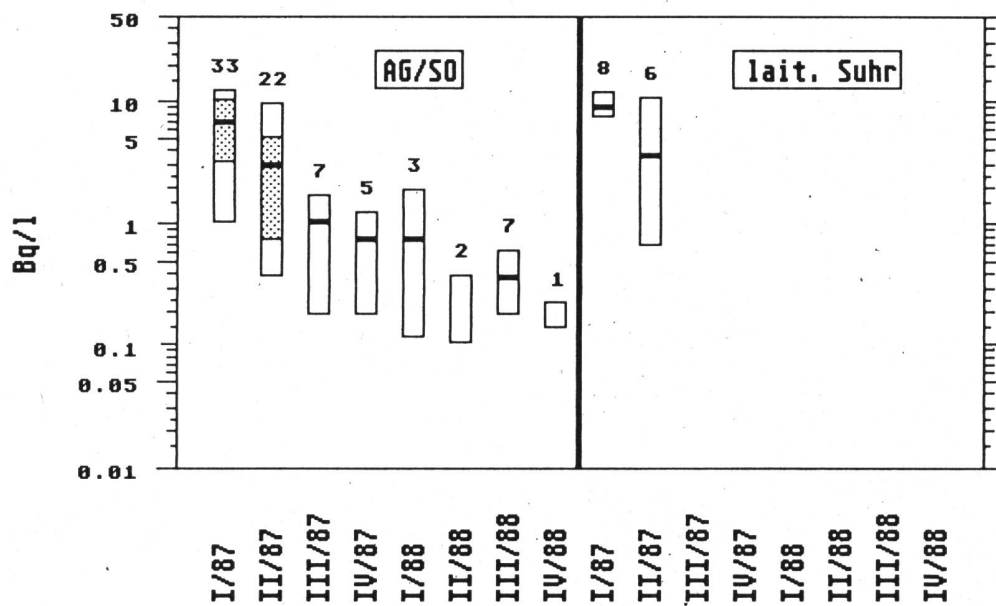


Fig.3.21.i: Cs-137 dans le lait de vache de la Suisse centrale 87/88

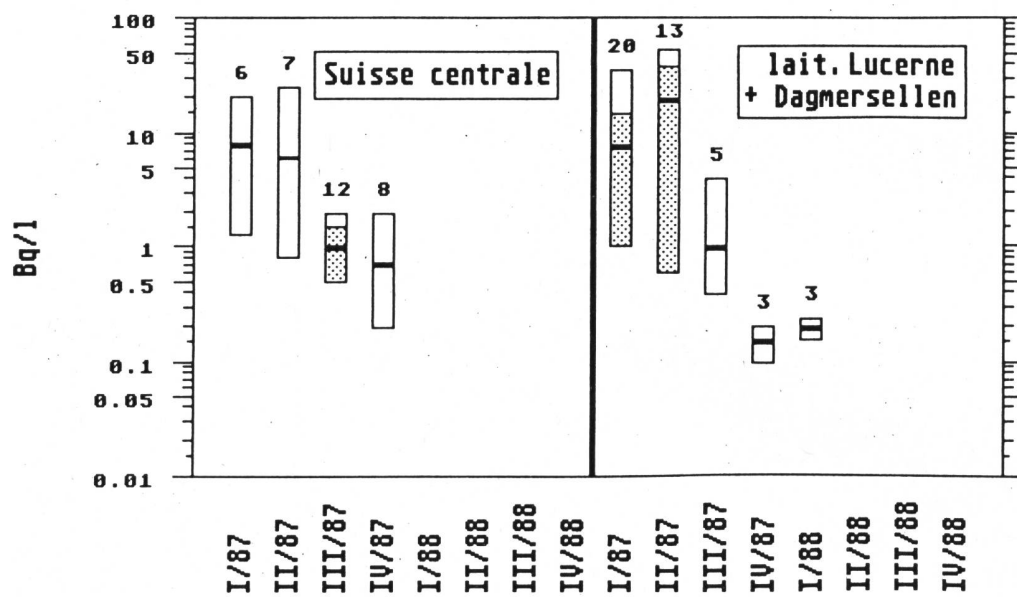


Fig.3.21.j: Cs-137 dans le lait de vache de Berne 1987/1988

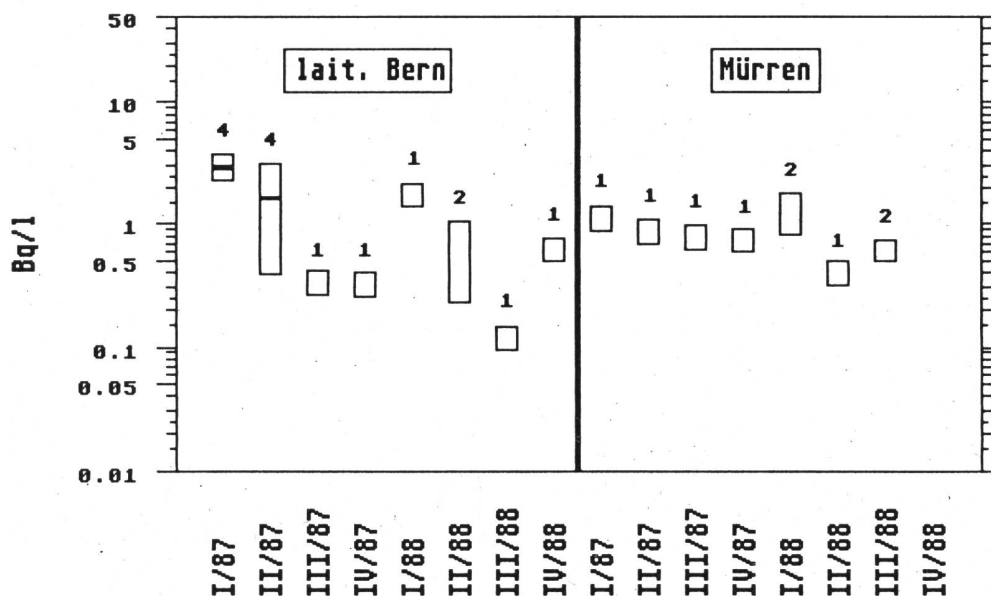


Fig.3.21.k: Cs-137 dans le lait de vache de Berne 1987/1988

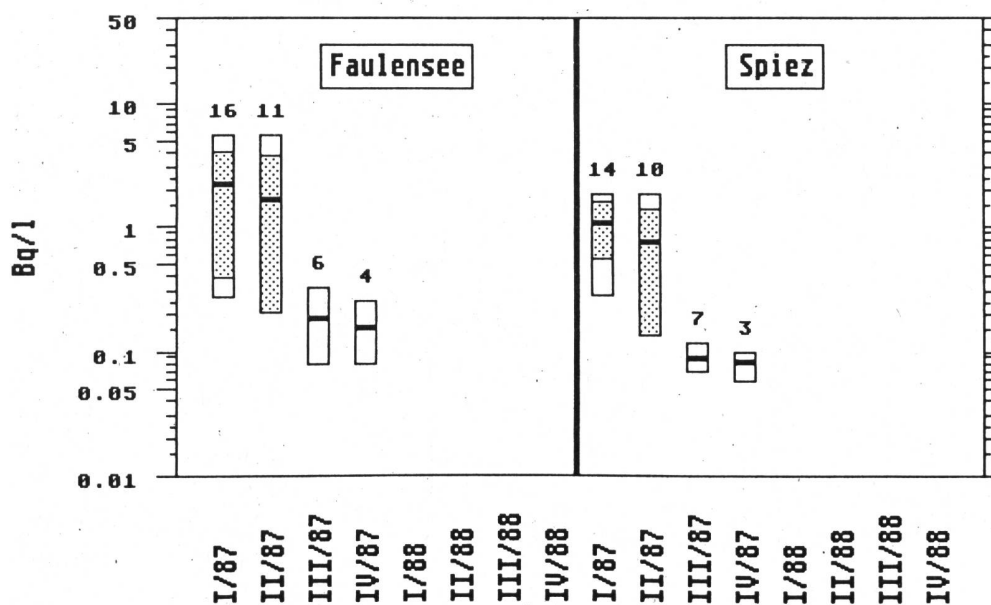


Fig.3.21.1: Cs-137 dans le lait de vache de Berne 1987/1988

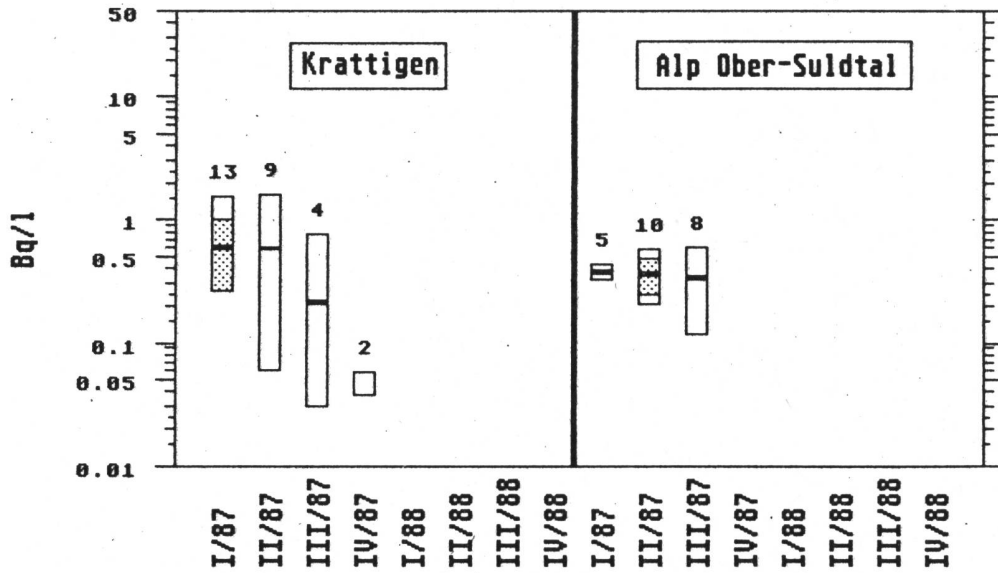


Fig.3.21.m: Cs-137 dans le lait de vache 1987 et 1988

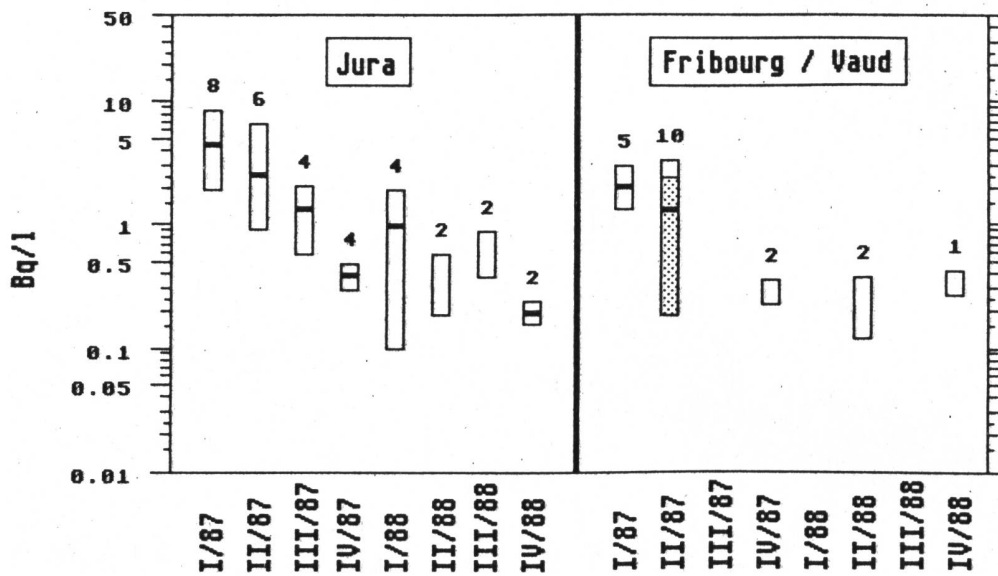


Fig.3.22.c: Cs-137 dans le lait de l'Oberland bernois

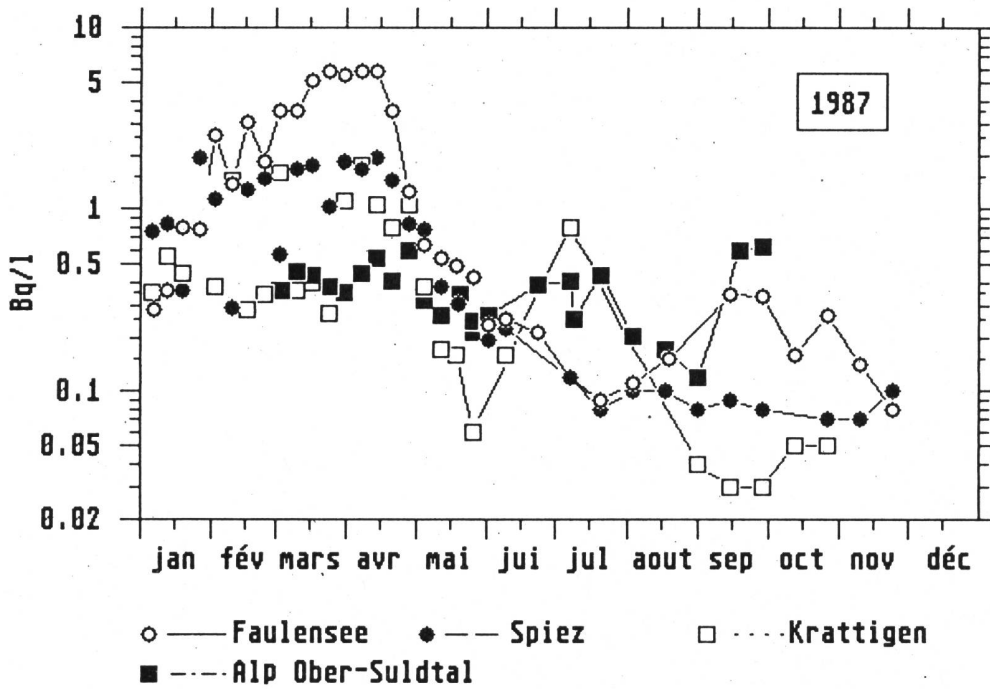


Fig.3.22.d: Corrélation entre le lait et l'herbe :
Activité de Cs-137 pour l'année 1987

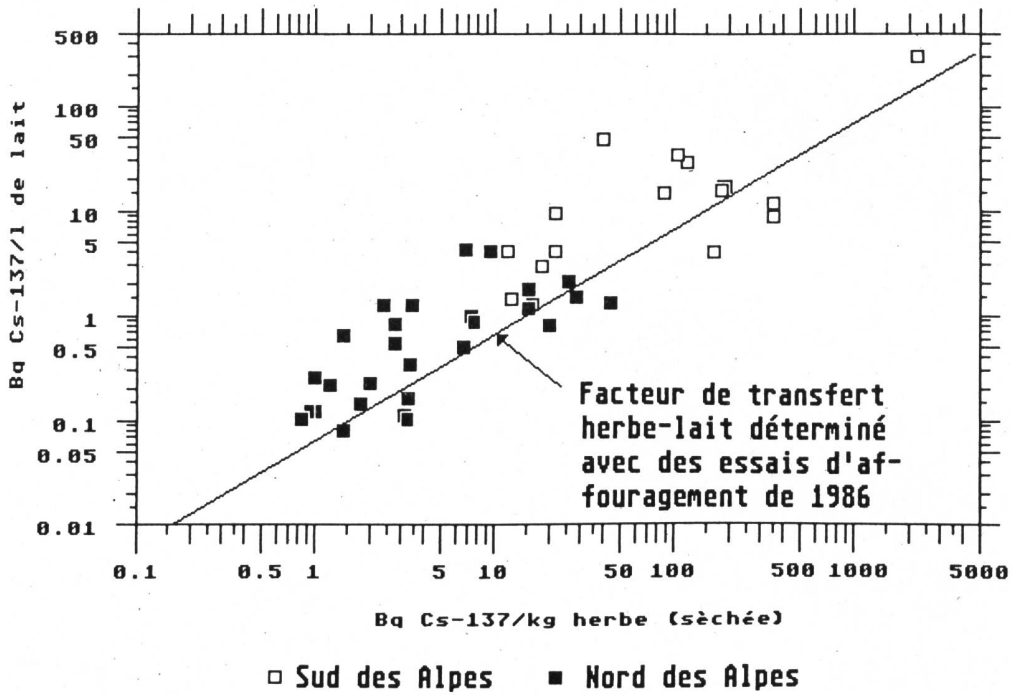


Fig.3.22.e: Sr-90 dans des échantillons de lait

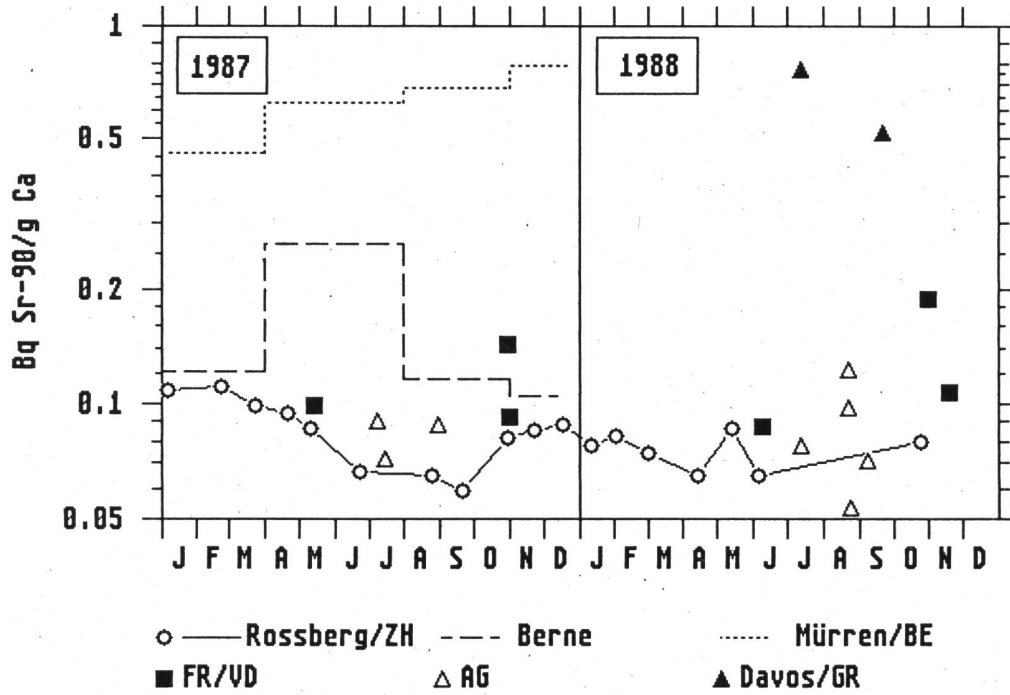


Fig.3.22.f: Sr-90 dans le lait de Rosenberg/Kemptthal / ZH

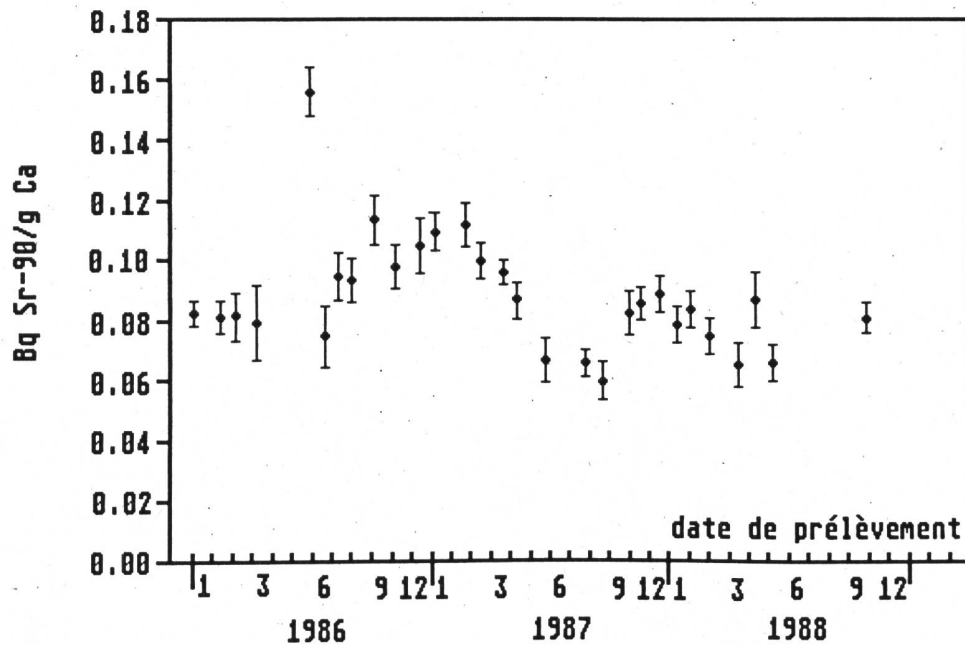


Fig.3.23.a: Cs-137 dans le lait de chèvre

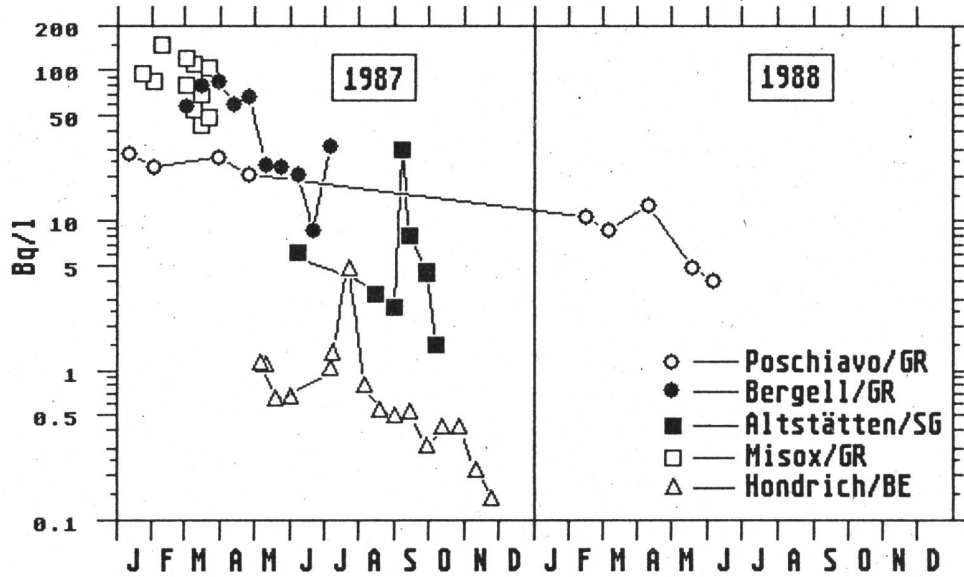


Fig.3.23.b: Cs-137 dans le lait de chèvre du Tessin

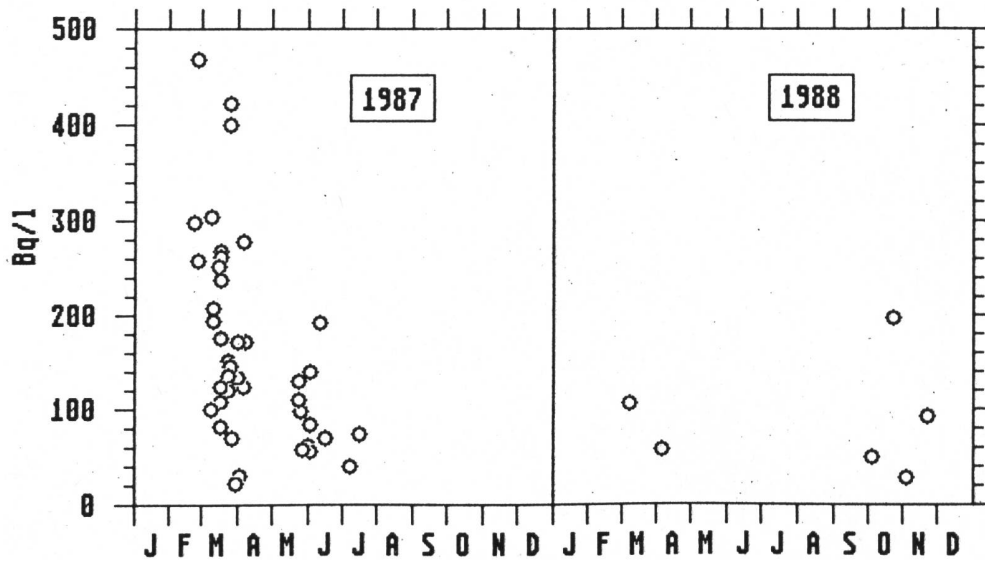


Fig.3.23.c: Cs-137 dans le lait de mouton

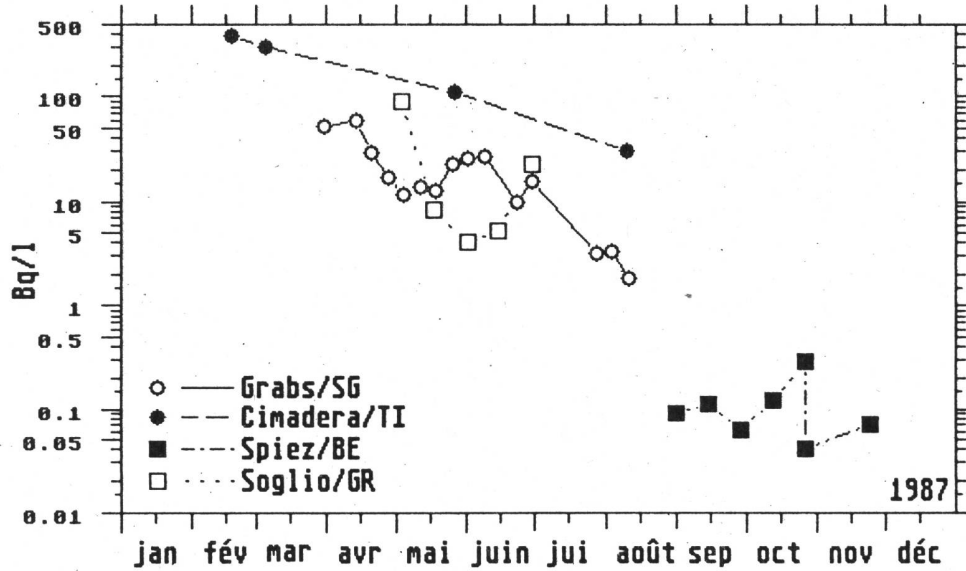


Fig.3.24: Cs-137 dans les produits laitiers 1987/1988

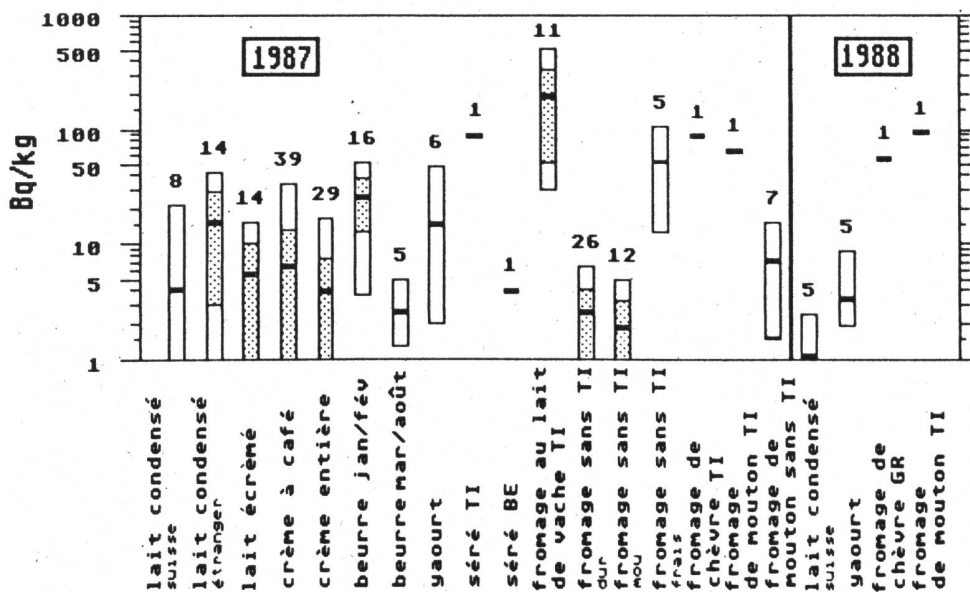


Fig.3.25.a: Cs-137 dans les céréales et les produits céréaliers 1987

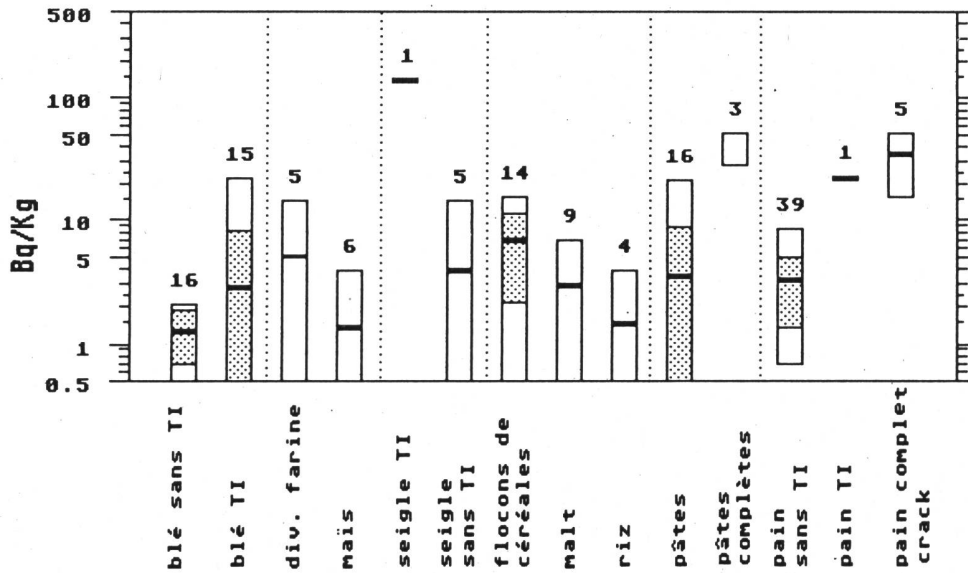


Fig.3.25.b: Cs-137 dans les céréales et les produits céréaliers 1988

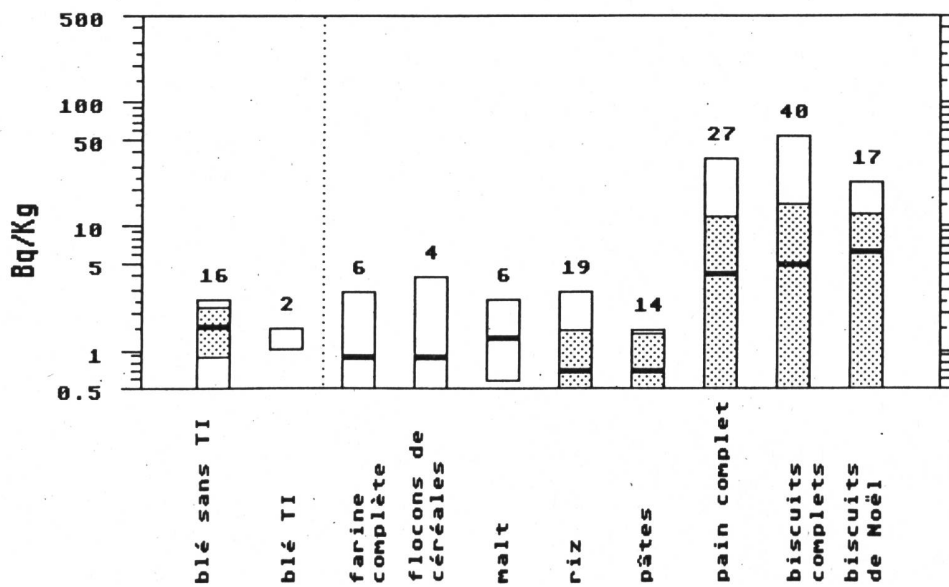


Fig.3.25.c: Cs-137 dans les produits céréaliers

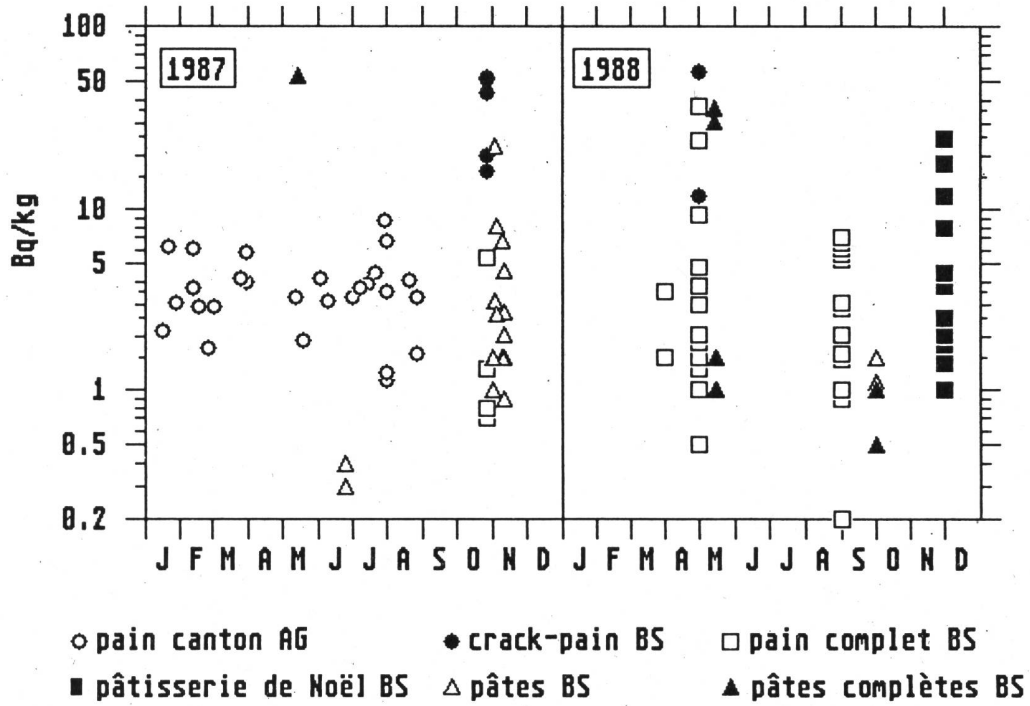
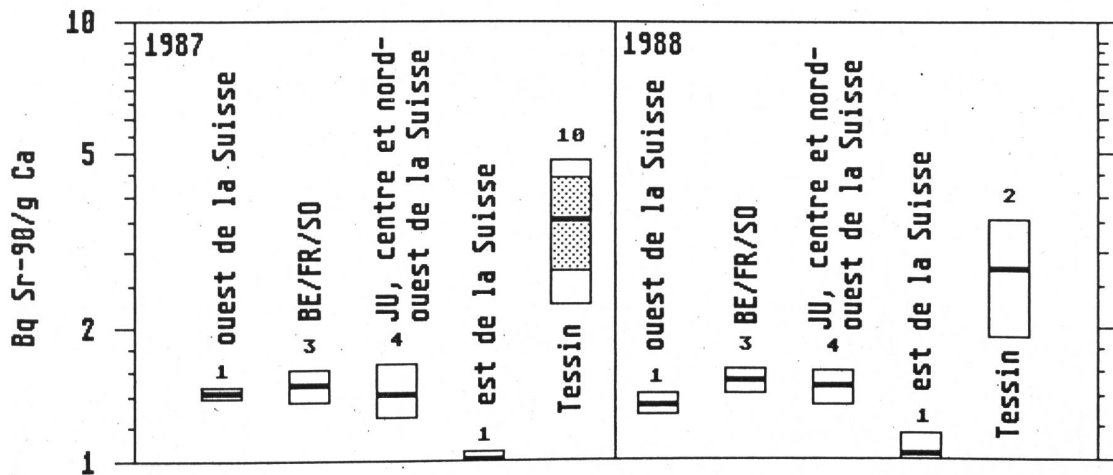


Fig.3.25.d: Sr-90 dans les céréales



1 Bq Sr-90/kg = 2.6 Bq/g Ca

Fig.3.26.a: Cs-137 dans les légumes du Tessin 1987/1988

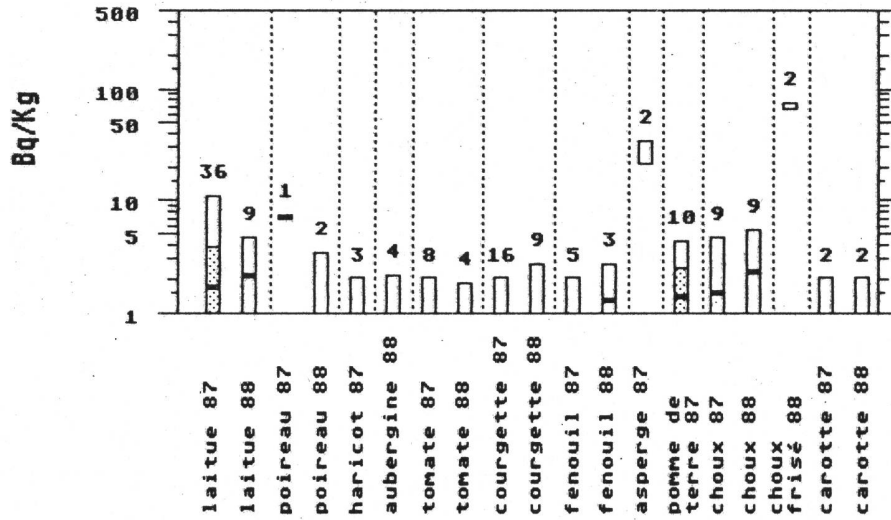


Fig.3.26.b: Cs-137 dans les légumes de l'est de la Suisse 1987/1988

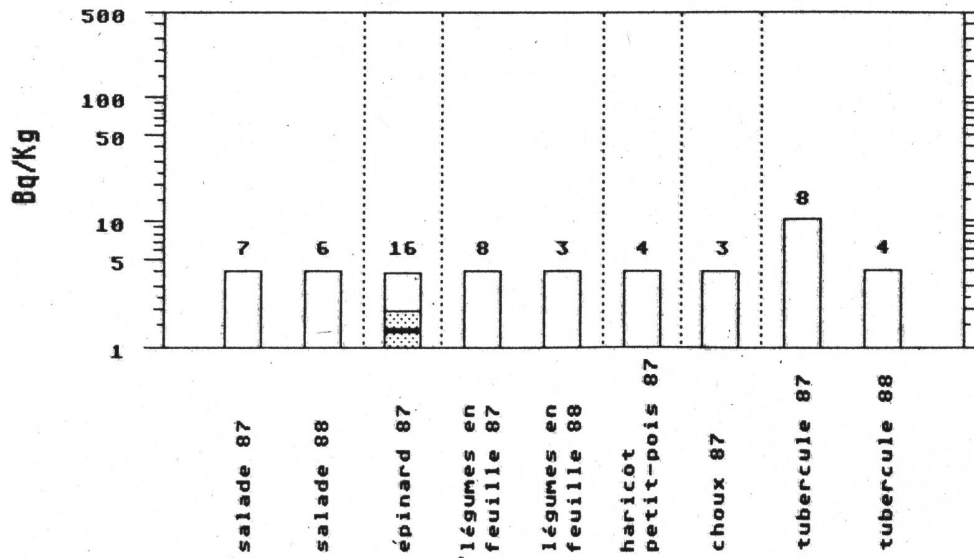


Fig.3.26.c: Cs-137 dans les légumes du reste de la Suisse 1987/1988

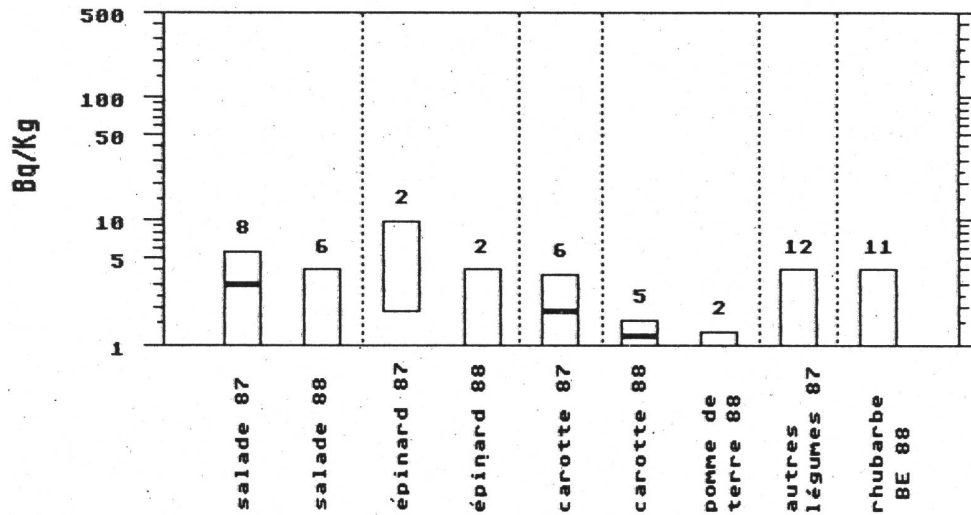


Fig.3.27.a: Cs-137 dans les fruits du Tessin 1987/1988

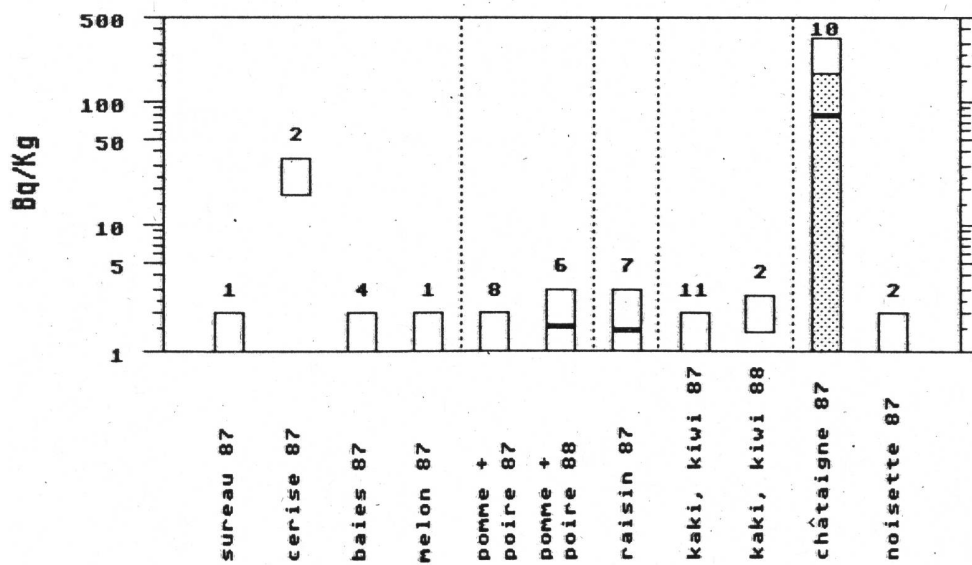


Fig.3.27.b: Cs-137 dans les fruits de l'est de la Suisse 1987/1988

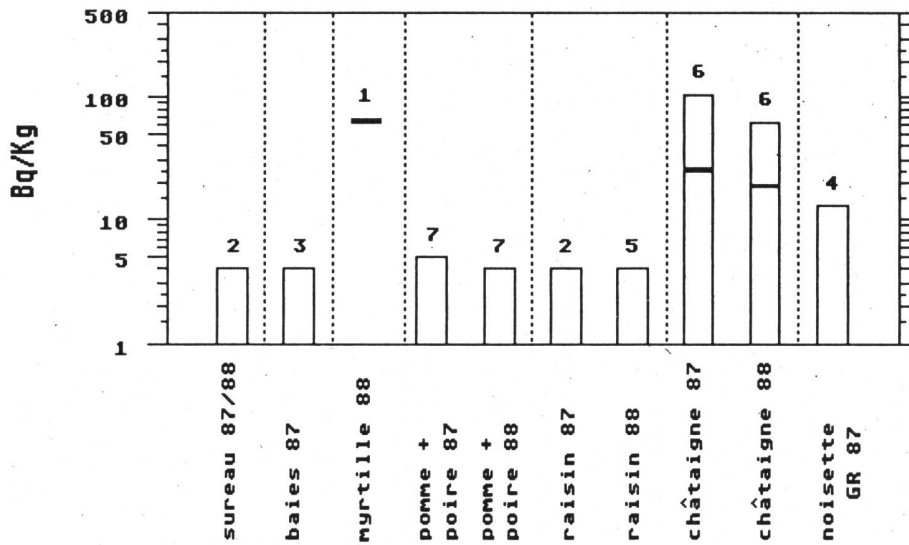


Fig.3.27.c: Cs-137 dans les fruits du reste de la Suisse 1987/1988

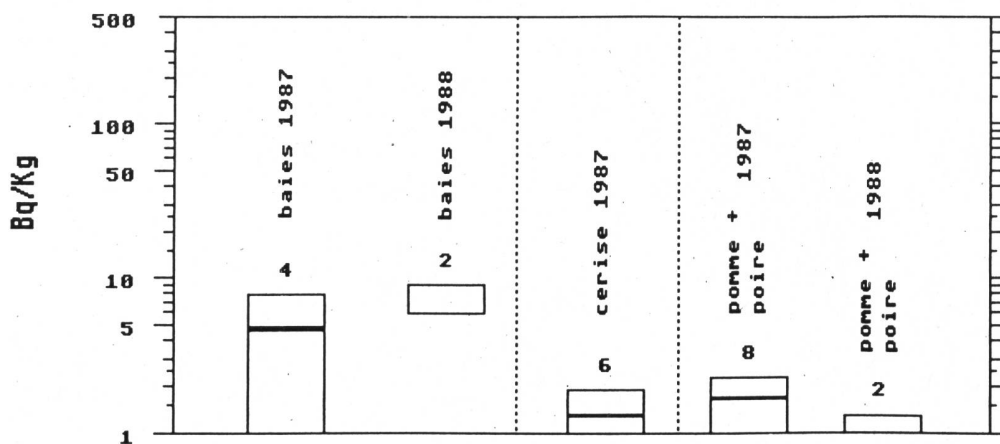


Fig.3.28.a: Cs-137 dans les champignons frais

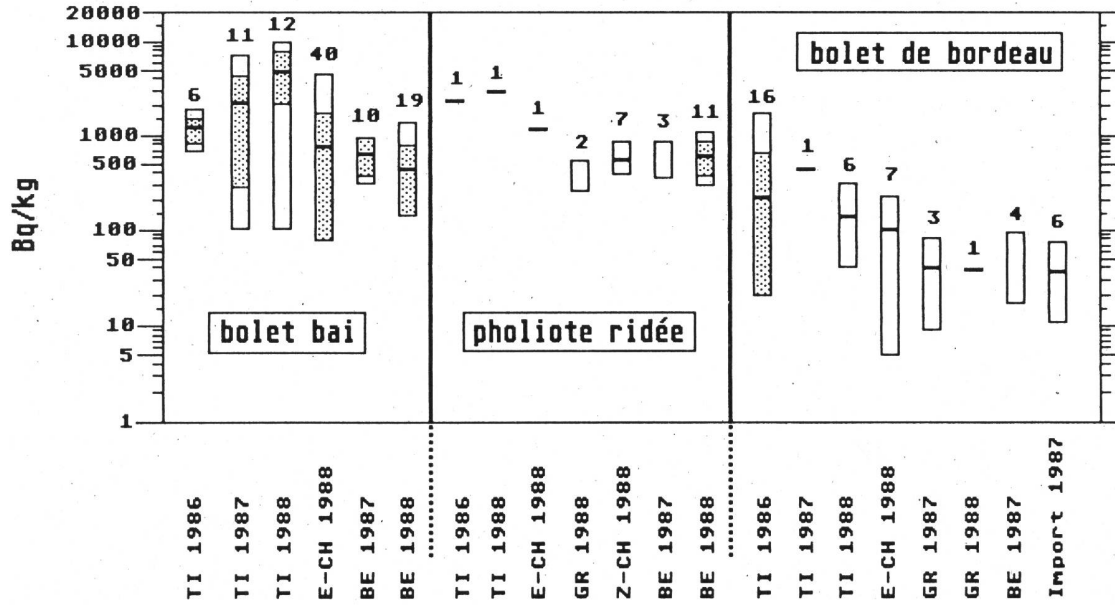
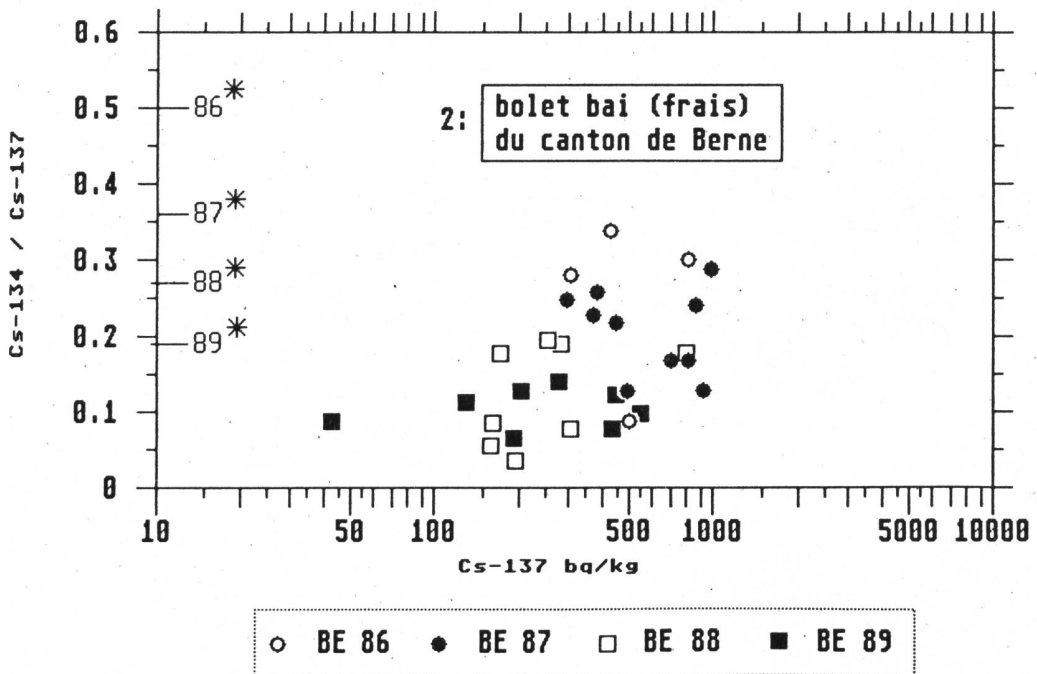
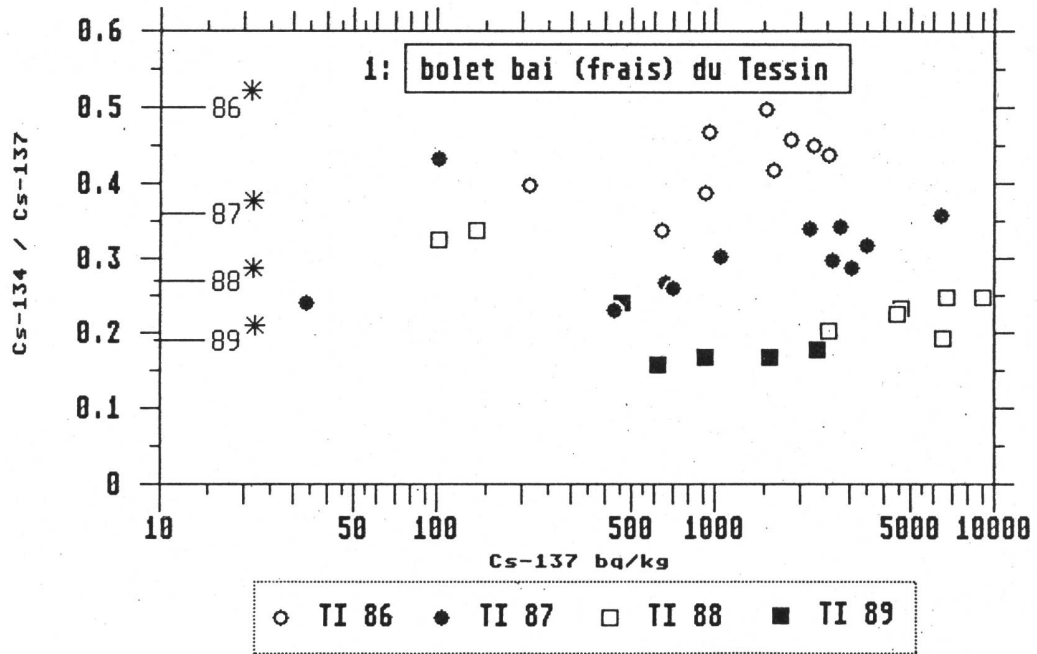


Fig.3.28.b: Rapport isotopique Cs-134/137 dans les bolets bails



* valeur escomptée pour le rapport Cs-134/137

Fig.3.29.a: Cs-137 dans la viande du Tessin 87/88

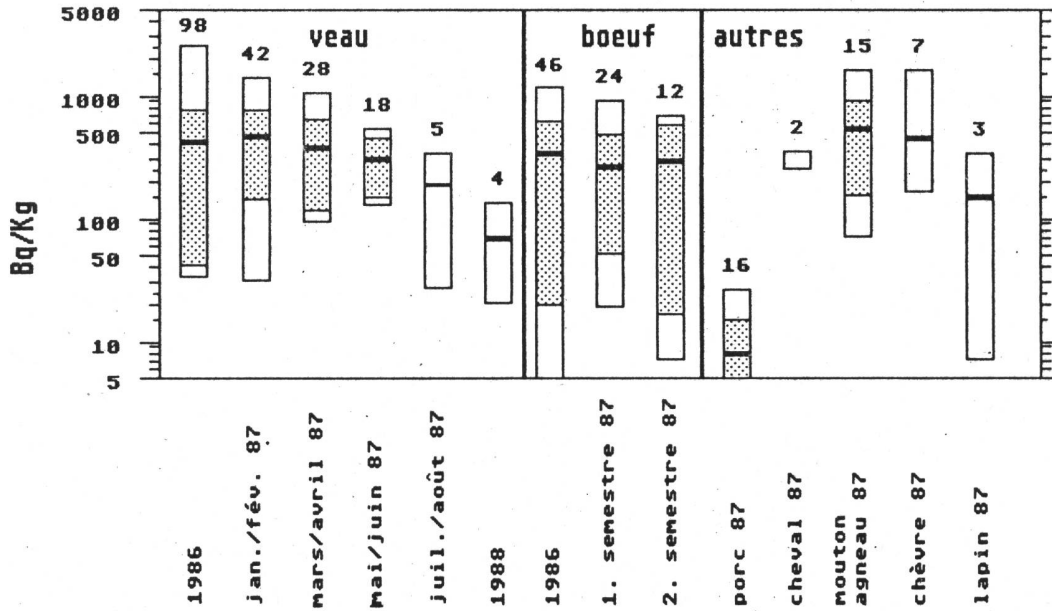


Fig.3.29.b: Cs-137 dans la viande de l'est de la Suisse 87/88

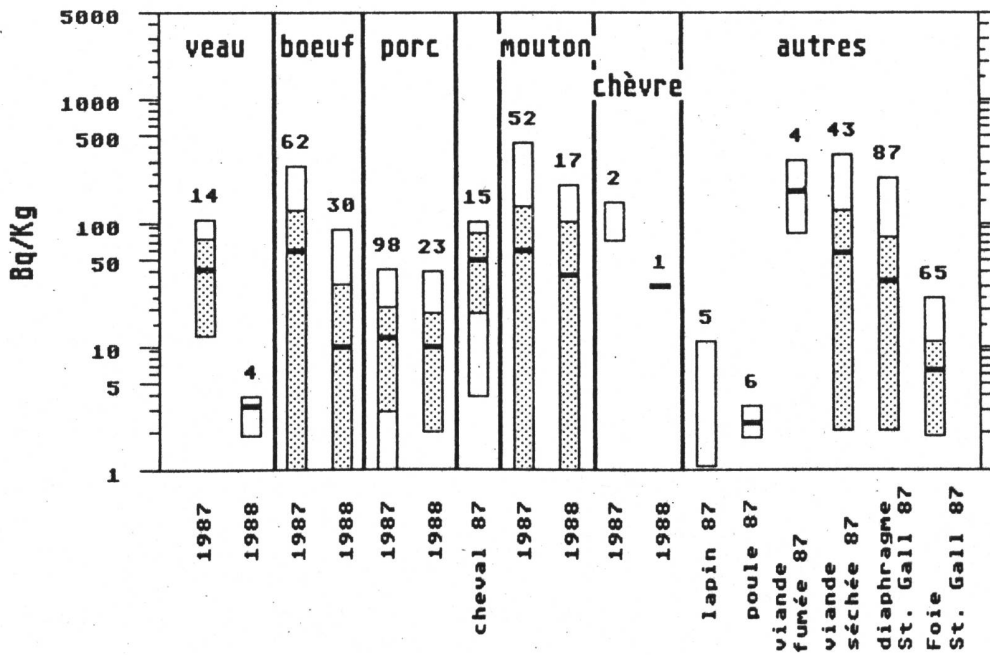


Fig.3.29.c: Cs-137 dans la viande des Grisons 87/88

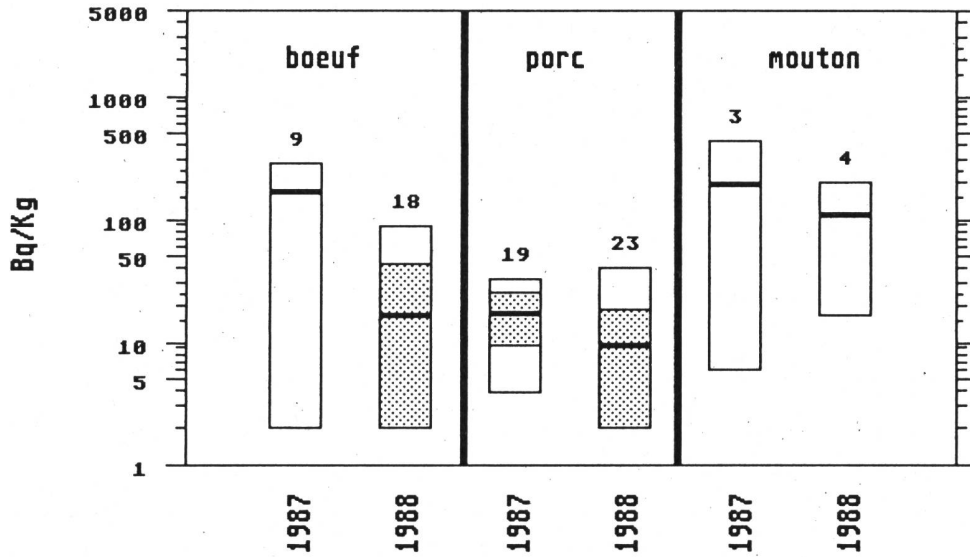


Fig.3.29.d: Cs-137 dans la viande du centre et du nord de la Suisse 1987/1988

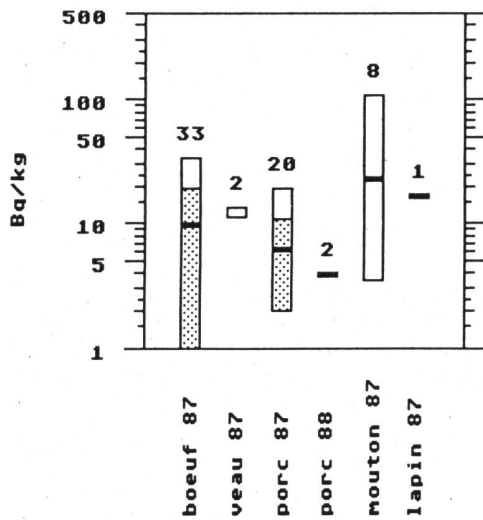


Fig.3.29.e: Cs-137 dans la viande de l'ouest de la Suisse 1987/1988

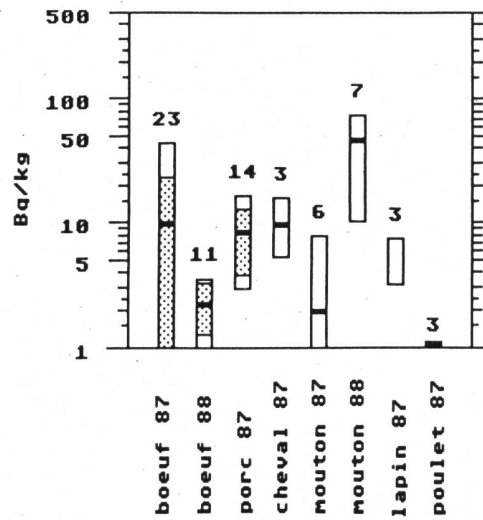


Fig.3.30.a: Cs-137 dans le gibier du Tessin 87/88

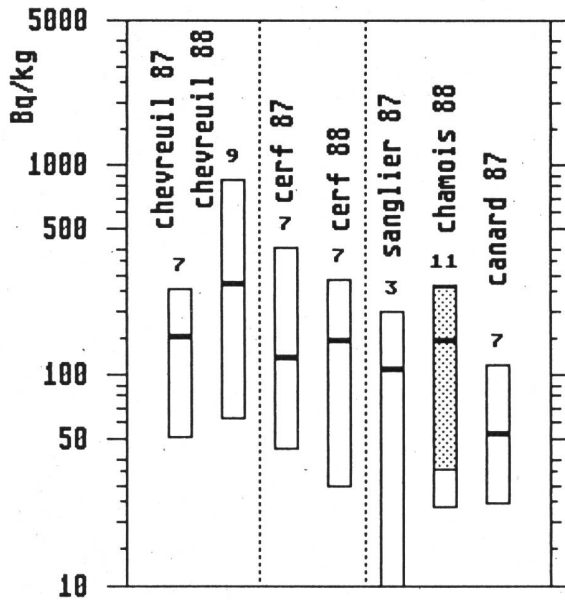


Fig.3.30.b: Cs-137 dans le gibier de l'est de la Suisse sans les Grisons 87/88

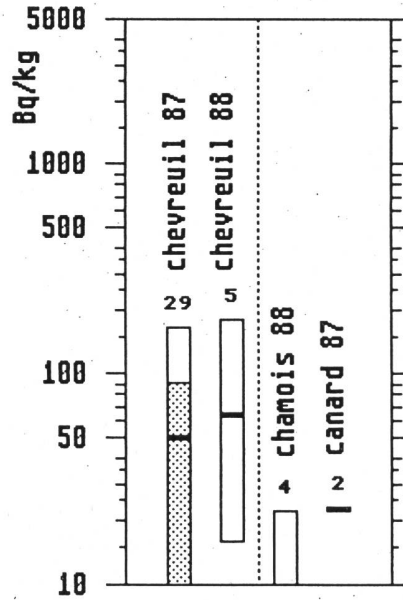


Fig.3.30.c: Cs-137 dans le gibier des Grisons 87/88

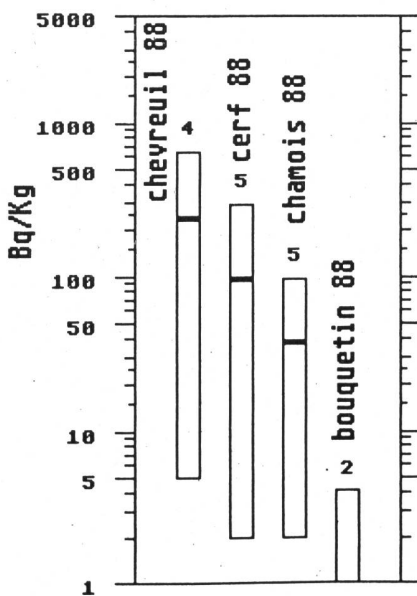


Fig.3.30.d: Cs-137 dans le gibier du reste de la Suisse (sans TI et l'est de la Suisse) 87/88

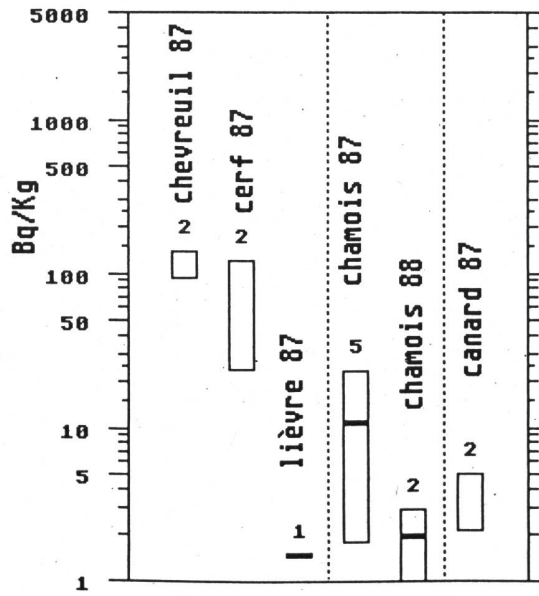


Fig.3.31.a: Tritium dans le Rhin

prélèvements mensuels ou hebdomadaires

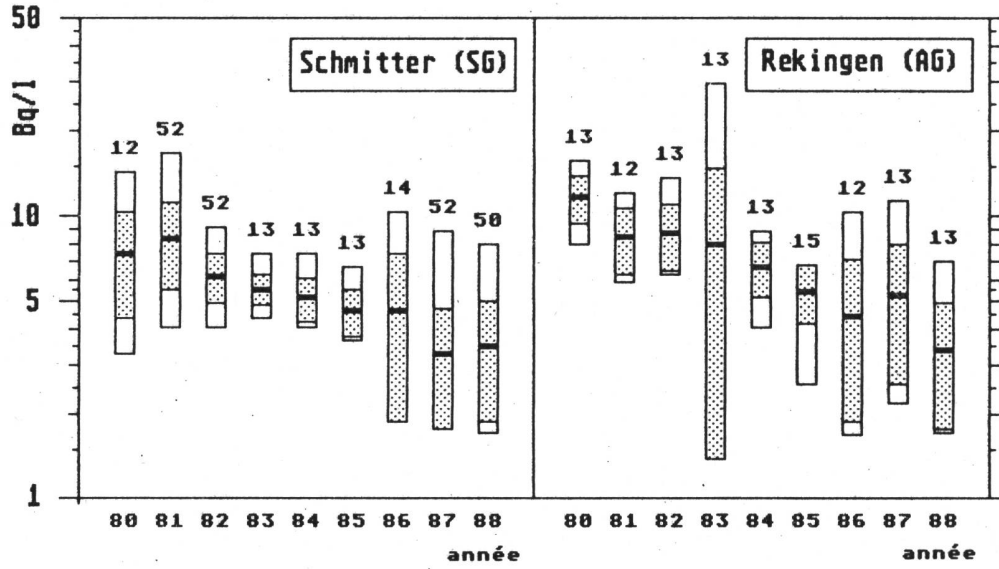


Fig.3.31.b: Tritium dans l'Air

prélèvements mensuels ou hebdomadaires

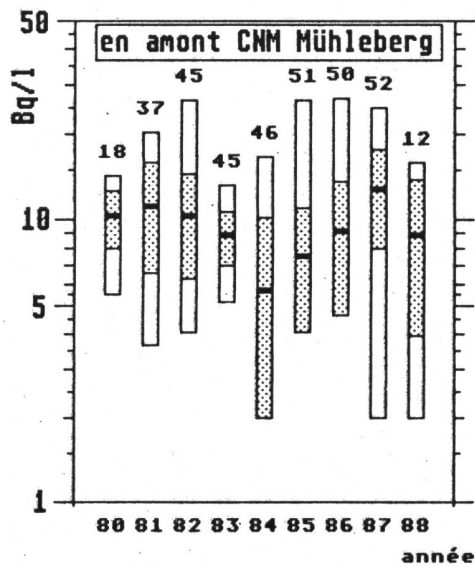


Fig.3.31.c: Tritium dans le Rhin

prélèvements mensuels

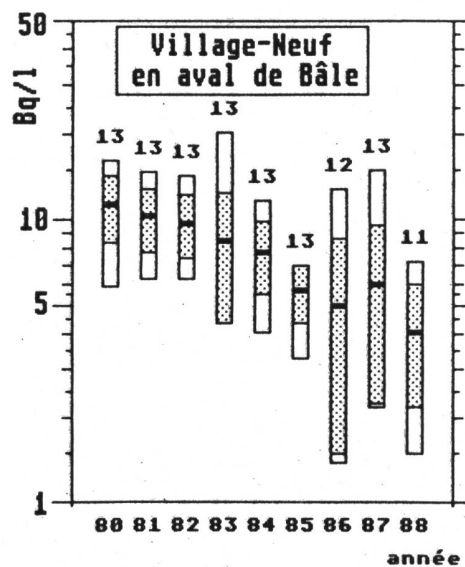


Fig.3.31.d: Tritium dans le Rhône
prélèvements mensuels

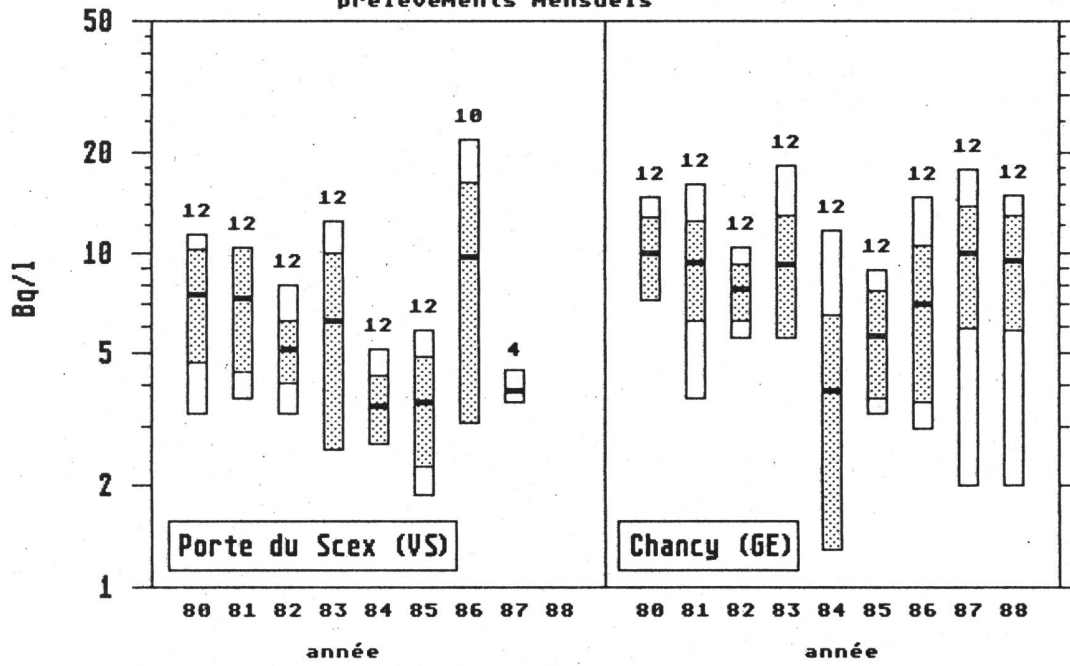
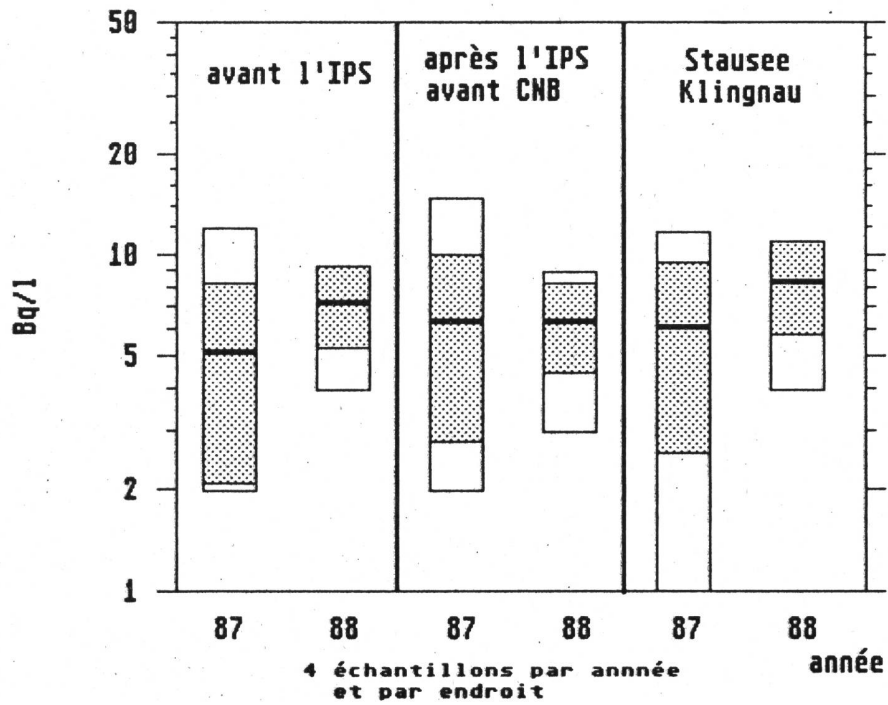


Fig.3.31.e: Tritium dans l'Aar



4 échantillons par année et par endroit

Fig.3.31.f: Activité α -totale dans le Rhin

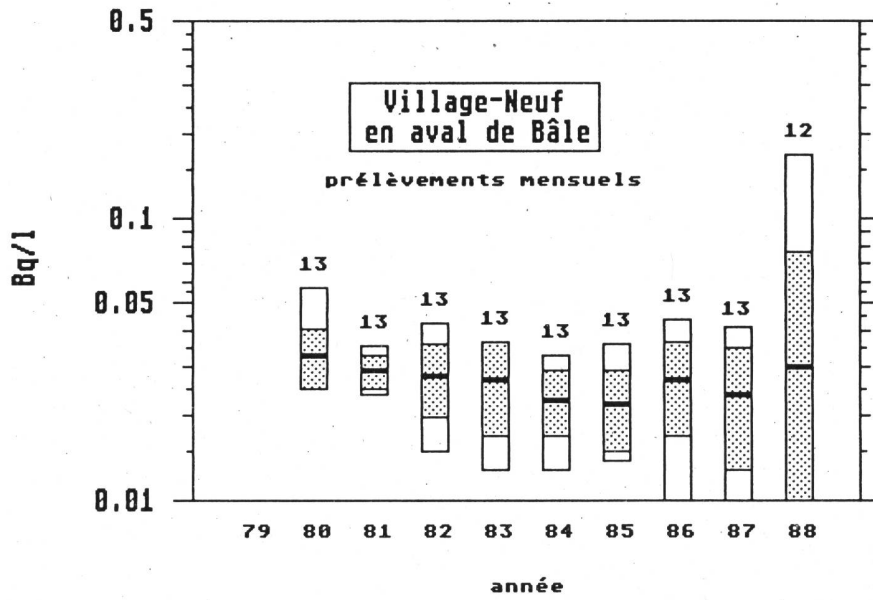


Fig.3.31.g: Activité α -totale dans le Rhin

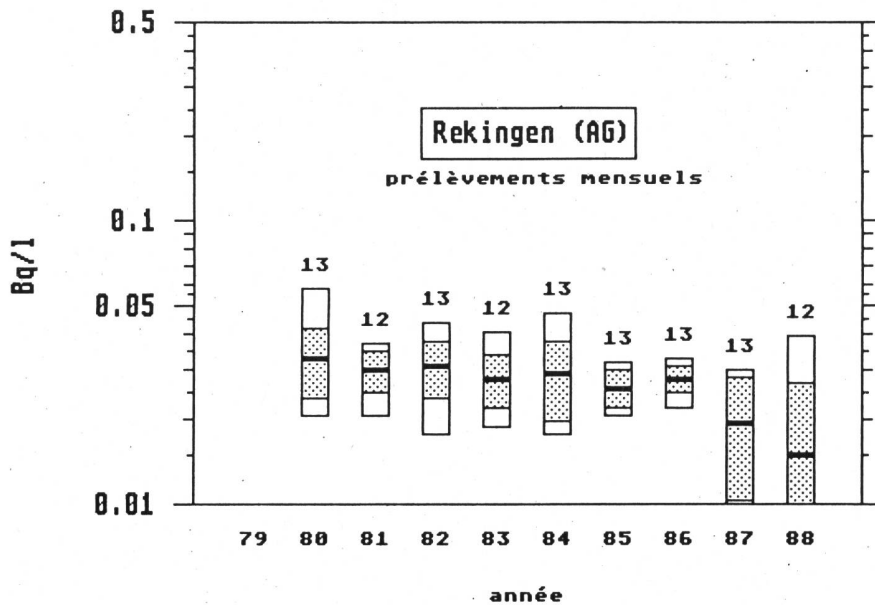


Fig.3.31.h: Activité alpha dans le Rhin
prélèvements mensuels

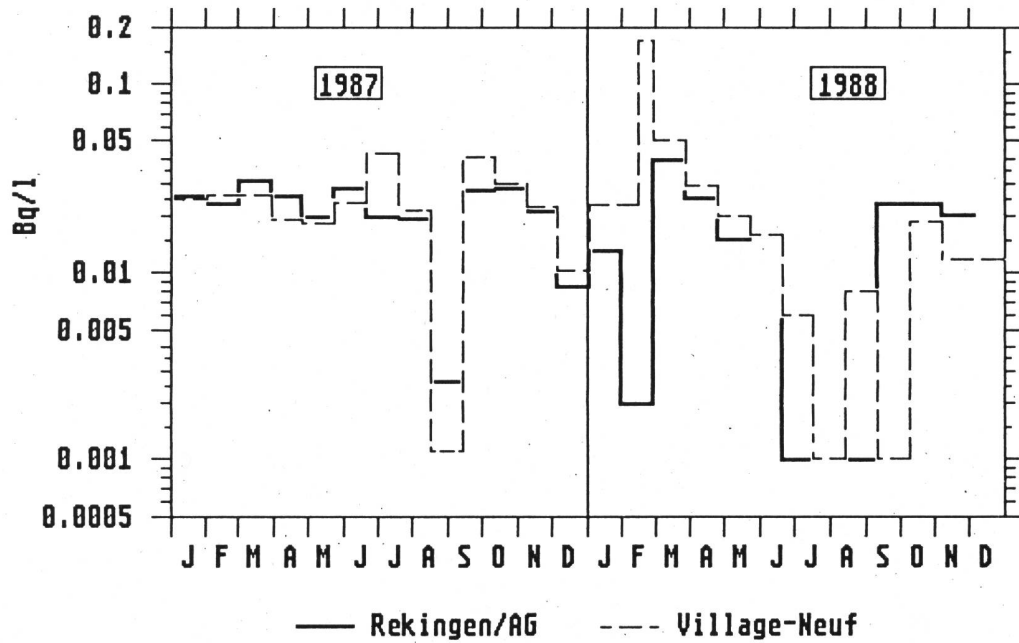


Fig. 3.32.a: Cs-137 dans l'eau du lac de Lugano (EAWAG)
(bassin sud)

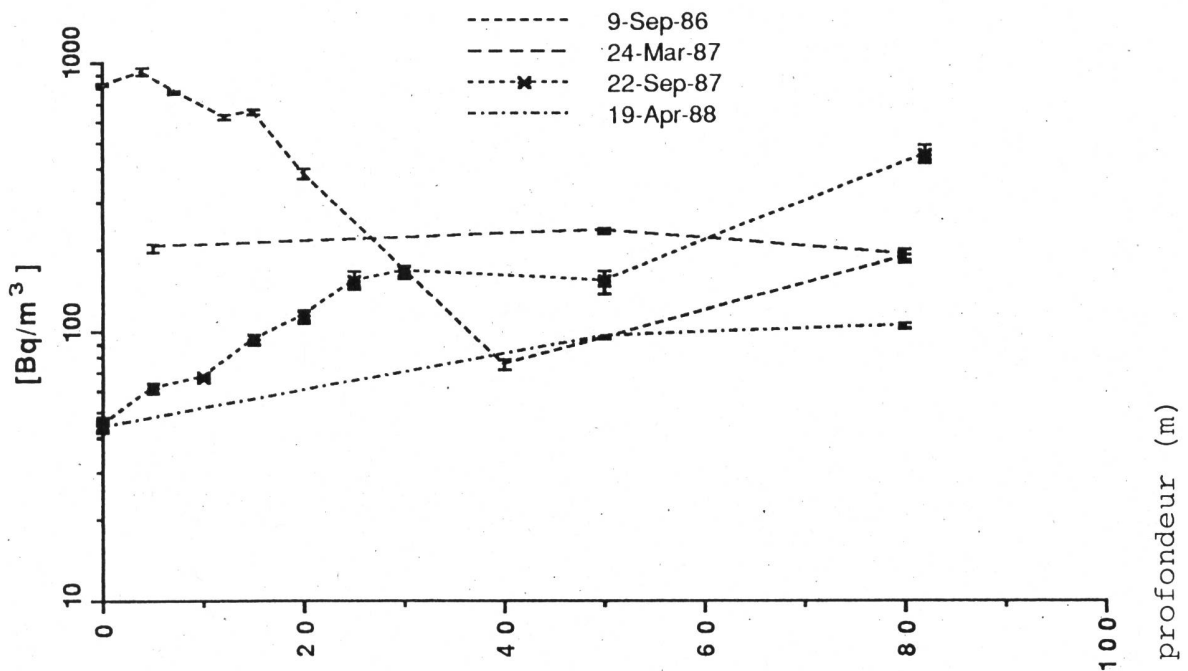


Fig. 3.32.b: Cs-137 dans l'eau du lac de Constance (EAWAG)

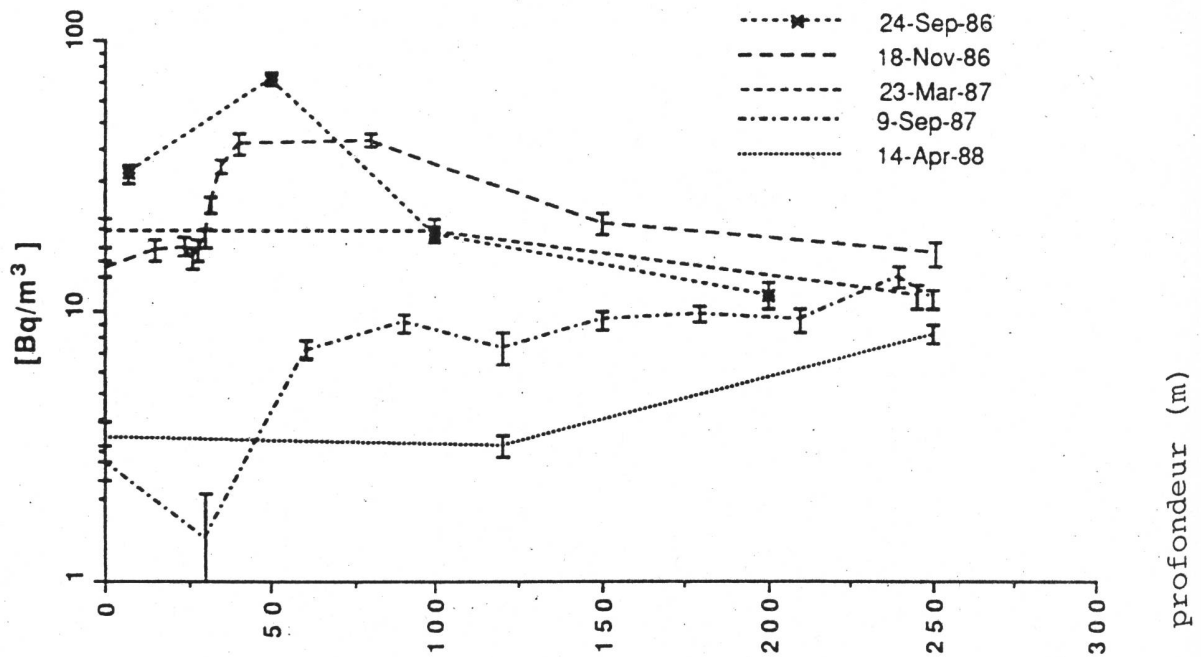


Fig. 3.32.c: Cs-137 dans l'eau du lac de Zurich (EAWAG)

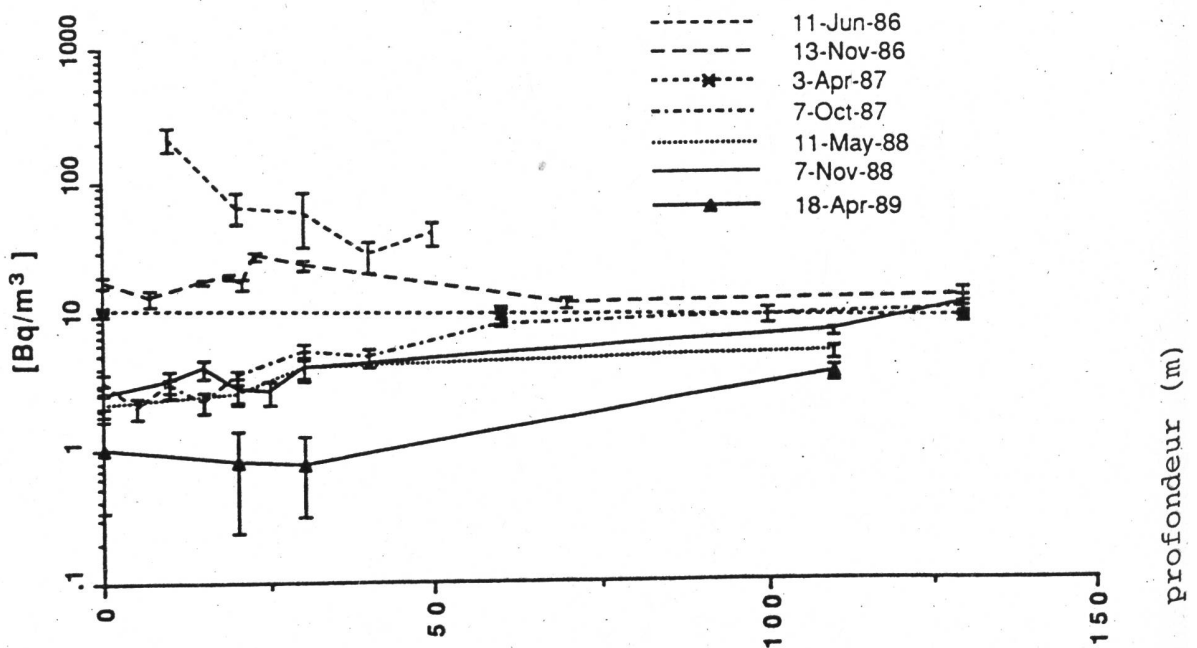


Fig.3.32.d: Dépôt de Cs-137 dans les lacs de Suisse

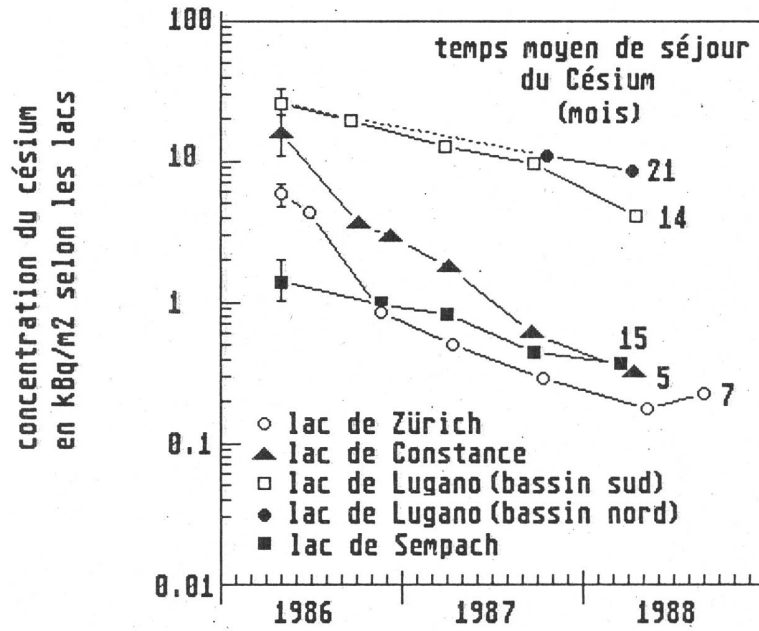
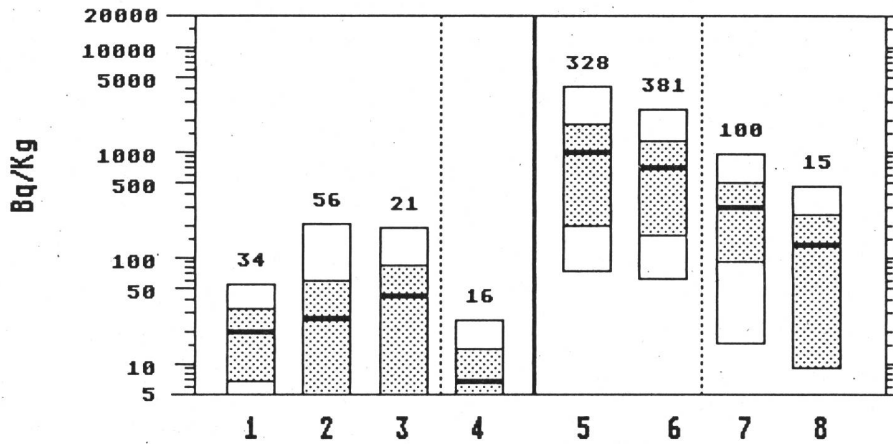


Fig.3.33.a: Cs-137 dans les poissons des lacs suisses en 87/88



- 1: lacs de l'ouest de la Suisse 1987
- 2: lacs du centre de la Suisse 1987
- 3: lac de Constance 1987
- 4: ensemble des lacs suisses (sans TI) 1988
- 5: lac Ceresio 1987
- 6: lac Ceresio 1988
- 7: lac Majeur 1987
- 8: lac Majeur 1988

Fig. 3.33.b: Cs-137 dans les poissons du lac de Ceresio/TI (brochet)

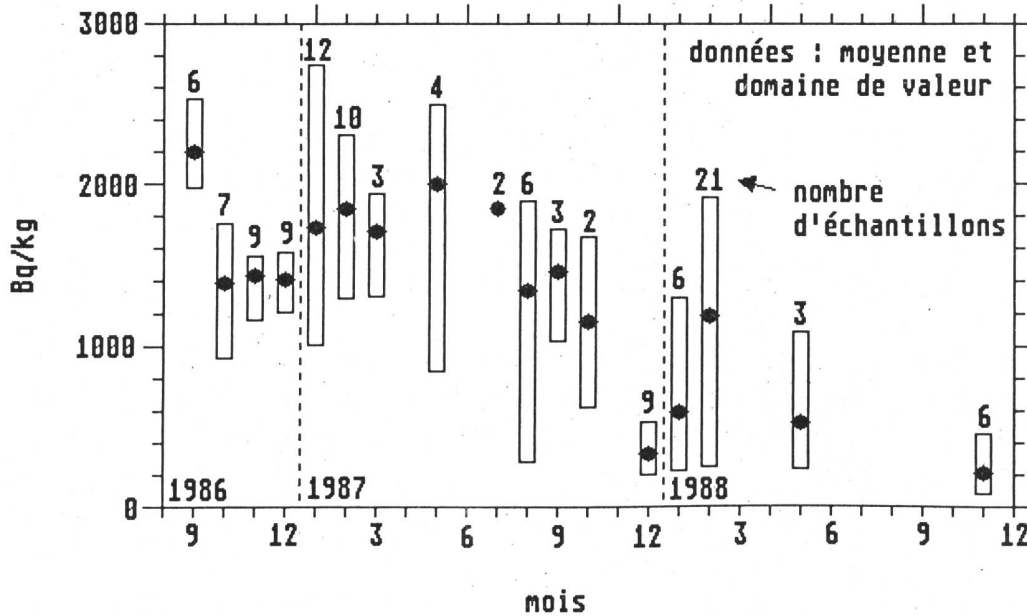


Fig.3.33.c: Cs-134 et Cs-137 dans les perches du lac de Lugano
kBq/kg (Cs-134 + Cs-137) domaine de valeurs et valeurs moyennes

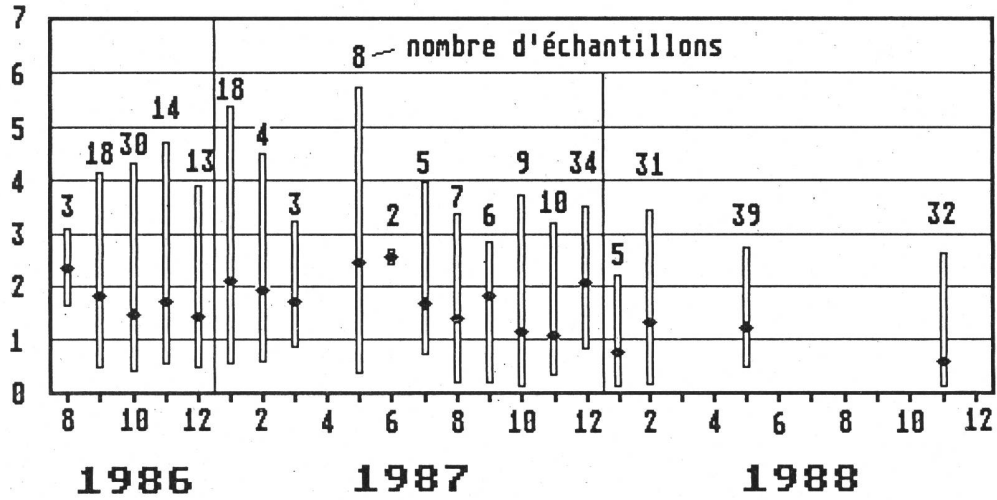


Fig. 3.33.d: Cs-134 et Cs-137 dans les poissons du lac de Lugano

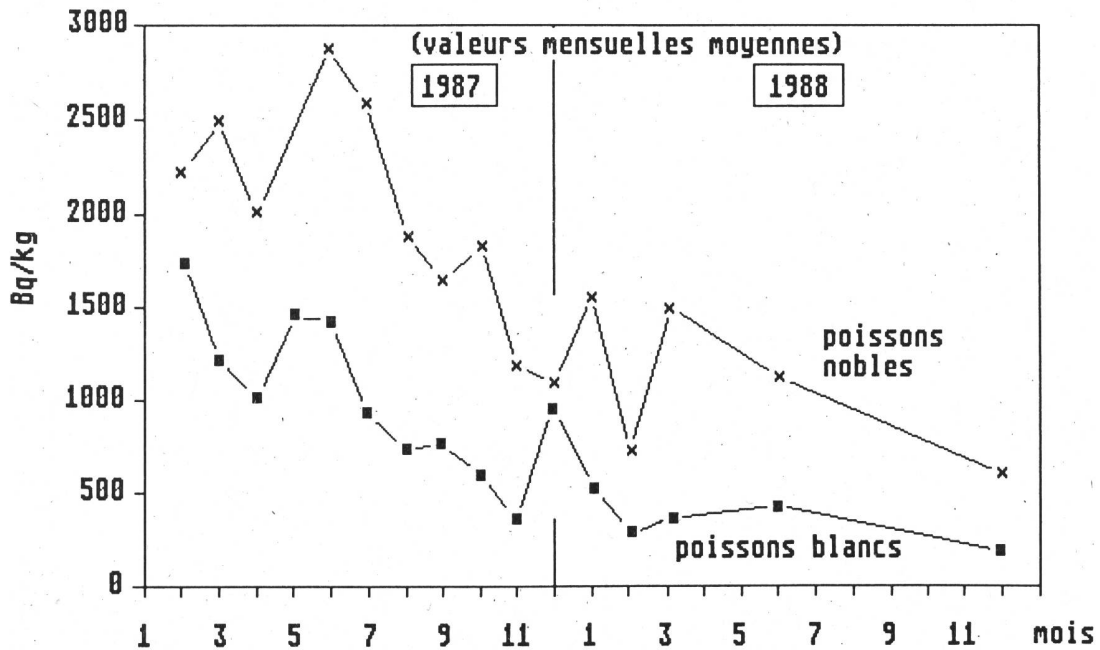


Fig.3.34.a: Cs-137 dans différents produits 1987/1988

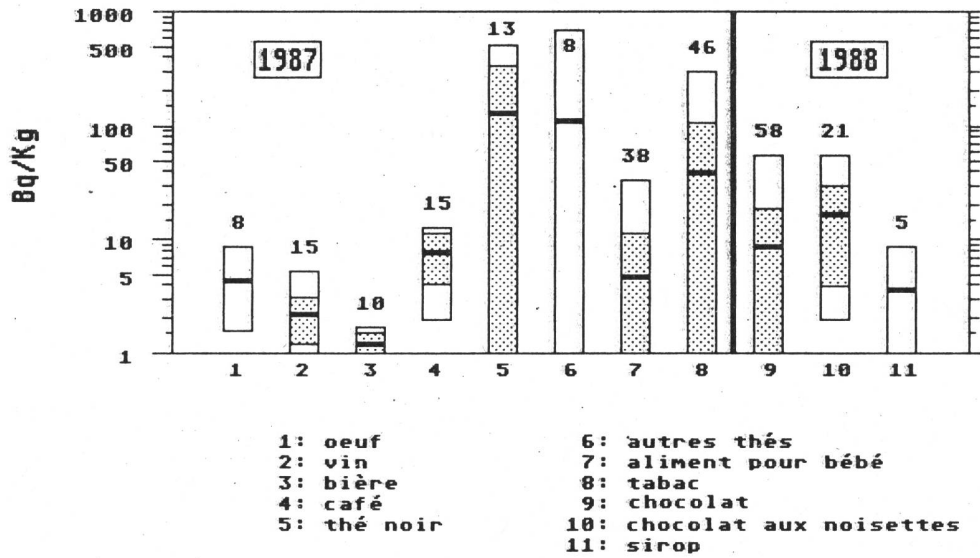


Fig.3.34.b: Cs-137 dans différents produits 1987

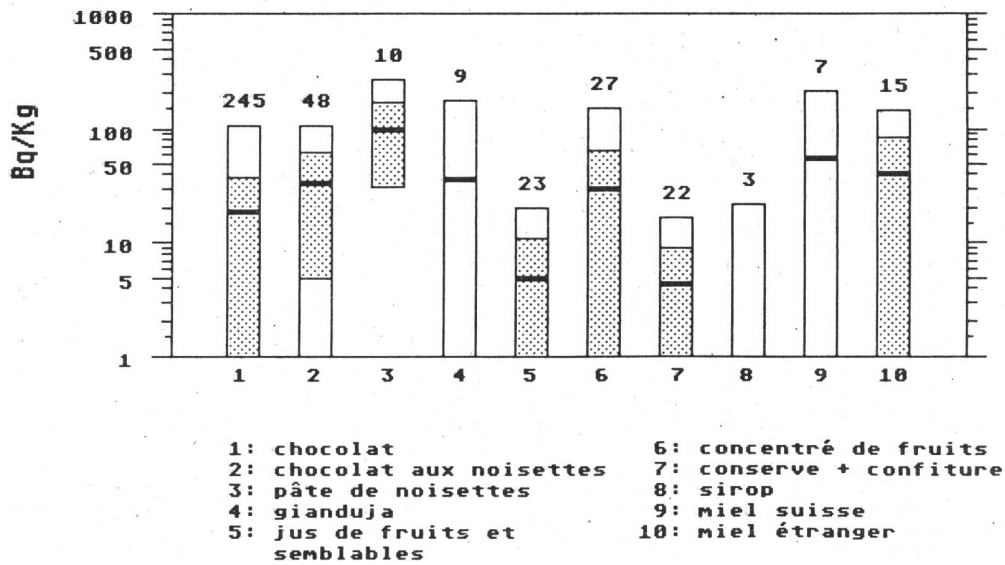


Fig.3.35: Cs-137 dans les boues d'épuration fraîches

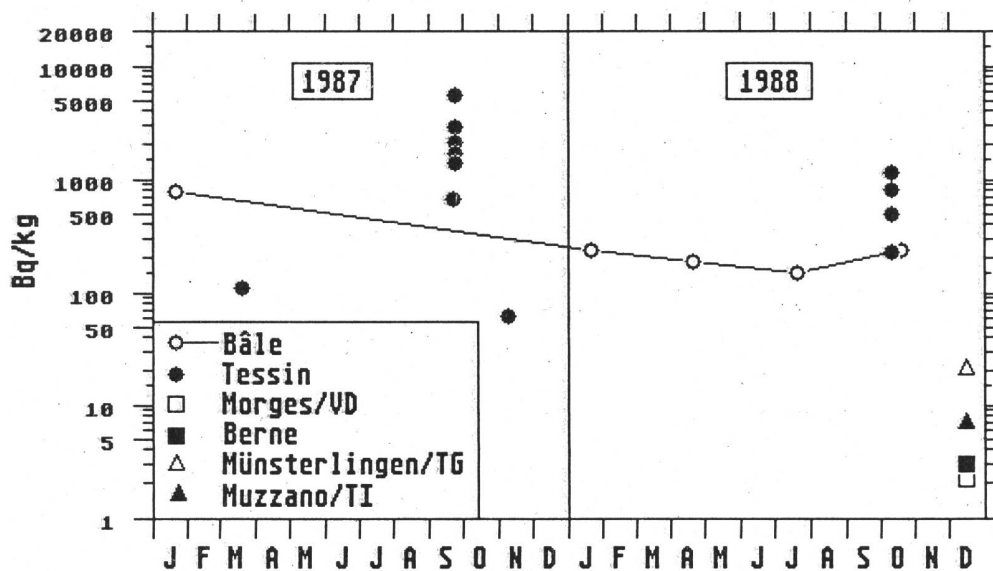


Fig.3.36.a: Cs-137 dans les viandes importées 1987/1988

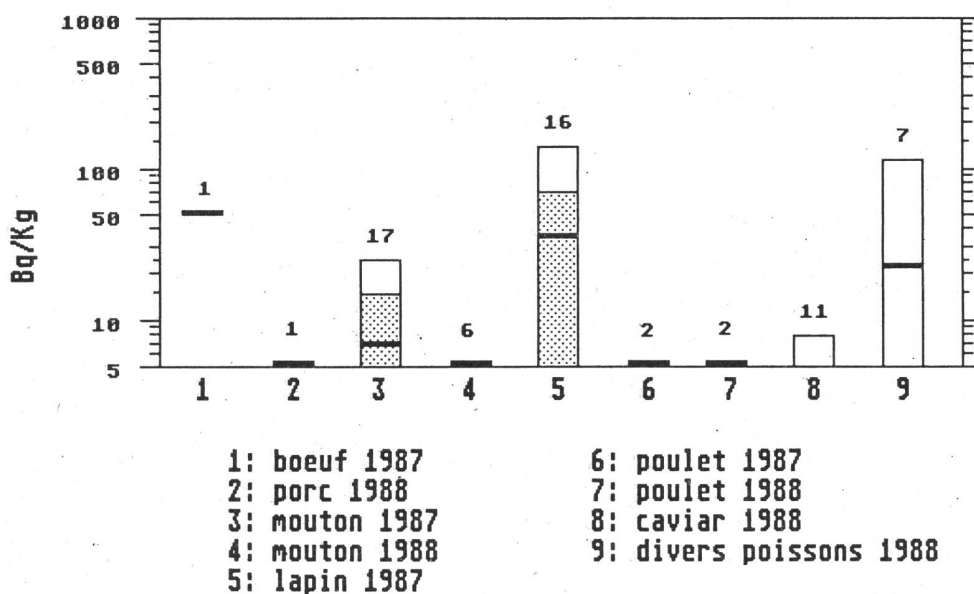


Fig.3.36.b: Cs-137 dans le gibier importé d'Autriche en 1987

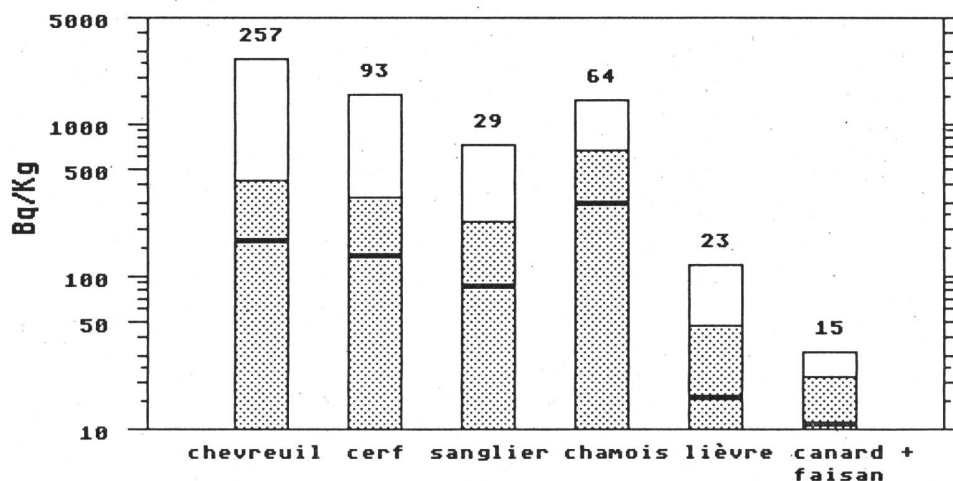


Fig.3.36.c: Cs-137 dans le gibier importé d'Autriche en 1988

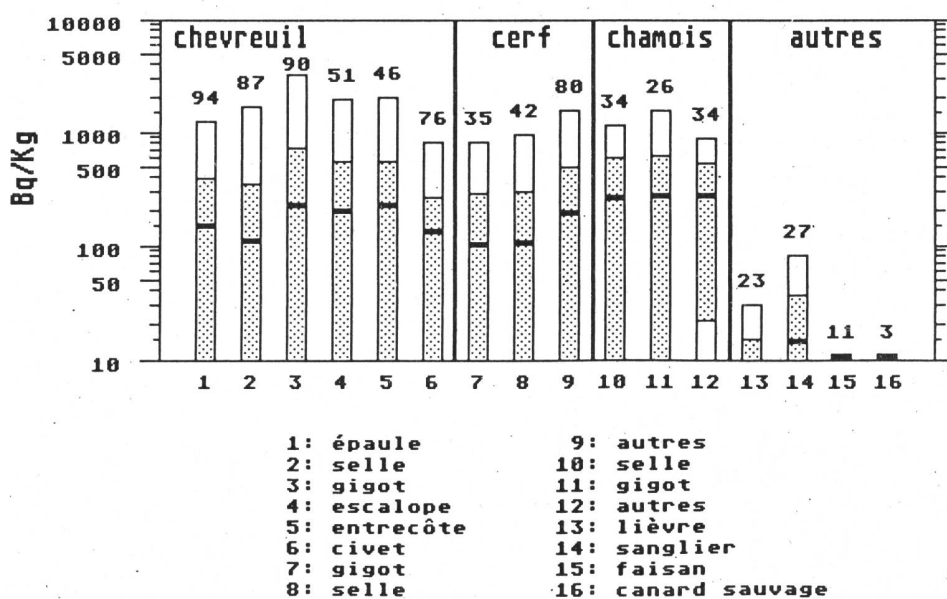


Fig.3.36.d: Cs-137 dans le gibier importé de l'étranger en 1987

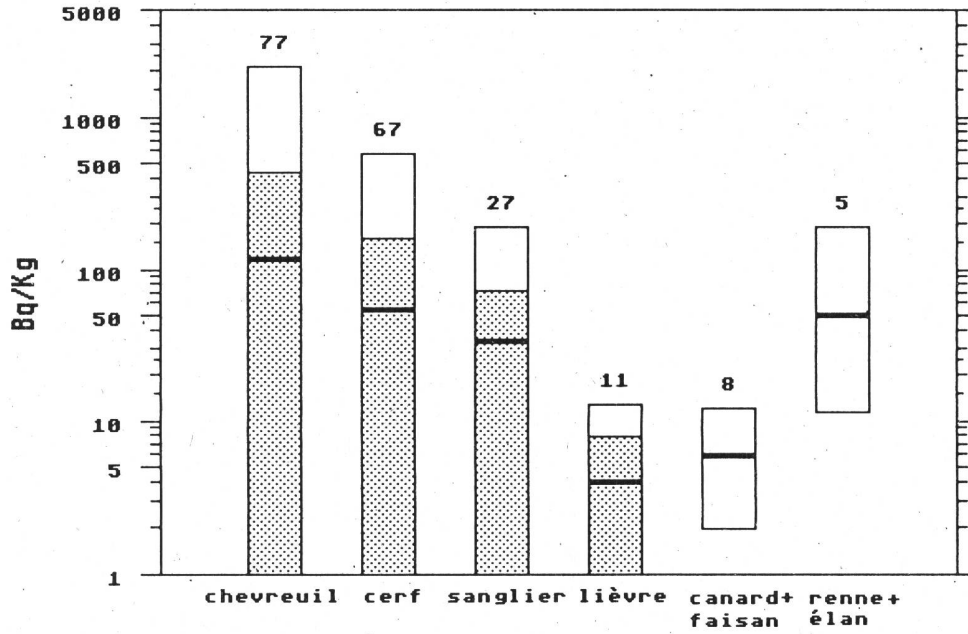


Fig.3.36.e: Cs-137 dans le gibier importé de l'étranger en 1988

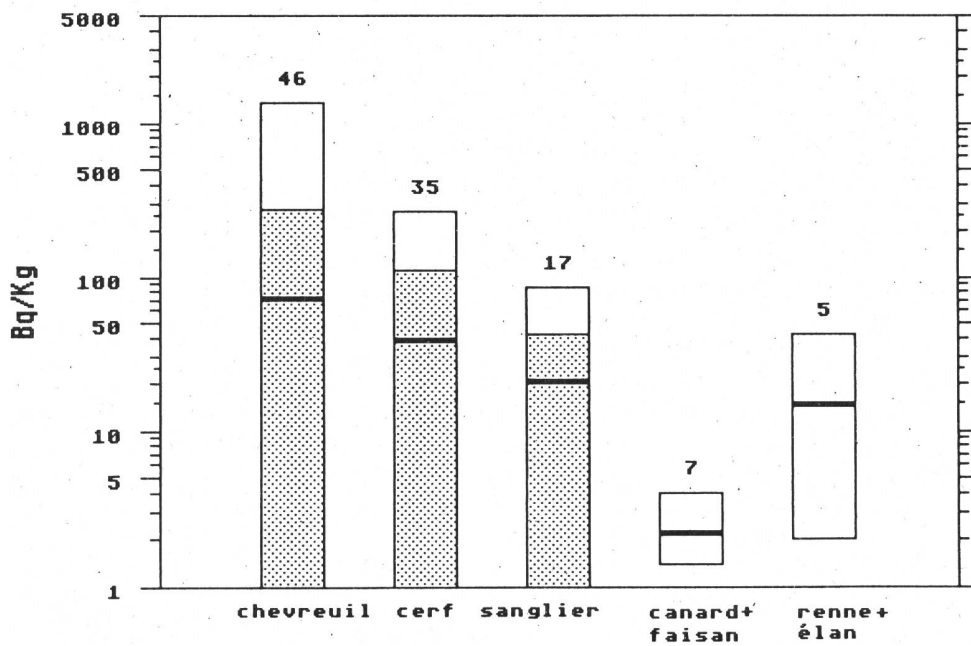


Fig.3.36.f: Cs-137 dans les légumes importés en 1987/1988

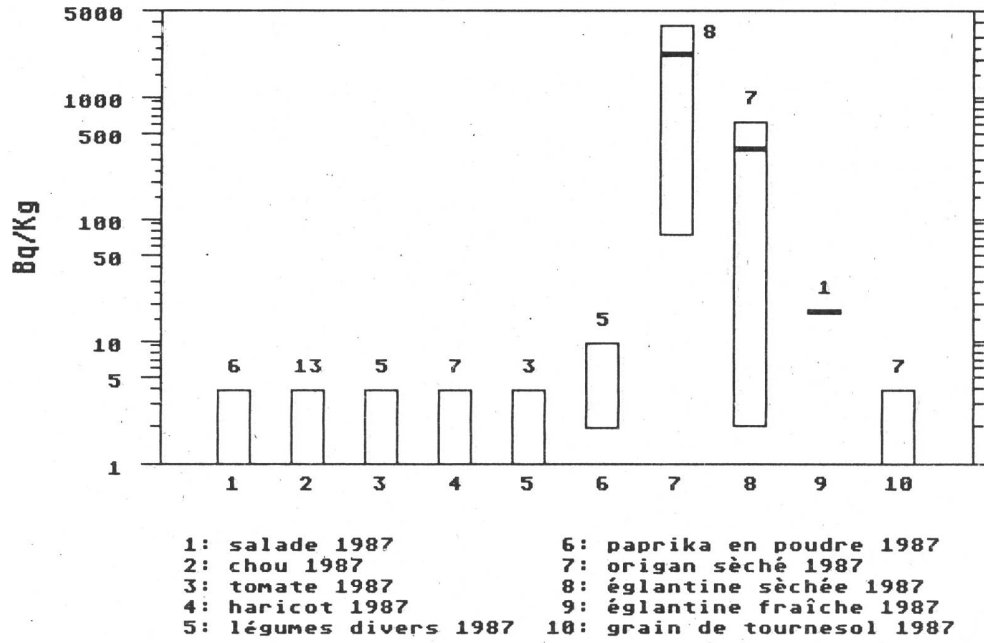


Fig.3.36.g: Cs-137 dans les fruits importés en 1987/1988

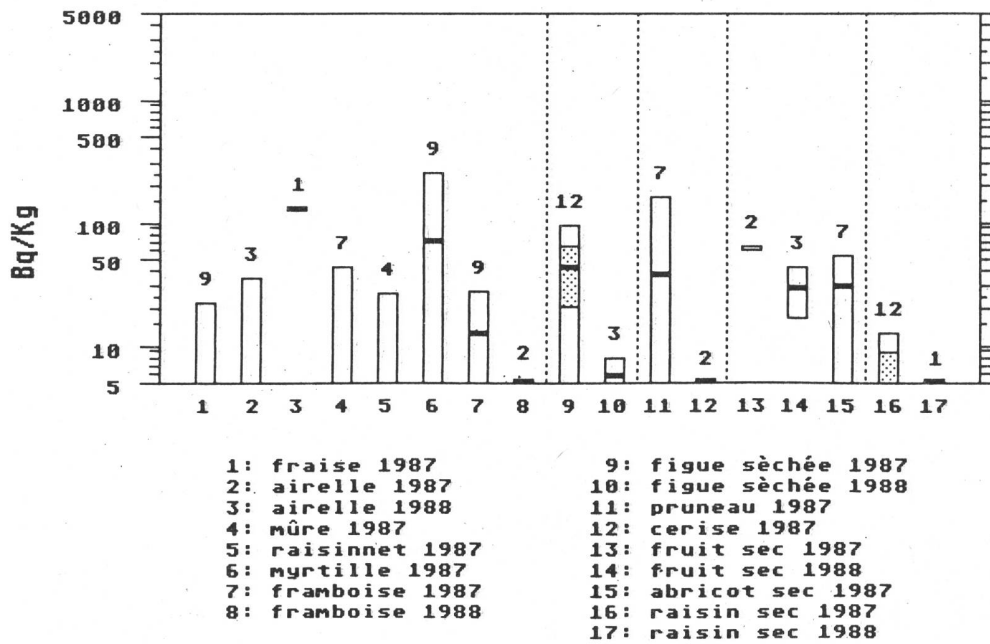


Fig.3.36.h: Cs-137 dans les noix importées en 1987/1988

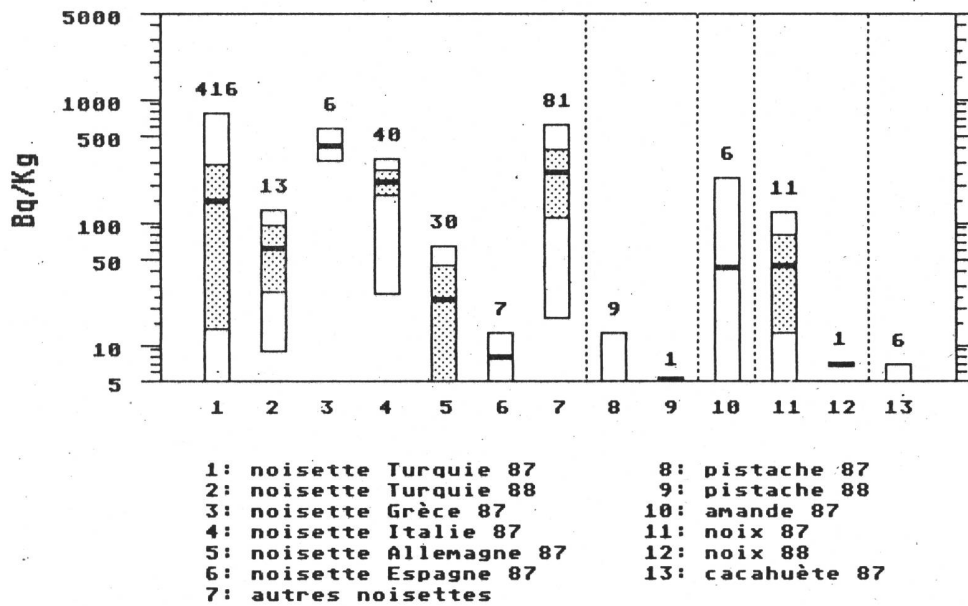


Fig.3.36.i: Cs-137 dans les champignons importés en 1987/1988

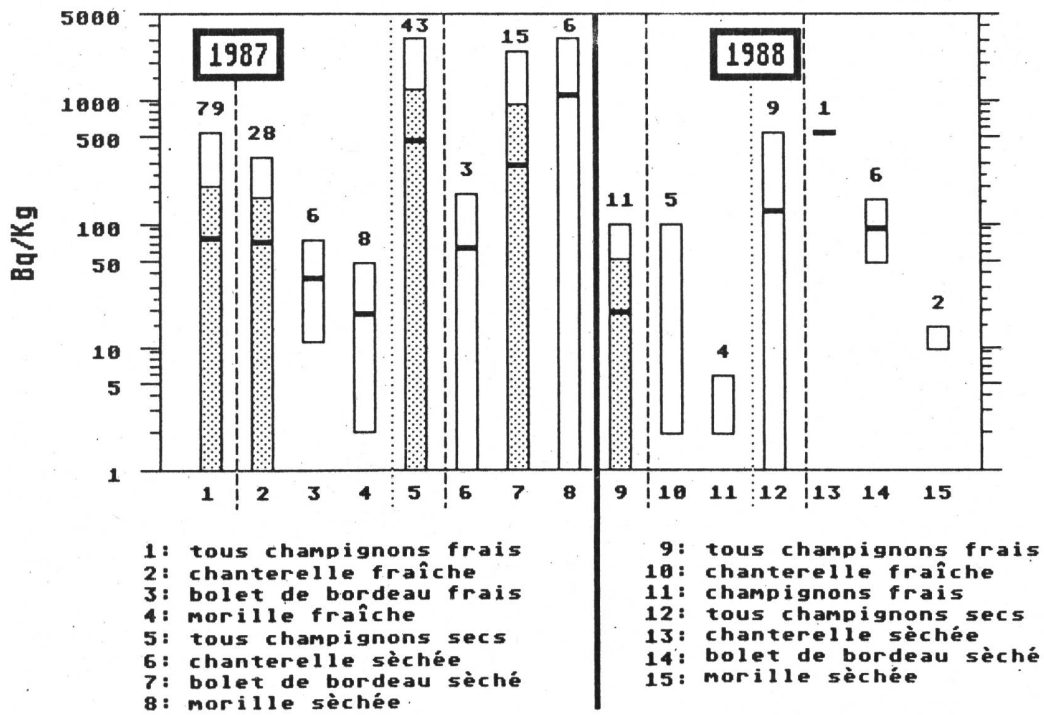
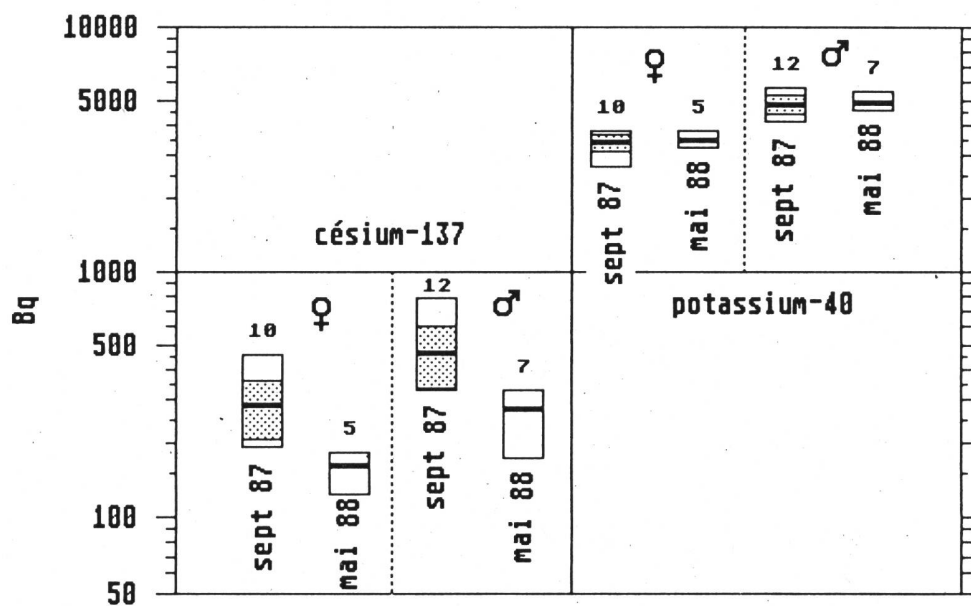
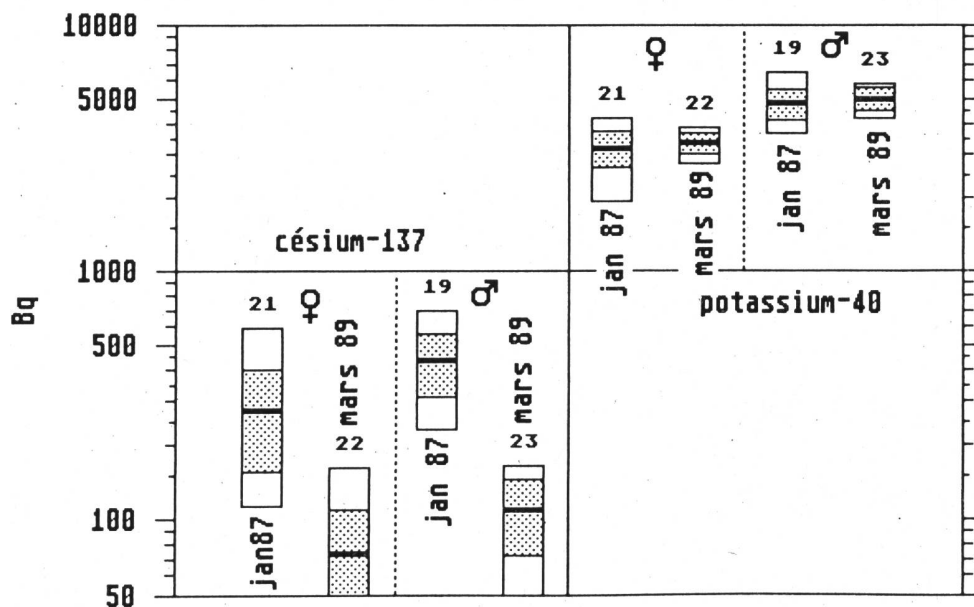


Fig.3.37.a: mesures au corps entier Genève



écolières et écoliers de Bâle (20 ans)

Fig.3.37.b: mesures au corps entier Genève



écolières et écoliers de Genève (17-20 ans)

Fig. 3.37.c:
mesures au corps entier 1986-88: Cs-134 + Cs-137

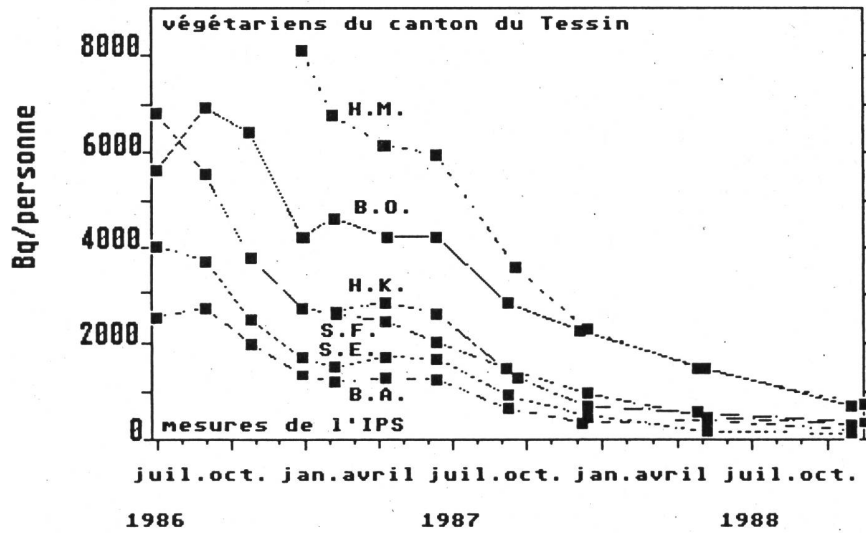


Fig. 3.37.d:
mesures au corps entier 1986-88: Cs-134 + Cs-137

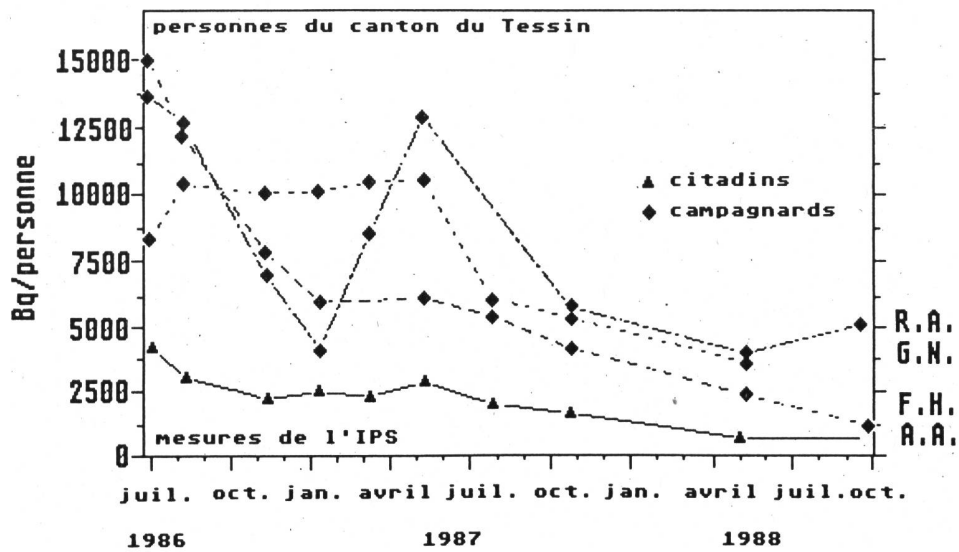


Fig. 3.37.e:
mesures au corps entier 1986/1989: Cs-134 + Cs-137

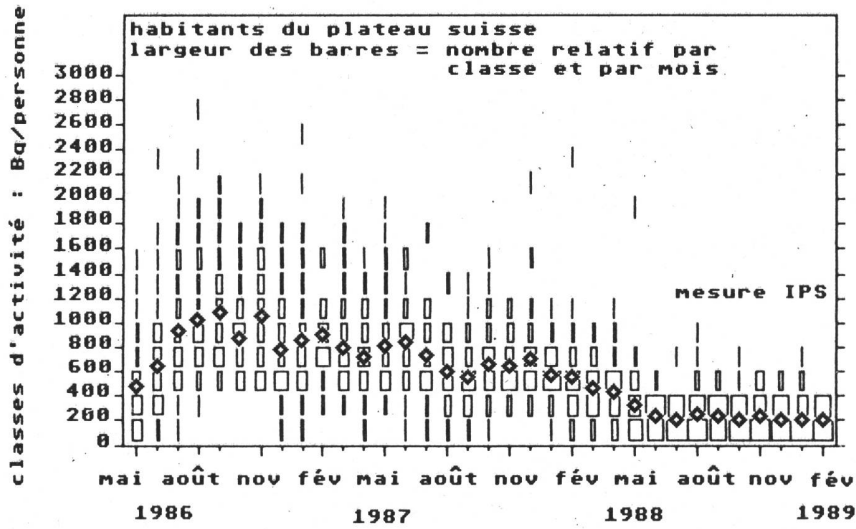


Fig. 3.37.f:
mesures au corps entier 1986/1989: Cs-134 + Cs-137

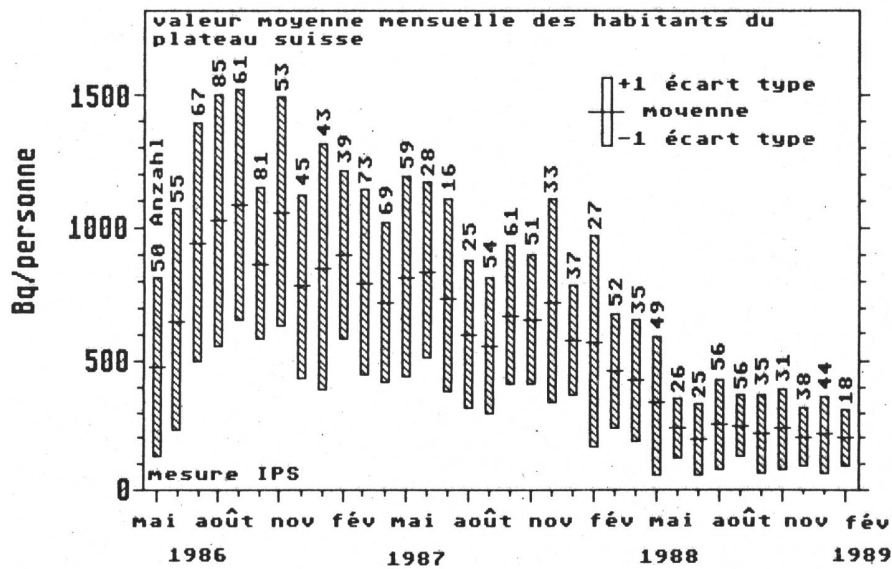


Fig. 3.37.g: mesures d'urine 1986/1989: Cs-134 + Cs-137

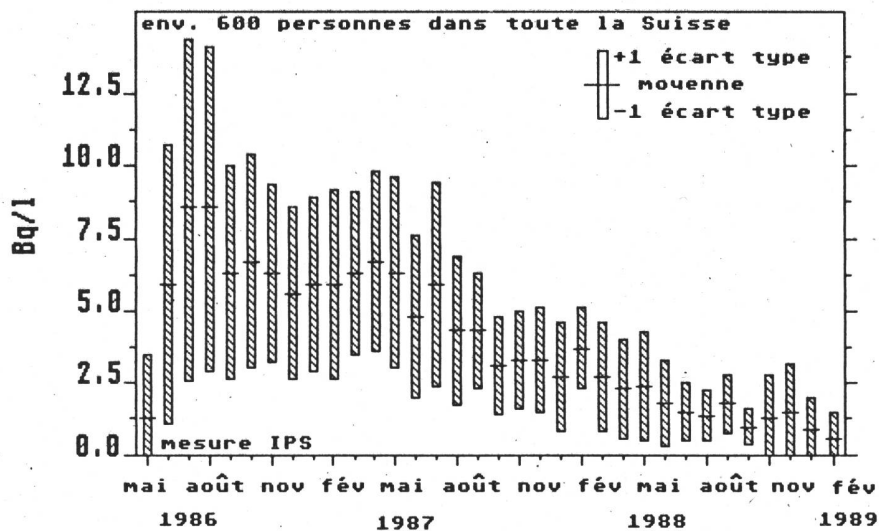
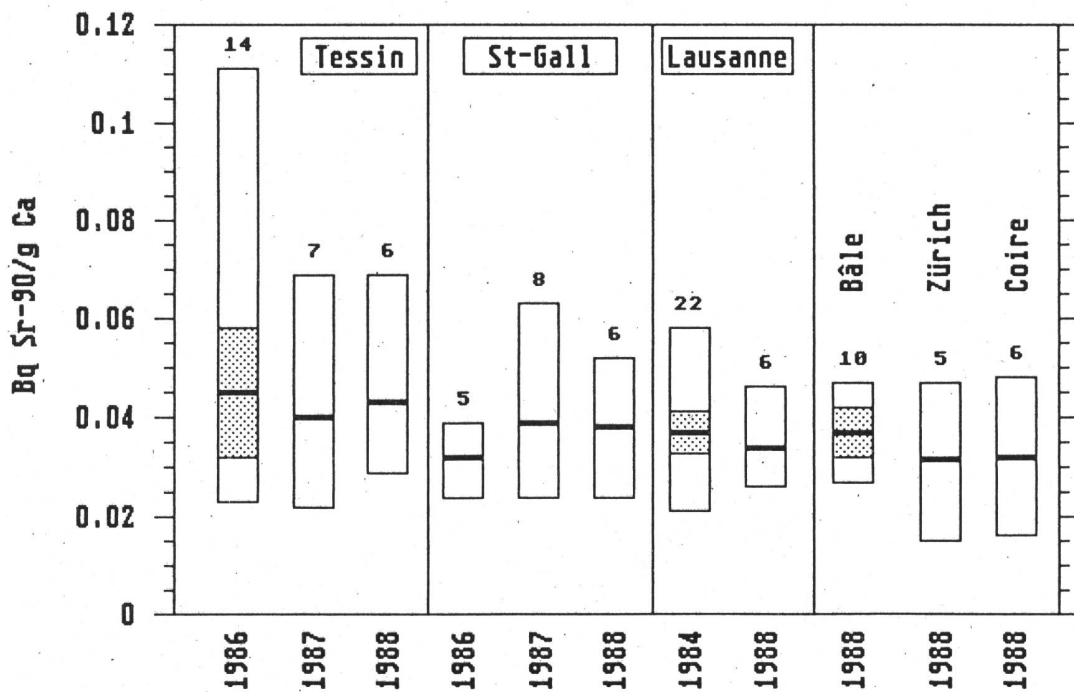


Fig.3.38: Sr-90 dans les vertèbres



Pour obtenir des valeurs correspondantes au squelette entier, les valeurs des vertèbres sont à multiplier avec un facteur 0.55.